

وزارة التعليم والبحث العلمي

MINISTÈRE DE L'ENSEIGNEMENT ET DE LA RECHERCHE SCIENTIFIQUE

1ED

ECOLE NATIONALE POLYTECHNIQUE
BIBLIOTHÈQUE

DEPARTEMENT GENIE CHIMIQUE

PROJET DE FIN D'ETUDES

S U J E T

Détermination des Propriétés
Physiques des Corps Purs et
des Fractions Pétrolières par
des Méthodes Numériques

Proposé par : Pr. SE Etudié par : Y.BERRAH Dirigé par : Pr. SE. CHITOUR
CHITOUR

PROMOTION : JUIN 1985

MINISTERE DE L'ENSEIGNEMENT SUPERIEUR
ECOLE NATIONALE POLYTECHNIQUE
DEPARTEMENT : Génie Chimique
Promoteur : Professeur S.E CHITOUR
Eleve ingénieur : BERRAH Yacine

وزارة التعليم العالي
المدرسة الوطنية المتعددة التقنيات
فرع : الكيمياء الصناعية
الموجه : الاستاذ شيت و
اللديمىز المهندر : براج ياسين

العنوان : اسهام في تحديد الخواص الفيزيائية للاجسام الاصافية والاجزاء البترولية بواسطة طرق الأعداد

المختصر : الموضوع :

لا يمكن دائمًا القياس تجريبياً بعض الخواص الفيزيائية أو الكيميائية لل أجسام الاصافية والاجزاء البترولية ، لهذا نعرض ، بفضل معاونة الكمبيوتر ، معادلات تسمح بتعيين مختلف الخواص عن معرفة واحدة منها ، كما نقترح معادلات عشوائية تعطينا تركيب بعض الاجزاء البترولية ما بين 40 و 200 درجة مئوية

Titre : Détermination des propriétés physiques des corps purs et des fractions pétrolières par des méthodes numériques.

Résumé : Il n'est pas toujours possible de mesurer expérimentalement certaines propriétés physiques ou chimiques de corps purs ou de fractions pétrolières ; c'est pourquoi nous proposons, grâce à l'appui d'un calculateur VAX 750, des équations permettant, connaissant l'une des propriétés, de retrouver les autres grandeurs. Nous proposons également des corrélations permettant de situer la composition de quelques fractions pétrolières dans un intervalle allant de 40 à environ 200°C.

Title : Determination of the physical properties of pure bodies and petroleum fraction by numerical methods.

Summary : Object : It is not always, possible to measure some physical or chemical properties of pure bodies and petroleum fractions, therefore we propose, with the help of a computer, equations permitting with the knowledge of one of the properties to find again the others. We even propose correlations to know the composition of some petroleum fractions between 40 and about 200°C

D_E_D_I_C_A_C_E_S..

A MON PERE ET A MA MERE
A MES FRERES ET A MES BEAUX FRERES
A MES SOEURS ET A MA BELLE SOEUR
A MON NEVEU ET A MES NIECES

JE DEDIE CE MODESTE TRAVAIL

R E M E R C I E M E N T

Je tiens à remercier le Professeur S.E. CHITOUR pour avoir proposé et suivi ce travail malgré ses nombreuses responsabilités et préoccupations.

J'adresse également mes remerciements les plus vifs à Monsieur BELABBES, pour l'amabilité avec laquelle il a bien voulu assurer la présidence du Jury , ainsi qu'à Madame MEFTI et Messieurs TYCZKOWSKI et HAFERSSAS d'avoir accepter de juger ce travail.

Enfin, que tous ceux qui m'ont aidé, trouvent ici l'expression de ma profonde gratitude.

S O M M A I R E

Introduction Générale

PARTIE THEORIQUE

I. - Corrélations sur le pétrole brut et les fractions pétrolières..	1
I - Introduction	
2 - Critères physiques de la nature chimique	
a) Le facteur de caractérisation Kuop	
b) Indice de corrélation	
c) Réfractivité intercept R_i et facteur de caractérisation	
II. Détermination des compositions des fractions pétrolières.....	2
1. Méthode n.d.PA	
2. Méthode Riazi-Daubert	
3. Analyse par chromatographie	
III. - Propriétés physico-chimiques des hydrocarbures purs et de leurs mélanges	4
Introduction	
1. Chaleur spécifiques	
2. Chaleur latente de vaporisation	
3. Viscosité	
4. Pouvoir calorifique	
5. Tension superficielle	
6. Point de congélation et point d'écoulement.	
PARTIE CALCUL	
IV . Détermination d'équations représentant la variation de l'enthalpie standard de vaporisation valable pour toute température.....	8
I - Hydrocarbures éthyléniques	
2 - Hydrocarbures isoparaffiniques	
3 - Hydrocarbures aromatiques.	
V - Détermination des propriétés physiques et chimiques des corps purs et des fractions pétrolières	22
A - Applications des équations obtenues par la méthode du polynome de Newton.....	23
d'interpolation	
I. Application aux corps purs	
2. Applications aux fractions pétrolières	
3. Conclusion.	

B. Equations permettant la détermination de quelques propriétés connaissant certains paramètres.....	27
1. - Equations des paraffines	
2. - Equations des naphtènes	
3. - Equations des aromatiques	
4. - Applications	
5. - Conclusion.	
C. Construction de Nomogrammes	31
VI . Corrélations sur les compositions des fractions légères du pétrole.....	32
1. - Introduction	
2. - Méthode de calcul	
3. - Corrélations	
<u>CONCLUSION GENERALE</u>	56
Annexe	
Bibliographie.	

INTRODUCTION GÉNÉRALE

Après une présentation de la partie théorique, nous tentons d'améliorer pour certains hydrocarbures de différentes familles (oléfiniques, iso-paraffiniques et aromatiques) l'équation de WATSON relative à la détermination des variations de l'enthalpie standard de vaporisation en fonction de la température.

Puis, nous proposons des équations des différentes propriétés physico-chimiques permettant de retrouver les valeurs expérimentales des propriétés à partir de la connaissance de l'une d'entre elles. Nous devons ensuite vérifier ces équations pour des corps purs, des mélanges de corps purs connus qualitativement et quantitativement, et des fractions pétrolières. Nous présentons également une construction de nomogrammes pour chaque famille (P.N.A.).

Enfin, vue l'importance de la connaissance de la composition des fractions pétrolières, nous proposons des corrélations valables entre 40 et environ 200°C.

Nous reprenons dans cette étude les mêmes hydrocarbures de références et leurs 9 propriétés auxquelles nous ajoutons 7 autres.

PARTIE THÉORIQUE.

I Corrélations sur le pétrole brut et les fractions pétrolières. [4]

I - Introduction.

L'étude d'un pétrole brut ou d'une fraction pétrolière diffère assez de l'étude d'un corps pur ou d'un mélange d'hydrocarbures de composition qualitative et quantitative connue.

La fraction pétrolière est un mélange complexe d'hydrocarbures contribuant de par sa nature et sa concentration à la grandeur physique globale.

Outre, certaines grandeurs physiques accessibles expérimentalement et d'autres pondérables, nous avons presque toujours recours à des abaques et à des corrélations empiriques souvent bien discutables mais permettant tout de même de se faire une idée sur le comportement de la fraction pétrolière.

2. Critères physiques de la nature chimique.

Il existe de nombreux critères physiques d'identification de la nature chimique d'une fraction pétrolière.

Parmi ces critères nous citons :

a) le facteur de caractérisation K uop

$$K_{uop} = \sqrt[3]{T \text{ (}^{\circ}\text{R)}} \\ \text{Sp.Gr. (}60^{\circ}\text{F}/60^{\circ}\text{F)}$$

T : Température d'ébullition en °Rankine

Sp.Gr : Specific gravity.

b) Indice de corrélation.

$$C.I = \frac{48640}{T \text{ (}^{\circ}\text{K)}} + 473,7 \text{ Sp.Gr } \frac{60^{\circ}\text{F}}{60^{\circ}\text{F}} - 456,8$$

T : Température d'ébullition en ° K.

CI = 0 pour les hydrocarbures paraffiniques

CI = 100 pour les hydrocarbures aromatiques.

c) Réfractivité intercept Ri et facteur de caractérisation I

On définit Ri et I par :

$$R_i = n - \frac{d}{2}$$

n : indice de réfraction

d : densité.

$$I = \frac{n^2 - 1}{n^2 + 2}$$

L'avantage de ces deux relations est qu'elles ne font intervenir que des propriétés facilement accessibles expérimentalement.

D'autre part, Ri sépare bien les paraffines, les naphtènes et aromatiques. Et, en combinaison avec d'autres relations, il nous permet d'avoir les compositions de nos fractions pétrolières.

II. Détermination des compositions des fractions pétrolières. [6]

Comme il n'est pas possible de connaître individuellement les constituants d'une fraction pétrolière, on se contente de connaître la composition globale en chacune des familles d'hydrocarbures.

I) Méthode n.d.PA

Elle est basée sur la mesure de l'indice de réfraction n, de la densité d, et du point d'aniline PA (n et d étant mesurés à 20 °C)

.../...

$$\% \text{ Ca} = 1039,4 \quad n = 470,4 \quad d = 0,315 \text{ PA} = 1094,3$$

$$\% \text{ Cm} = - 1573,3 \quad n + 840,15 \quad d = 0,4619 \text{ PA} + 1662,2$$

$$\% \text{ Cp} = 100 - (\% \text{ Ca} + \% \text{ Cm}).$$

2) Méthode Riazi - Daubert.

Cette méthode, applicable aux fractions légères fait intervenir un nouveau facteur de caractérisation VGF (Viscosity Gravity fonction) défini par :

$$VGF = -1,816 + 3,484 \text{ s} - 0,1156 \ln \gamma_{100}$$

où : S est la specific gravity à 60/60 °F.

et γ_{100} la viscosité cinétique à 100 °F en cst.

la composition des fractions pétrolières est alors déterminée à partir des équations :

$$Xp = - 23,94 + 24,21 \text{ Ri} - 1,092 \text{ VGF}$$

$$Xn = 41,14 - 39,43 \text{ Ri} + 0,627 \text{ VGF}$$

$$Xa = - 16,20 + 15,22 \text{ Ri} + 0,465 \text{ VGF}$$

3) Analyse par chromatographie.

L'Utilisation de la technique de chromatographie permet dans certaines conditions, d'approcher à la composition d'une fraction pétrolière.

- Principe de la chromatographie.

Le mélange gazeux (gaz ou liquide vaporisé) est introduit dans un courant de gaz porteur (CO₂ - H₂ - He ...) qui l'amène dans une colonne remplie d'une phase stationnaire (solide ou liquide déposé à la surface d'un solide). Les constituants du mélange y sont adsorbés avec une affinité qui leur est propre et le gaz porteur les entraîne le long de la colonne d'autant plus rapidement que leur affinité pour la phase stationnaire est plus faible.

Il en résulte une séparation des constituants du mélange qui se présentent les uns à la suite des autres à la sortie de la colonne où il ne reste plus qu'à les différencier du gaz porteur et à mesurer leur concentration, par exemple par conductibilité thermique (catharomètre).

Les concentrations en poids sont proportionnelles à l'aire sous-tendue par les pics et calculées au moyen d'un intégrateur.

Parmi les techniques d'analyse les plus récentes et les plus utilisées : la chromatographie en phase gazeuse (C.P.G.)

Il existe d'autres techniques d'analyse des produits pétroliers :

- La spectrométrie de masse (S.M.)
- La spectrométrie Infra-Rouge.
- La Résonnance magnétique nucléaire.
- Le jumelage S.M. - C.P.G

Remarque :

La méthode n.d.M donne également la composition des fractions pétrolières, mais elle n'est utilisée que si le poids moléculaire est supérieur à 200, pourcentage de carbones aromatiques C_a inférieur à 1,5 C_n et le pourcentage de carbones paraffiniques C_p supérieur à 25 %.

III. PROPRIETES PHYSICO-CHIMIQUES DES HYDROCARBURES PURS ET DE LEURS MELANGES. [6]

Introduction :

La matière première traitée par l'ingénieur se présente sous trois formes :

- Hydrocarbures purs : les principales propriétés physico-chimiques sont données dans des tableaux, tels que ceux figurant en annexe.
- Fractions pétrolières : la complexité de leur composition n'en permet pas l'analyse. Seules seront connues, en général, la densité et la courbe de distillation ASTM qui permettent, par l'intermédiaire du facteur de caractérisation de se faire une idée de la structure moléculaire moyenne. Dans ce domaine, la règle générale consiste à trouver une équivalence entre la fraction complexe et un hydrocarbure fictif qui aurait les mêmes caractéristiques physico-chimiques que la fraction.
- Mélanges d'hydrocarbures purs ou de fractions pétrolières : la plupart des produits pétroliers sont des mélanges, relativement simples dans le cas des gaz, mais très complexe quand il s'agit de fractions liquides.

Il est donc nécessaire de connaître les lois d'additivité des diverses propriétés en mélange. Si certaines caractéristiques telles que densité, poids moléculaire, pouvoir calorifique et enthalpie se pondèrent selon une formule mathématique très simple, correspondant généralement à une loi thermodynamique, d'autres, au contraire, telles que viscosité, indice d'octane, point de congélation, tension de vapeur Reid, font appel à des corrélations empiriques, résultats de tests nombreux.

I. Chaleur spécifique.

C'est la quantité de chaleur qu'il faut fournir à l'unité de poids pour augmenter sa température d'un degré.

L'unité de chaleur spécifique est :

$$K \text{ cal/Kg } ^\circ\text{C} = th/t \text{ } ^\circ\text{C} = \text{Btu/lb. } ^\circ\text{F}$$

On définit les chaleurs spécifiques à volume constant et pression constante par :

$$c_v = \left(\frac{\delta U}{\delta T} \right)_v ; \quad c_p = \left(\frac{\delta H}{\delta T} \right)_p$$

où U et H sont respectivement l'énergie interne et l'enthalpie du système. On peut accéder aux chaleurs spécifiques de n'importe quel hydrocarbure par des méthodes d'estimation.

Citons à titre d'exemple, la corrélation de MISSENARD.

La chaleur spécifique est donnée par :

$$C_p = A + B T + C T^2 \quad (\text{Cal/g. mole } ^\circ\text{K})$$

Les coefficients A, B, C varient selon les groupes et sont tabulés.

2. - Chaleur latente de vaporisation.

C'est la quantité de chaleur fournie à l'unité de poids d'une substance pour la transformer en vapeur. Dans le cas des hydrocarbures purs, cette transformation s'effectue à pression et températures constantes, alors que pour les mélanges elle peut se réaliser selon deux voies : soit à pression constante et température variable, ce qui est le cas le plus fréquent, soit encore à température constante et pression variable.

La chaleur latente de vaporisation s'exprime en cal/Kg ou en Cal/mole et dans le système Anglo-Saxon, en Rtu/lb = 5/9 cal/kg. La chaleur de vaporisation des hydrocarbures purs est fonction de la température ou encore de la pression, c'est à dire de la tension de vapeur à la température considérée.

Corrélations (PRAUSNITZ.SHERWOOD. The properties of gases and liquids). [3]

Il est possible d'estimer l'enthalpie de vaporisation en faisant appel à la loi des états correspondants.

$$\frac{d \left(\ln P_{vr} \right)}{d \left(\frac{T}{T_c} \right)} = - \frac{\Delta H_v}{R T_c} \frac{1}{\Delta Z_v}$$

où P_{vr} est la pression de vapeur réduite

ΔZ_v : incrément

L'enthalpie réduite $\frac{\Delta H_v}{R T_c}$ est une fonction de $d \left(\ln P_{vr} \right)$ et de $\frac{d \left(\frac{T}{T_c} \right)}{d \left(\frac{T}{T_c} \right)}$

Pour un corps pur, il existe un certain nombre de corrélations qui permettent d'atteindre

$$\frac{\Delta H_v}{R T_c}$$

.../...

- CORRELATION DE PITZER.

Elle fait intervenir le facteur acentrique w

$$\frac{\Delta H_v}{R T_c} = 7,08 (I-Tr)^{0,354} + 10,95 w (I-Tr)^{0,456}$$

- CORRELATION DE RIEDEL.

$$\Delta H_{vb} = I,093 \frac{T_c}{T_{br}} \left[\frac{\ln (P_c - I)}{0,930 - T_{br}} \right]$$

T_{br} est la température réduite rapportée à la température d'ébullition normale.

ΔH_{vb} est prise à la température normale d'ébullition. L'erreur varie de 1 à 4% selon la famille d'hydrocarbure considérée.

- Relation de WATSON-THEISSEN

Elle décrit la variation de ΔH_v avec la température.

La chaleur latente de vaporisation décroît avec la température et s'annule au point critique.

$$\Delta H_{v2} = \Delta H_{v1} \left[\frac{I-Tr_2}{I-Tr_1} \right]^{0,38}$$

(Voir partie calcul, paragraphe IV)

3. Viscosité.

La viscosité est une grandeur physique qui mesure la résistance interne à l'écoulement d'un fluide, résistance due au frottement des molécules qui glissent l'une contre l'autre. La viscosité dynamique ou absolue μ s'exprime en poises ou centipoises dans le système CGS ; la poise correspond à une force d'une dyne qui déplace une surface plane d'un centimètre carré à la vitesse de 1 cm/s, par rapport à une autre surface plane d'un centimètre carré, distante de 1 cm par rapport à la première.

La viscosité cinématique η est le rapport de la viscosité absolue à la densité mesurée à la même température. Elle s'exprime en stokes et en centistokes.

$$\eta = \frac{\mu}{\rho}$$

La détermination de la viscosité cinématique est effectuée par mesure du temps d'écoulement du produit entre les deux traits-repères d'un tube capillaire calibré.

La viscosité des liquides est une fonction décroissante de la température alors qu'elle est croissante pour les gaz. En plus des formules semi-empiriques, de nombreux abaques permettent d'estimer la viscosité des fluides courants en fonction de la température.

La viscosité n'est pas une propriété additive. La base fluide a une action prédominante qui donne au mélange une viscosité inférieure à celle calculée par pondération en volume.

4. Pouvoir calorifique.

La quantité de chaleur libérée par la combustion de l'unité de volume ou de poids du combustible est appelée pouvoir calorifique.

Le bilan thermique de la réaction établi pour un combustible pris à 15°C et les produits de la combustion gazeux à la même température, donne alors le pouvoir calorifique inférieur I alors que, si l'on condense la vapeur d'eau dans les fumées à 15°C, on obtient le pouvoir calorifique supérieur P. La différence entre ces valeurs représente la chaleur de condensation de l'eau à 15°C, soit 588 K cal/Kg d'eau.

5. Tension superficielle.[5]

Pour augmenter la surface d'un liquide d'une quantité ΔS , il est nécessaire, pour vaincre les forces de cohésion entre molécules de fournir une énergie ΔG_s

La grandeur qui caractérise une surface sera donc logiquement le travail à fournir pour augmenter sa surface libre d'une aire unité. Cette grandeur est appelée tension superficielle, on la désigne par γ et elle s'exprime en erg/cm² ou en dyn/cm.

$$\gamma = \left(\frac{\Delta G_s}{\Delta S} \right)_{T,P}$$

Une des méthodes de détermination de la tension superficielle consiste à mesurer la force nécessaire pour "arracher" un anneau rigide immergé dans le fluide. L'anneau est relié par l'intermédiaire d'un fil de torsion à une balance de mesure.

6 - Point de congélation et point d'écoulement.

Il n'y a pas de règle générale pour prévoir ces points de congélation ou d'écoulement à partir des paramètres classiques, tels que densité, K uop; point d'aniline, car la composition des distillats est très complexe. Toutefois, en première approximation, W.L. Nelson propose que ces points soient estimés à partir du facteur de caractérisation et du point 50% ASTM pour les carburéacteurs et les gasoils moteur.

En général, le point d'écoulement d'un mélange est toujours nettement supérieur à celui que l'on pourrait calculer par une moyenne volumétrique.

PARTIE
CALCULS

IV DETERMINATION D'EQUATIONS REPRESENTANT LA VARIATION DE L'ENTHALPIE STANDARD DE VAPORISATION D'HYDROCARBURES VALABLES POUR TOUTE TEMPERATURE. [1],[2]

Depuis une trentaine d'années déjà les physico-chimistes se sont efforcés de déterminer les grandeurs thermodynamiques et notamment l'enthalpie de vaporisation des liquides. Etant donné l'importance de l'utilisation de ces grandeurs, beaucoup d'auteurs ont essayé ensuite d'établir des équations représentatives de ces fonctions.

Nous citerons tout particulièrement l'équation de Watson appelée aussi Équation de Theisen ;

$$\Delta H_{v_T}^{\circ} = \Delta H_{v_{T_1}}^{\circ} \left(\frac{T_c - T}{T_c - T_1} \right)^{0,38} \quad (I)$$

Qui nécessite la connaissance d'une enthalpie à une température T_1 . Pouvant être par exemple la température d'ébullition T_e et dans laquelle T_c est la température critique du corps considéré.

La loi empirique de Watson n'est pas valable dans le domaine des températures voisin de la température critique et fournit des valeurs approximatives lorsque la température réduite tend vers 1.

Pour cela, nous remplaçons l'exposant constant 0,38 par un polynome au plus de degré 2 exprimé en fonction de la température réduite.

L'équation (I) devient alors :

$$\Delta H_{v_T}^{\circ} = \Delta H_{v_{T_e}}^{\circ} \left(\frac{1 - Tr}{1 - Tre} \right)^{A + BTr + CTr^2} \quad (2)$$

Tr et Tre étant respectivement la température réduite et la valeur de la température d'ébullition exprimée sous la forme réduite A, B et C étant des coefficients caractéristiques de chaque composé.

Nous avons réuni dans les tableaux I, 2 et 3 les valeurs des coefficients A, B et C pour différents hydrocarbures éthyleniques, isonaraffiniques et aromatiques.

Tableau I.

Composés	A.	B.	C.
I. butène	0,4718	- 0,4309	0,3545
Cis 2 Butène	0,5160	- 0,4963	0,3704
Trans-2-butène	0,6225	- 0,8889	0,6754

Tableau 2.

Composés	A.	B.	C.
13- Méthylpentane	0,5732	-0,5388	0,3448.
3- Méthylhexane	0,2964	0,2517	-0,1889.
12- Méthylheptane	0,3633	0,0100	0,0074

Tableau 3.

Composés	A.	B.	C.
n propylbenzène	0,4009	-0,0935	0,0964
isopropylbenzene	0,3083	0,2557	- 0,1967.

Afin de préciser ces résultats, et ainsi d'apprécier les possibilités offertes par une équation de la forme de la relation (2), nous avons représenté ci-après la variation de l'enthalpie de vaporisation (en Btu/lb) des différents hydrocarbures éthyléniques, isoparaffiniques et aromatiques avec la température, tout en comparant les valeurs de l'écart moyen entre les valeurs de l'enthalpie de vaporisation calculées (à partir de notre équation et de l'équation de Watson) et expérimentales.

..../...

-10-

I. Hydrocarbures éthyléniques.

a) I. butène.

T (°F)	Tr	n	ΔH_v (exp)	ΔH_v (Mats.)	ΔH_v (équat)	Ecart/ Mats.	Ecart/équat
-250	0,2777	0,3795	218	218,0	217,9	0	$2,5 \cdot 10^{-3}$
-200	0,3439	0,3655	210	210,2	208,4	$9,6 \cdot 10^{-4}$	$7,5 \cdot 10^{-3}$
-150	0,4101	0,3547	202	201,9	199,4	$6,2 \cdot 10^{-4}$	$12,7 \cdot 10^{-3}$
-100	0,4763	0,3470	193	192,9	190,6	$2,7 \cdot 10^{-4}$	$12,2 \cdot 10^{-3}$
-50	0,5425	0,3423	183	183,3	181,7	$1,6 \cdot 10^{-3}$	$7,0 \cdot 10^{-3}$
0	0,6087	0,3408	173	172,7	172,2	$1,6 \cdot 10^{-3}$	$4,4 \cdot 10^{-3}$
50	0,6749	0,3424	162	161,0	161,6	$6,3 \cdot 10^{-3}$	$2,1 \cdot 10^{-3}$
100	0,7411	0,3472	149	147,6	149,3	$9,2 \cdot 10^{-3}$	$1,9 \cdot 10^{-3}$
125	0,7742	0,3507	142	140,2	142,1	$130 \cdot 10^{-3}$	$8,7 \cdot 10^{-4}$
150	0,8073	0,3550	135	131,9	134,1	$22,5 \cdot 10^{-3}$	$6,8 \cdot 10^{-3}$
175	0,8404	0,3600	126	122,8	124,9	$25,1 \cdot 10^{-3}$	$8,9 \cdot 10^{-3}$
200	0,8735	0,3659	115	112,5	114,1	$22,2 \cdot 10^{-3}$	$7,5 \cdot 10^{-3}$
225	0,9066	0,3725	102	100,2	101,2	$17,6 \cdot 10^{-3}$	$7,6 \cdot 10^{-3}$
250	0,9397	0,3799	85	84,8	84,8	$1,8 \cdot 10^{-3}$	$1,6 \cdot 10^{-3}$
275	0,9728	0,3880	61	62,7	61,4	$27,6 \cdot 10^{-3}$	$6,2 \cdot 10^{-3}$
ECART MOYEN						$10,0 \cdot 10^{-3}$	$5,8 \cdot 10^{-3}$

...../....

b) Cis -2- butène.

T (°F)	Tr	n	ΔH_v (exp)	ΔH_v (wats)	ΔH_v (equat)	Ecart/ wats	Ecart/ equat.
- 200	0,3313	0,3922	225	225,4	227,1	$20 \cdot 10^{-3}$	$9,5 \cdot 10^{-3}$
- 150	0,3950	0,3778	217	217,0	216,8	0	$9,7 \cdot 10^{-4}$
- 100	0,4588	0,3662	208	208,0	206,9	0	$5,2 \cdot 10^{-3}$
- 50	0,5226	0,3578	198	198,4	197,2	$1,8 \cdot 10^{-3}$	$4,2 \cdot 10^{-3}$
0	0,5864	0,3523	187	187,8	187,2	$4,5 \cdot 10^{-3}$	$9,8 \cdot 10^{-4}$
50	0,6501	0,3498	175	176,3	176,5	$7,2 \cdot 10^{-3}$	$8,4 \cdot 10^{-3}$
100	0,7139	0,3504	163	163,3	164,5	$1,7 \cdot 10^{-3}$	$8,9 \cdot 10^{-3}$
125	0,7458	0,3518	156	156,1	157,7	$7,6 \cdot 10^{-4}$	$10,9 \cdot 10^{-3}$
150	0,7777	0,3540	149	149,4	150,3	$4,2 \cdot 10^{-3}$	$8,6 \cdot 10^{-3}$
175	0,8095	0,3569	141	139,9	142,0	$7,8 \cdot 10^{-3}$	$7,0 \cdot 10^{-3}$
200	0,8414	0,3606	132	130,5	132,6	$11,5 \cdot 10^{-3}$	$4,5 \cdot 10^{-3}$
225	0,8733	0,3650	122	119,8	121,7	$17,9 \cdot 10^{-3}$	$2,3 \cdot 10^{-3}$
250	0,9052	0,3702	109	107,3	108,7	$15,5 \cdot 10^{-3}$	$2,5 \cdot 10^{-3}$
275	0,9370	0,3762	92	91,8	92,4	$1,9 \cdot 10^{-3}$	$4,8 \cdot 10^{-3}$
300	0,9690	0,3828	69	70,2	69,7	$17,3 \cdot 10^{-3}$	$10,0 \cdot 10^{-3}$
				ECART MOYEN		$6,3 \cdot 10^{-3}$	$5,9 \cdot 10^{-3}$

c) Trans - 2 - butène.

-I2-

T (°F)	Tr	n	ΔH_v (Exp)	ΔH_v (Wats)	ΔH_v (equat)	Ecart/ Wats	Ecart/ equat.
-150	0,4015	0,3745	2II	2II,5	2II,9	2,3 10^{-3}	4,7 10^{-4}
-100	0,4663	0,3548	202	202,5	200,5	2,4 10^{-3}	7,4 10^{-3}
-50	0,53II	0,3409	I93	I92,8	I90,8	1,2 10^{-3}	II,4 10^{-3}
0	0,5959	0,3326	I82	I82,2	I81,2	8,8 10^{-4}	4,5 10^{-3}
25	0,6284	0,3306	I77	I76,5	I76,2	3,0 10^{-3}	4,5 10^{-3}
50	0,6607	0,3300	I7I	I70,5	I71,0	3,2 10^{-3}	0 10^{-3}
75	0,6932	0,3308	I65	I64,I	I65,4	5,6 10^{-3}	2,3 10^{-3}
100	0,7255	0,333I	I59	I57,3	I59,3	10,9 10^{-3}	1,8 10^{-3}
125	0,7580	0,3368	I53	I49,9	I52,5	20,0 10^{-3}	3,0 10^{-3}
150	0,7904	0,3418	I45	I42,0	I44,9	2I,0 10^{-3}	5,0 10^{-4}
175	0,8228	0,3483	I37	I33,2	I36,2	27,9 10^{-3}	5,7 10^{-3}
200	0,8552	0,3563	I28	I23,3	I26,0	36,4 10^{-3}	15,3 10^{-3}
225	0,8876	0,3656	I16	I12,0	I13,9	34,3 10^{-3}	17,9 10^{-3}
250	0,9200	0,3764	I03	98,4	99,0	44,2 10^{-3}	39,0 10^{-3}
275	0,9524	0,3885	83	80,8	79,4	26,3 10^{-3}	13,0 10^{-3}
300	0,9848	0,402I	48	52,4	48,8	90,8 10^{-3}	17,0 10^{-3}
ECART MOYEN						20,6 10^{-3}	10,8 10^{-3}

2 - Hydrocarbures isonaraffiniques. -I3-

a) 3 - Methylpentane

T (°F)	Tr	n	ΔH_v (exp.)	ΔH_v (Mats)	ΔH_v (equat)	ECART/ Mats	ECART/ Equat.
0	0,5064	0,3888	163	162,7	163,3	1,6 10^{-3}	1,8 10^{-3}
25	0,5339	0,3828	159	159,2	159,2	1,4 10^{-3}	2,7 10^{-3}
50	0,5614	0,3794	156	155,6	155,6	2,6 10^{-3}	2,8 10^{-3}
75	0,5890	0,3754	152	151,8	151,7	1,3 10^{-3}	2,3 10^{-3}
100	0,6165	0,3720	148	147,8	147,7	1,0 10^{-3}	2,1 10^{-3}
125	0,6440	0,3692	144	143,7	143,6	1,0 10^{-3}	2,6 10^{-3}
150	0,6716	0,3668	140	139,4	139,4	4,3 10^{-3}	4,2 10^{-3}
175	0,6991	0,3650	135	134,8	135,0	1,3 10^{-3}	0
200	0,7267	0,3637	131	130,0	130,4	7,6 10^{-3}	4,4 10^{-3}
225	0,7542	0,3629	126	124,8	125,5	9,0 10^{-3}	3,9 10^{-3}
250	0,7817	0,3627	120	119,3	120,2	5,4 10^{-3}	1,8 10^{-3}
275	0,8093	0,3630	115	113,4	114,5	14,0 10^{-3}	4,6 10^{-3}
300	0,8368	0,3638	108	106,8	106,1	10,5 10^{-3}	9,8 10^{-4}
325	0,8643	0,3650	101	99,6	100,9	3,7 10^{-3}	4,2 10^{-4}
350	0,8919	0,3662	92	91,4	92,7	6,7 10^{-3}	8,0 10^{-3}
375	0,9194	0,3673	82	81,7	83,0	3,3 10^{-3}	11,9 10^{-3}
400	0,9469	0,3721	70	69,7	70,7	4,0 10^{-3}	10,4 10^{-3}
425	0,9745	0,3756	54	52,8	53,4	22,4 10^{-3}	11,2 10^{-3}
				ECART MOYEN	6,2 10^{-3}	4,2 10^{-3}	

b) 3-méthylhexane.

-I4-

T (°F)	Tr	n	ΔH_v (exp.)	ΔH_v (Wats.)	ΔH_v (équat.)	Ecart/Wats	Ecart/ équat.
0	0,4772	0,3735	159	159,7	159,2	4,3 10^{-3}	1,0 10^{-3}
25	0,5032	0,3752	156	156,6	156,3	3,9 10^{-3}	1,8 10^{-3}
50	0,5291	0,3767	154	153,5	153,3	3,5 10^{-3}	4,8 10^{-3}
75	0,5550	0,3779	150	150,2	150,1	1,2 10^{-3}	5,5 10^{-4}
100	0,5810	0,3788	147	146,8	146,7	1,4 10^{-3}	1,7 10^{-3}
125	0,6070	0,3796	144	143,3	143,3	5,0 10^{-3}	5,1 10^{-3}
150	0,6329	0,3800	140	139,6	139,6	2,8 10^{-3}	2,8 10^{-3}
175	0,6589	0,3802	137	135,8	135,8	9,0 10^{-3}	9,0 10^{-3}
200	0,6848	0,3802	133	131,7	131,7	9,4 10^{-3}	9,4 10^{-3}
225	0,7108	0,3798	129	127,5	127,5	11,5 10^{-3}	11,5 10^{-3}
250	0,7367	0,3793	124	123,0	123,0	7,8 10^{-3}	7,6 10^{-3}
275	0,7627	0,3785	120	118,3	118,3	14,3 10^{-3}	13,9 10^{-3}
300	0,7886	0,3774	115	113,2	113,3	15,8 10^{-3}	14,7 10^{-3}
325	0,8146	0,3760	109	107,7	107,9	12,0 10^{-3}	9,9 10^{-3}
350	0,8405	0,3743	103	101,7	102,1	12,7 10^{-3}	8,9 10^{-3}
375	0,8665	0,3726	97	95,1	95,7	20,0 10^{-3}	13,8 10^{-3}
400	0,8924	0,3706	89	87,6	88,5	16,2 10^{-3}	6,1 10^{-3}
425	0,9184	0,3682	80	78,8	80,1	14,5 10^{-3}	1,3 10^{-3}
450	0,9444	0,3656	70	68,2	69,9	26,2 10^{-3}	1,5 10^{-3}
475	0,9703	0,3628	55	53,7	55,9	23,8 10^{-3}	16,8 10^{-3}
ECART				MOYEN		$10,8 \cdot 10^{-3}$	$7,1 \cdot 10^{-3}$

c) 2 - Méthylheptane.-

-I5-

T (°F)	Tr	n	ΔH_v (Exp)	ΔH_v (Wats)	ΔH_v (Equat.)	Ecart/ Wats	Ecart/ Equat.
-150	0,3075	0,3670	173	174,6	172,7	9,1 10^{-3}	1,6 10^{-3}
-100	0,3572	0,3678	168	169,7	168,2	10,2 10^{-3}	9,6 10^{-4}
-50	0,4068	0,3686	163	164,6	163,4	9,9 10^{-3}	2,1 10^{-3}
0	0,4564	0,3694	158	159,2	158,2	7,8 10^{-3}	1,5 10^{-3}
50	0,5060	0,3702	152	153,6	152,8	10,2 10^{-3}	5,3 10^{-3}
100	0,5557	0,3711	146	147,5	147,0	10,2 10^{-3}	6,7 10^{-3}
150	0,6053	0,3720	140	141,0	140,7	7,1 10^{-3}	4,9 10^{-3}
200	0,6550	0,3730	133	134,0	133,8	7,3 10^{-3}	6,4 10^{-3}
250	0,7046	0,3740	126	126,3	126,3	2,3 10^{-3}	2,5 10^{-3}
300	0,7542	0,3750	117	117,8	117,9	6,5 10^{-3}	7,6 10^{-3}
350	0,8039	0,3761	108	108,1	108,3	8,4 10^{-4}	2,5 10^{-3}
400	0,8535	0,3772	97	96,7	96,9	2,6 10^{-3}	6,5 10^{-4}
425	0,8783	0,3786	90	90,2	90,3	1,7 10^{-3}	2,9 10^{-3}
450	0,9032	0,3783	83	82,7	82,8	4,0 10^{-3}	2,2 10^{-3}
475	0,9280	0,3789	75	73,9	74,0	15,1 10^{-3}	13,6 10^{-3}
500	0,9528	0,3795	64	62,9	63,0	17,1 10^{-3}	16,3 10^{-3}
525	0,9776	0,3799	47	47,4	47,4	7,7 10^{-3}	7,9 10^{-3}
				ECART	MOYEN	$7,6 \cdot 10^{-3}$	$5,0 \cdot 10^{-3}$

3 - Hydrocarbures aromatiques. -I6-

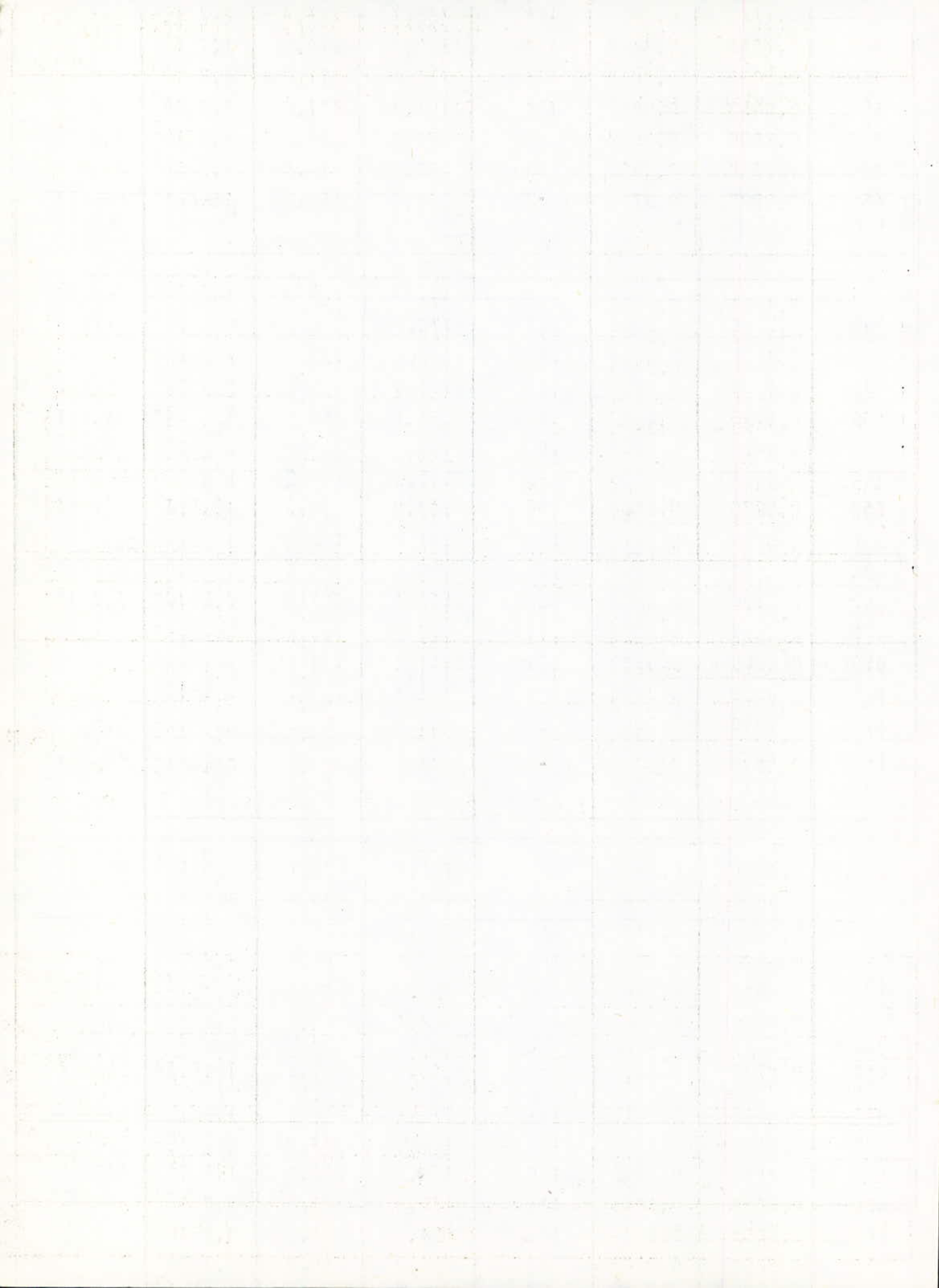
a) n. propylbenzène

T (°F)	Tr	n	ΔH_v (exp.)	ΔH_v (Mats)	ΔH_v (equat.)	ECART/ MATS.	ECART/ EQUAT.
- 100	0,3131	0,3810	182	182,4	182,6	$2,2 \cdot 10^{-3}$	$3,0 \cdot 10^{-3}$
- 50	0,3566	0,3798	178	177,9	177,9	$4,4 \cdot 10^{-4}$	$5,7 \cdot 10^{-4}$
- 0	0,4002	0,3789	173	173,3	173,1	$1,4 \cdot 10^{-3}$	$7,7 \cdot 10^{-4}$
50	0,4437	0,3784	168	168,4	168,2	$2,1 \cdot 10^{-3}$	$1,2 \cdot 10^{-3}$
100	0,4872	0,3782	163	163,2	163,1	$1,4 \cdot 10^{-3}$	$5,8 \cdot 10^{-4}$
150	0,5307	0,3784	158	157,8	157,7	$1,1 \cdot 10^{-3}$	$1,7 \cdot 10^{-3}$
200	0,5742	0,3789	152	152,1	152,1	$5,9 \cdot 10^{-4}$	$3,1 \cdot 10^{-4}$
250	0,6177	0,3799	146	146,0	146,0	0	0
300	0,6613	0,3812	139	139,4	139,4	$3,1 \cdot 10^{-3}$	$3,2 \cdot 10^{-3}$
350	0,7048	0,3829	132	132,3	132,3	$2,5 \cdot 10^{-3}$	$2,2 \cdot 10^{-3}$
400	0,7483	0,3849	123	124,6	124,4	$12,6 \cdot 10^{-3}$	$11,4 \cdot 10^{-3}$
450	0,7918	0,3873	114	115,9	115,5	$16,5 \cdot 10^{-3}$	$13,2 \cdot 10^{-3}$
500	0,8353	0,3900	105	106,0	105,3	$9,5 \cdot 10^{-3}$	$2,7 \cdot 10^{-3}$
550	0,8788	0,3932	93	94,3	93,1	$14,3 \cdot 10^{-3}$	$1,3 \cdot 10^{-3}$
600	0,9224	0,3966	78	79,7	77,8	$21,2 \cdot 10^{-3}$	$2,8 \cdot 10^{-3}$
650	0,9659	0,4005	55	58,3	55,6	$59,5 \cdot 10^{-3}$	$11,7 \cdot 10^{-3}$
; ECART MOYEN						$9,3 \cdot 10^{-3}$	$3,5 \cdot 10^{-3}$

b) Isopropylbenzene.

- 57 -

T (°F).	Tr	n	ΔH_v (exp.).	ΔH_v (Wats).	ΔH_v (équat.).	Ecart/ Wats.	Ecart/ équat.
-100	0,3167	0,3695	177	178,0	176,7	5,8 10^{-3}	$1,9 \cdot 10^{-3}$
-50	0,3607	0,3749	173	173,6	173,0	3,4 10^{-3}	0
0	0,4048	0,3796	168	168,9	168,9	5,6 10^{-3}	$5,3 \cdot 10^{-3}$
50	0,4488	0,3834	163	164,1	164,4	6,6 10^{-3}	$8,4 \cdot 10^{-3}$
100	0,4928	0,3865	158	159,0	159,4	6,1 10^{-3}	$9 \cdot 10^{-3}$
150	0,5368	0,3888	153	153,6	154,0	3,8 10^{-3}	$6,9 \cdot 10^{-3}$
200	0,5809	0,3905	148	147,9	148,2	9,3 10^{-4}	$1,7 \cdot 10^{-3}$
250	0,6249	0,3913	142	141,8	142,0	1,7 10^{-3}	0
300	0,6689	0,3913	135	135,2	135,2	1,4 10^{-3}	$1,6 \cdot 10^{-3}$
350	0,7129	0,3906	128	128,1	127,9	4,2 10^{-4}	$9,1 \cdot 10^{-4}$
400	0,7569	0,3892	120	120,2	119,9	1,7 10^{-3}	$9,7 \cdot 10^{-4}$
450	0,8009	0,3869	111	111,4	111,0	3,7 10^{-3}	0
500	0,8450	0,3839	101	101,3	101,0	3,1 10^{-3}	0
550	0,8890	0,3802	89	89,2	89,2	2,7 10^{-3}	$2,5 \cdot 10^{-3}$
600	0,9330	0,3756	73	73,6	74,1	8,8 10^{-3}	$15,8 \cdot 10^{-3}$
650	0,9770	0,3704	50	49,0	50,3	19,8 10^{-3}	$5,6 \cdot 10^{-3}$
				ECART	MOYEN	$4,7 \cdot 10^{-3}$	$3,8 \cdot 10^{-3}$



RAPPELONS AUSSI, LES VARIATIONS DE L'ENTHALPIE DE VAPORISATION
DE QUELQUES HYDROCARBURES NAPHTENIQUES ET ISOPARAFFINIQUES (PROJET
DE FIN D'ETUDE - PROMOTION . JANV. 1985). [10]

DANS LE TABLEAU CI-DESSOUS NOUS AVONS REPRIS LES VALEURS DES
COEFFICIENTS A, B et C DES DIFFERENTS COMPOSES.

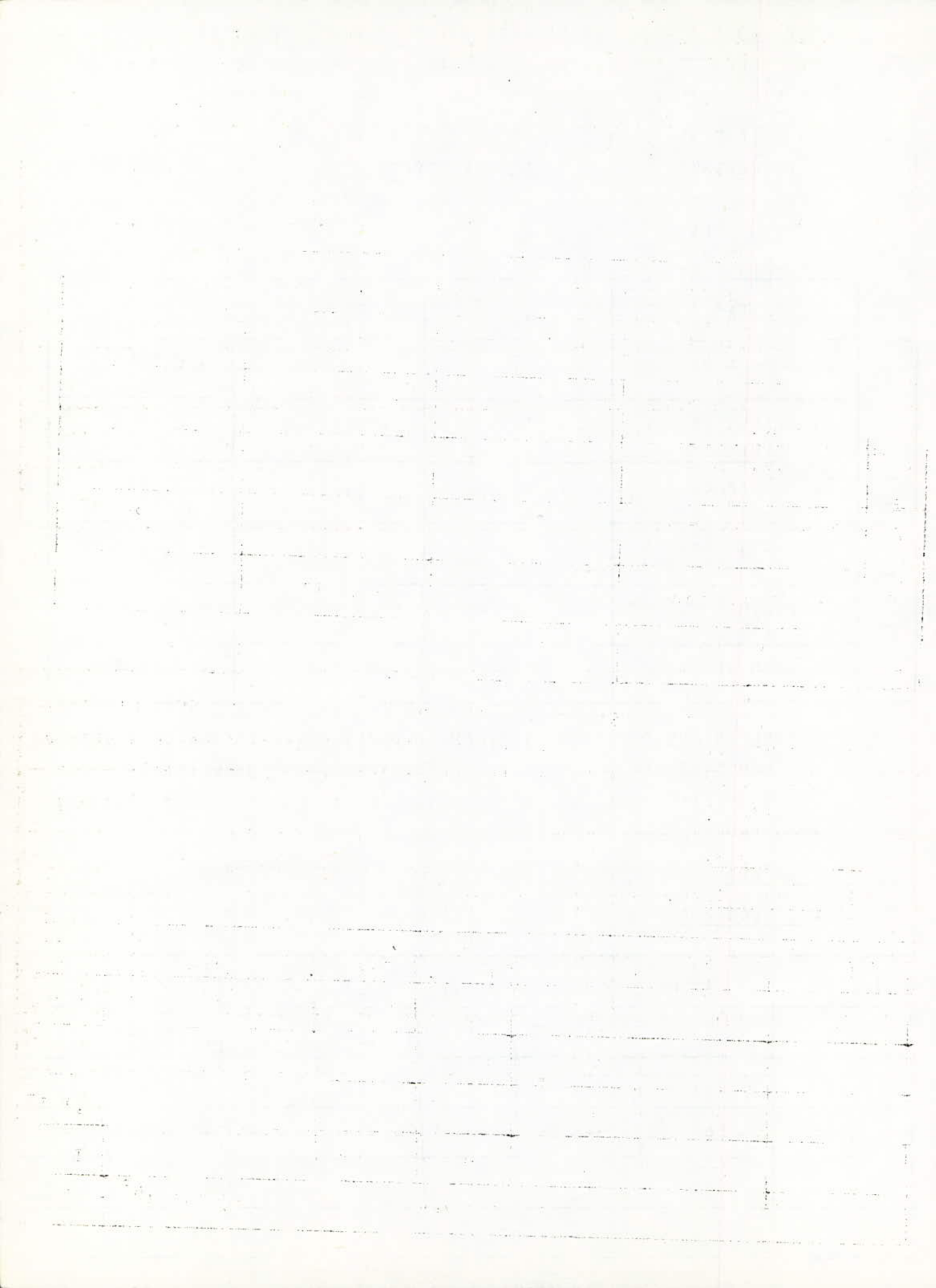
	COMPOSES	A.	B.	C.
Isoparaffiniques Naphténiques.	Cyclopentane	0,3330	0,1010	- 0,0672
	2- Méthylcyclopentane.	0,4600	- 0,5130	0,5000
	Cyclohexane	0,3744	0,0795	- 0,0783
	2- Méthylpentane	0,1066	0,4876	- 0,2328
	2- Méthylhexane	0,4953	- 0,6517	0,6233
	3- Méthylheptane	0,3757	0,0574	- 0,0654.

REPRESENTONS AUSSI LES TABLEAUX DONNANT LA VARIATION DE L'ENTHALPIE
DE VAPORISATION (en Btu/lb) des différents hydrocarbures obtenue
expérimentalement, avec l'équation de WATSON et avec l'équation
modifiée.

Naphténiques.

I) Cyclopentane.

T (°C)	Tr	n	ΔH_v (exp.).	ΔH_v (équat.)	ΔH_v (Wats.).	Ecart/ équat.	Ecart/ Wats.
37,7	0,158	0,3472	171	170,97	171,30	$0,17 \cdot 10^{-3}$	$1,7 \cdot 10^{-3}$
93,3	0,392	0,3622	152	152,08	151,37	$0,52 \cdot 10^{-3}$	$4,1 \cdot 10^{-3}$
148,8	0,625	0,3699	127	126,93	125,97	$0,55 \cdot 10^{-3}$	$8,1 \cdot 10^{-3}$
204,4	0,859	0,3702	88	88,35	86,86	$3,9 \cdot 10^{-3}$	$12,9 \cdot 10^{-3}$
ECART MOYEN						$5,5 \cdot 10^{-3}$	$8,6 \cdot 10^{-3}$



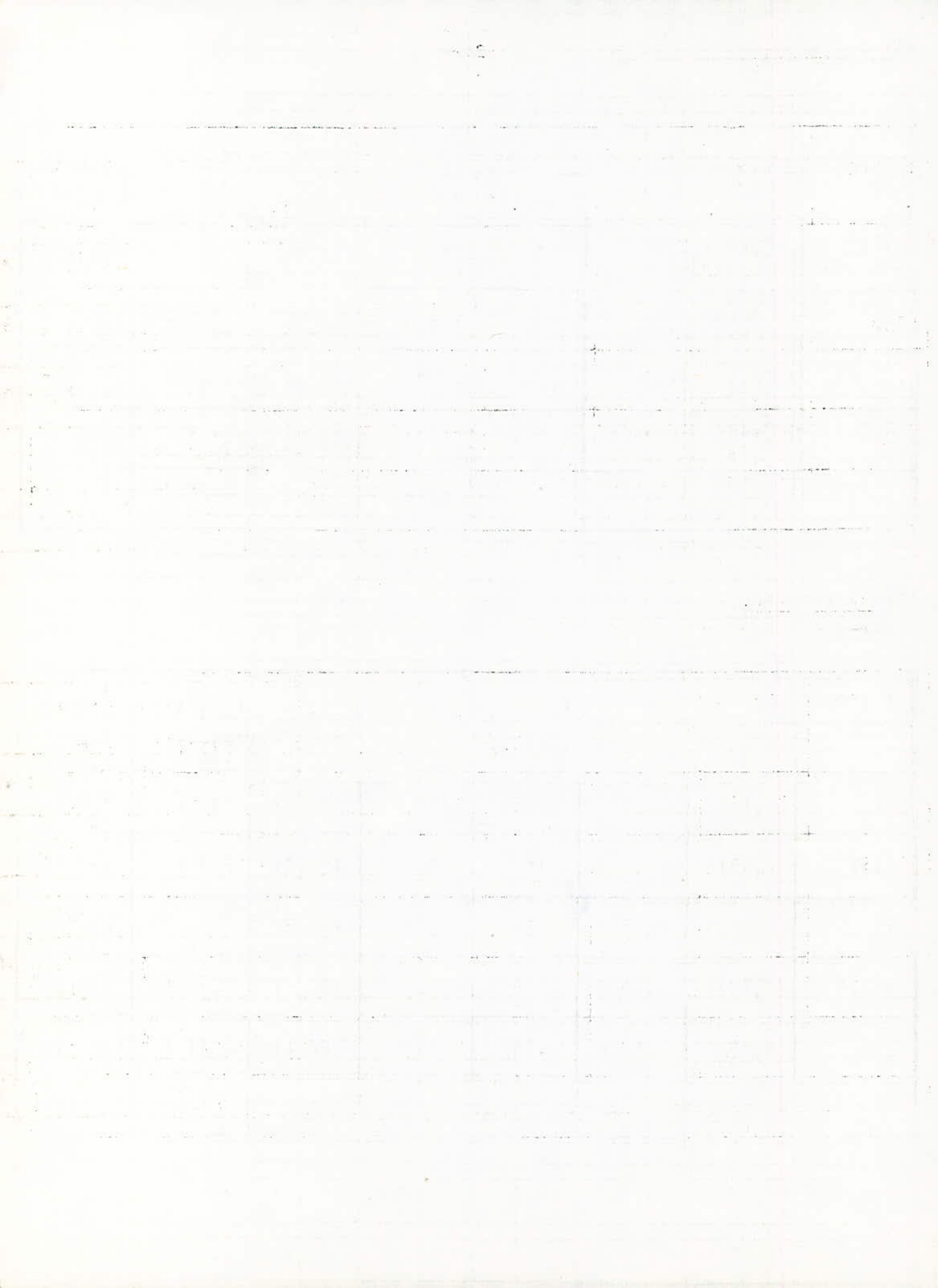
2) 2-Methylcyclopentane.

-20-

T (°C)	Tr	n	Δ H _v (exp.).	Δ H _v (équat).	Δ H _v (Watts).	Ecart/ équat.	Ecart/ Watts
37,7	0,145	0,3961	158	157,99	157,55	0,06 10 ⁻³	2,7 10 ⁻³
93,3	0,358	0,3404	142	141,98	141,31	0,14 10 ⁻³	4,8 10 ⁻³
148,8	0,572	0,3301	122	124,35	121,13	19 10 ⁻³	7,1 10 ⁻³
204,4	0,786	0,3656	95	94,73	93,08	2,8 10 ⁻³	20 10 ⁻³
				ECART	MOYEN	5,5 10 ⁻³	8,6 10 ⁻³

3) Cyclohexane.

T (°C)	Tr	n	Δ H _v (exp.).	Δ H _v (équat.)	Δ H _v (Watts)	Ecart/ équat.	Ecart/ Watts.
97,7	0,1341	0,3836	165	164,99	164,87	0,6 10 ⁻⁴	7,8 10 ⁻⁴
93,3	0,3318	0,3921	149	149,29	149,41	1,9 10 ⁻³	2,7 10 ⁻³
148,8	0,5293	0,3645	130	130	130,78	0	6 10 ⁻³
204,4	0,7271	0,3908	105	105,22	106,31	2,09 10 ⁻³	1,2 10 ⁻²
260	0,9249	0,3809	65	64,98	65,11	3,07 10 ⁻⁴	1,69 10 ⁻³
				ECART	MOYEN	8,7 10 ⁻⁴	46,1 10 ⁻⁴



Isoparaffines.I) 2- Méthylpentane.

T (°C)	Tr	n	Δ H _v (exp.)	Δ H _v (équat.)	Δ H _v (Mats.)	Ecart/ équat.	Ecart/ Mats.
37,77	0,1643	0,1804	148	151,43	145,62	23. 10 ⁻³	16 10 ⁻³
93,33	0,4067	0,2654	131	131,017	127,84	10,12 10 ⁻³	24 10 ⁻³
148,88	0,5488	0,3249	109	109,11	104,75	1. 10 ⁻³	38,9 10 ⁻³
204,44	0,8910	0,3562	70	70,27	67,15	13,8 10 ⁻³	40,7 10 ⁻³
ECART MOYEN						6,9 10 ⁻³	29,9 10 ⁻³

2) 2- Méthylhexane.

T (°C)	Tr	n	Δ H _v (exp.)	Δ H _v (équat.)	Δ H _v (Mats.)	Ecart/ équat.	Ecart/ Mats.
37,77	0,143	0,4148	147	146,98	145,63	10,13 10 ⁻³	9,32 10 ⁻³
93,33	0,355	0,3429	133	130,82	130,73	16,3 10 ⁻³	17,06 10 ⁻³
148,88	0,566	0,3261	115	115,00	112,45	0	22,1 10 ⁻³
204,44	0,778	0,3655	90	88,55	87,16	16,1 10 ⁻³	31,5 10 ⁻³
260	0,989	0,4604	20	20,02	27,82	1,4 10 ⁻³	0,391
ECART MOYEN						6,7 10 ⁻³	94,1 10 ⁻³

T (°C)	Tr	n	ΔH_v (Exp.)	ΔH_v (Equat)	ΔH_v (WATS)	ECART EQUAT	ECART/ WATS.
37,77	0,1299	0,3820	148	147,97	147,85	$0,2 \cdot 10^{-3}$	$1,01 \cdot 10^{-3}$
93,33	0,3212	0,3873	134	134,68	134,54	$5,07 \cdot 10^{-3}$	$4,02 \cdot 10^{-3}$
148,88	0,5120	0,3879	118,5	118,51	118,68	$0,7 \cdot 10^{-3}$	$1,51 \cdot 10^{-3}$
204,44	0,7036	0,3837	99	97,95	98,20	0,010	$8,08 \cdot 10^{-3}$
260	0,894	0,3747	67	67,04	66,43	$5,97 \cdot 10^{-3}$	$8,5 \cdot 10^{-3}$
ECART MOYEN						$4,26 \cdot 10^{-3}$	$4,62 \cdot 10^{-3}$

Nous avons représenté sur les figures (I à 8) la variation de l'enthalpie standard de vaporisation avec la température pour les différents hydrocarbures étudiés.

En examinant ces courbes, on constate qu'au voisinage du point critique la décroissance est très rapide et l'enthalpie s'annule au point critique. De plus les valeurs d'enthalpie de vaporisation sont plus proches des valeurs expérimentales que celles obtenues à partir de l'équation de Watson.

CONCLUSION :

En comparant les valeurs de l'écart moyen entre les valeurs de l'enthalpie de vaporisation calculées et expérimentales nous pouvons apprécier que notre équation permet d'obtenir une bien meilleure précision que l'équation plus simple de WATSON-THEISEN dans un domaine très large de température comprenant notamment la température critique.

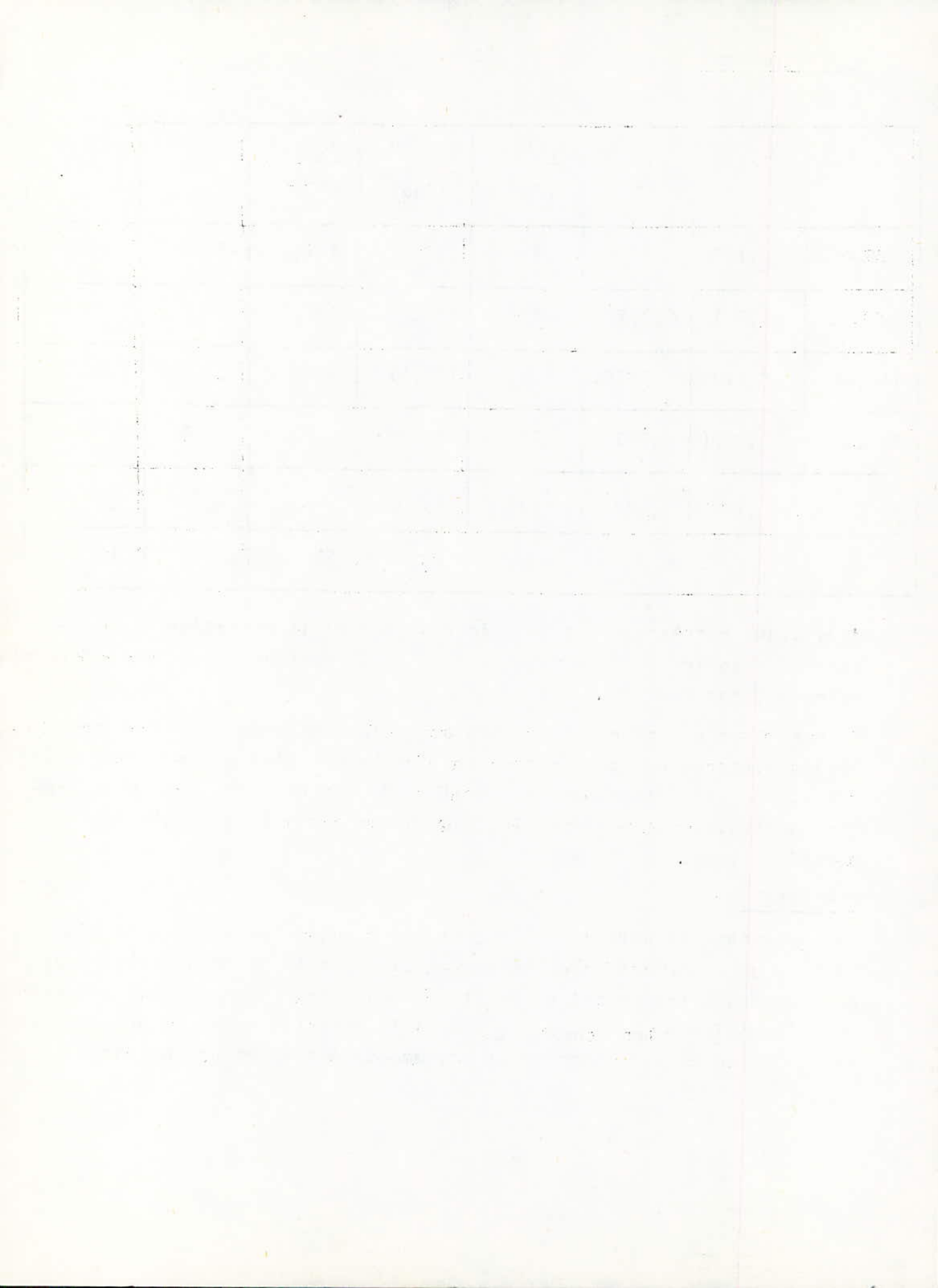


FIG.1. CHALEUR DE VAPORISATION
DU 1.BUTENE

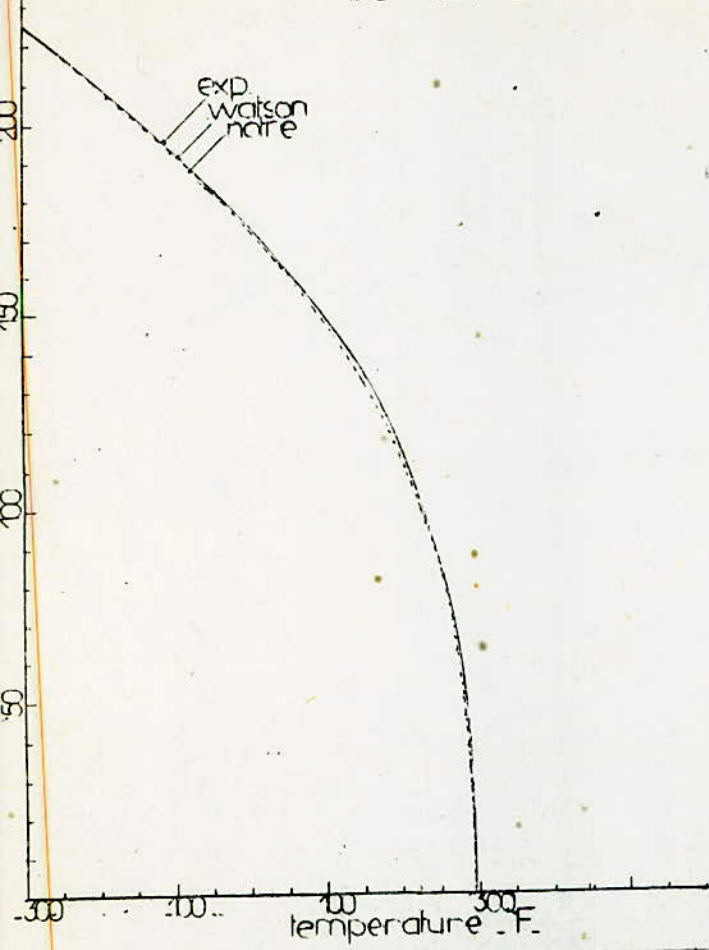


FIG.3. CHALEUR DE VAPORISATION
DU TRANS 2 BUTENE

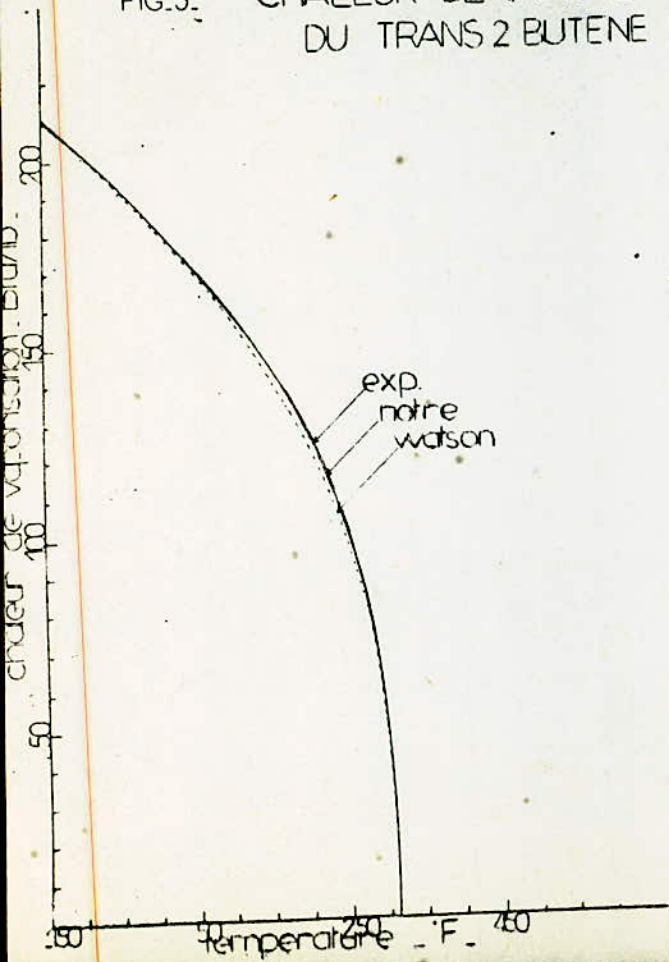


FIG.2. CHALEUR DE VAPORISATION
DU CIS.2.EUTENE

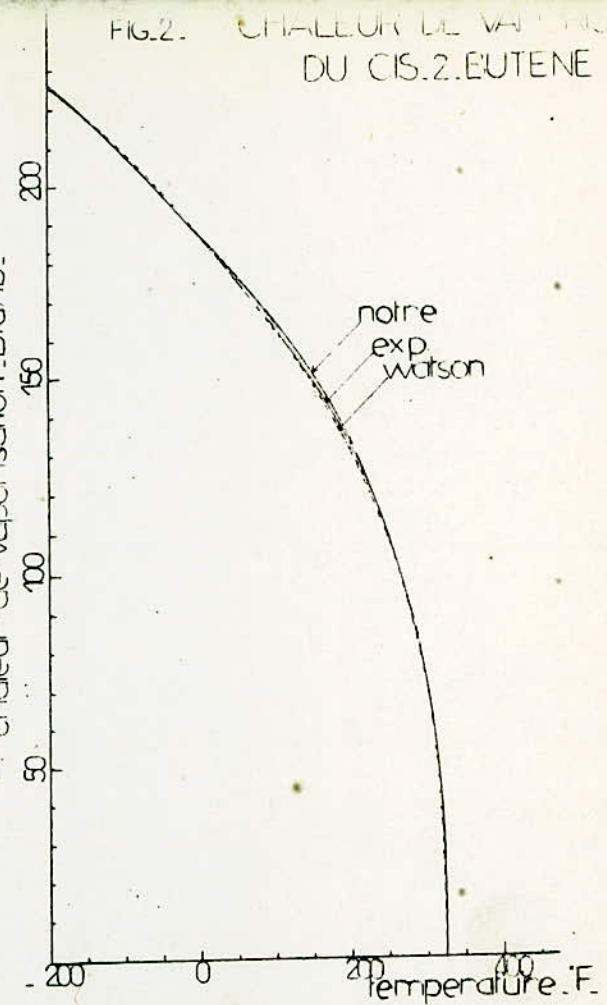


FIG.4. CHALEUR DE VAPORISATION
DU 3.METHYL PENTANE

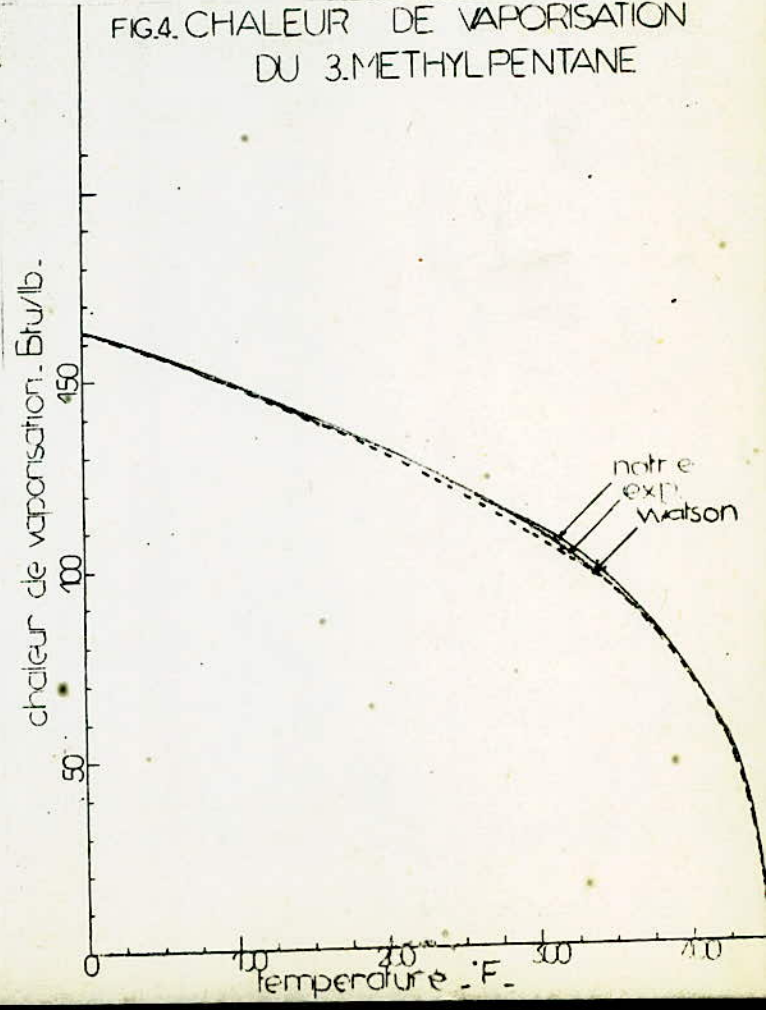


FIG.5. CHALEUR DE VAPORISATION
DU 3.METHYLHEXANE

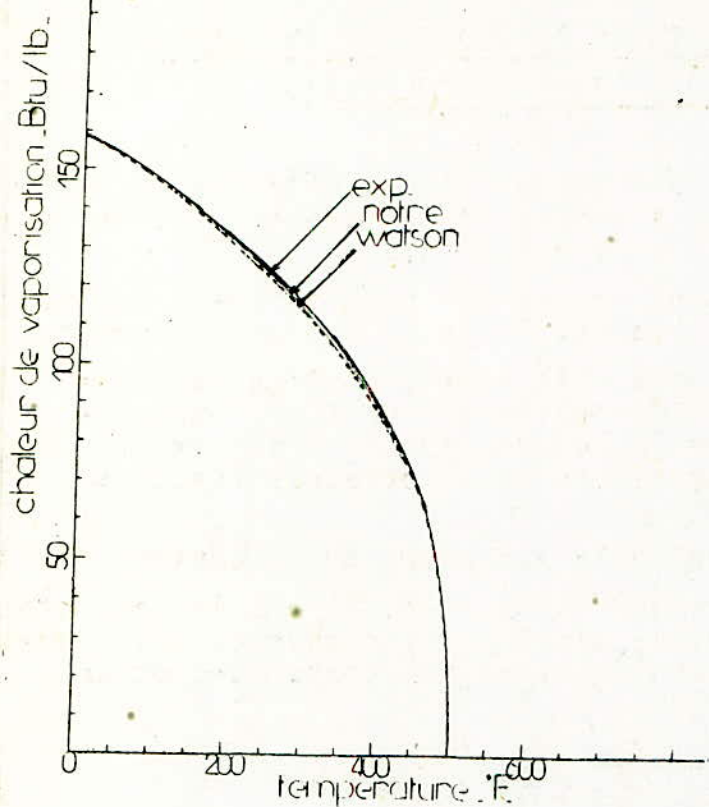


FIG.6. CHALEUR DE VAPORISATION
DU 2.METHYLHEPTANE

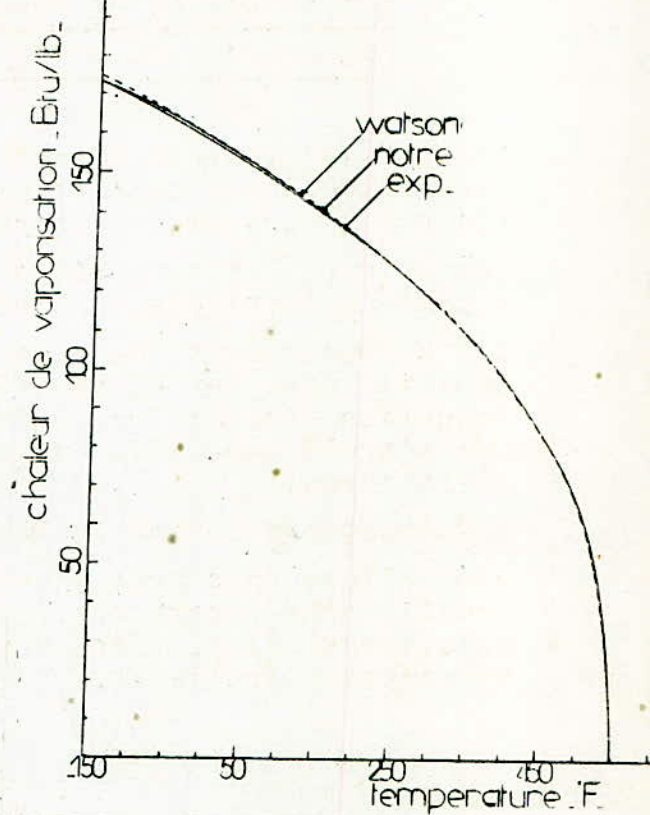


FIG.7 CHALEUR DE VAPORISATION
DU N.PROPYLBENZENE

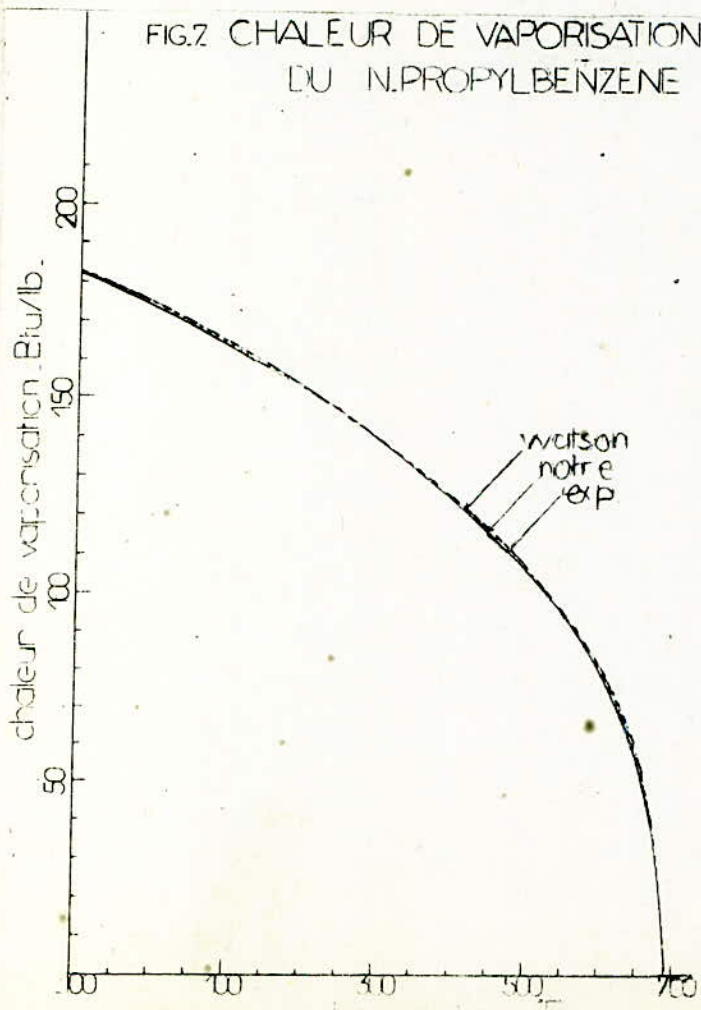
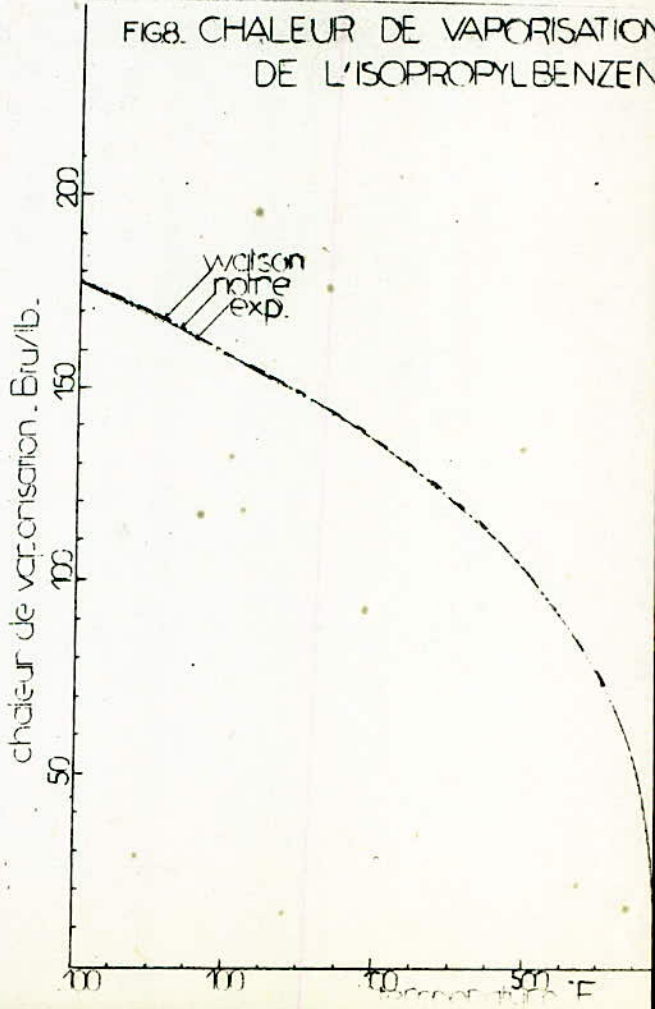


FIG.8. CHALEUR DE VAPORISATION
DE L'ISOPROPYLBENZEN



V . DETERMINATION DES PROPRIETES PHYSIQUES ET CHIMIQUES DES CORPS PURS ET DES FRACTIONS PETROLIERES.

Nous choisissons la méthode du Polynome d'interpolation de NEWTON pour déterminer les différentes propriétés physiques et chimiques des corps purs et des fractions pétrolières.

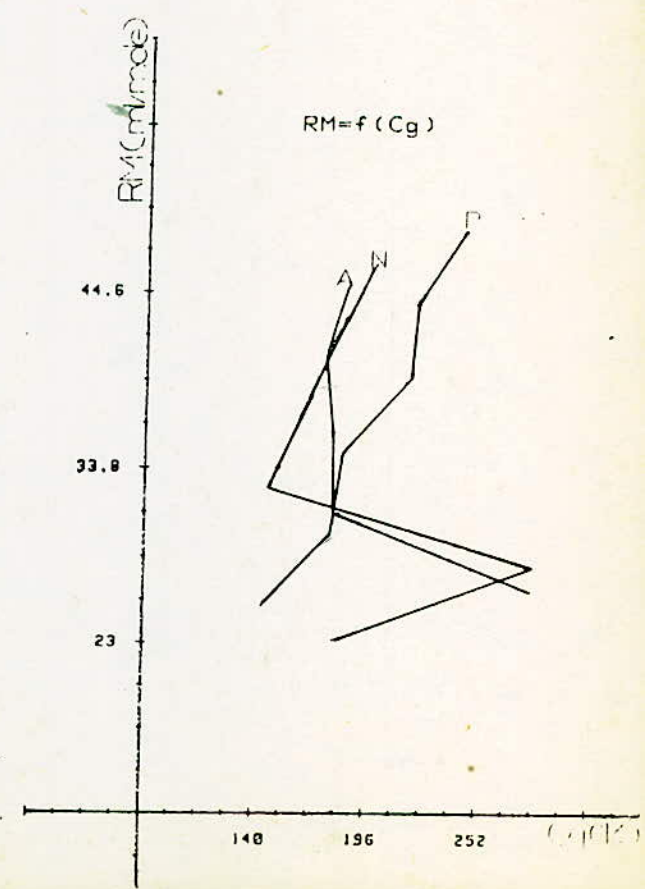
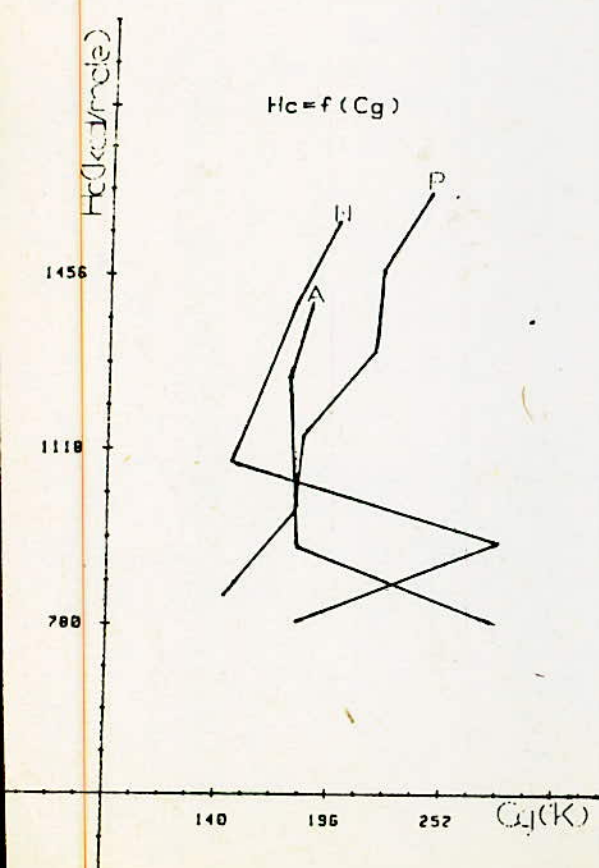
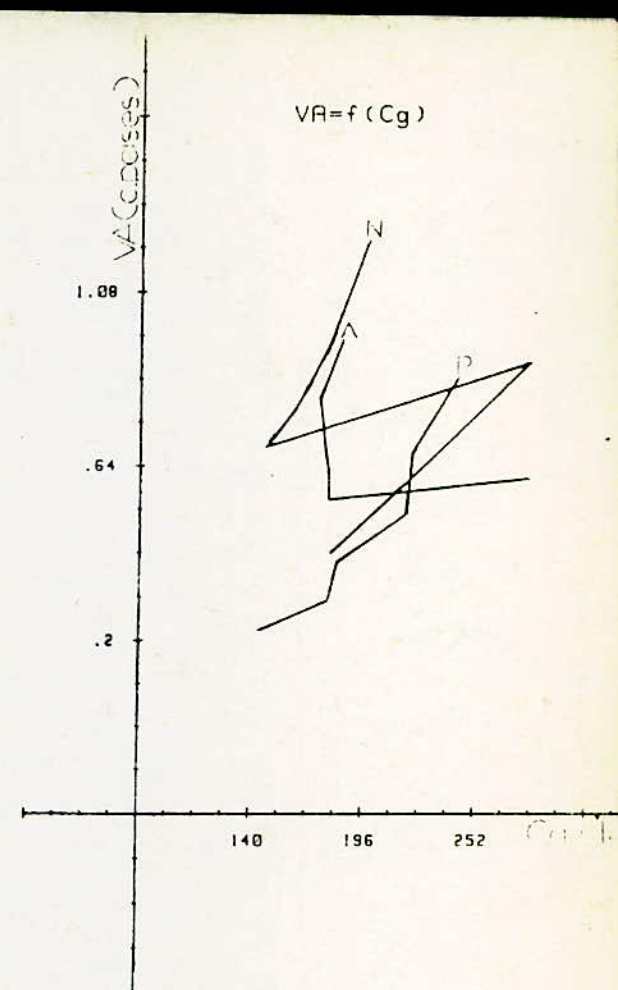
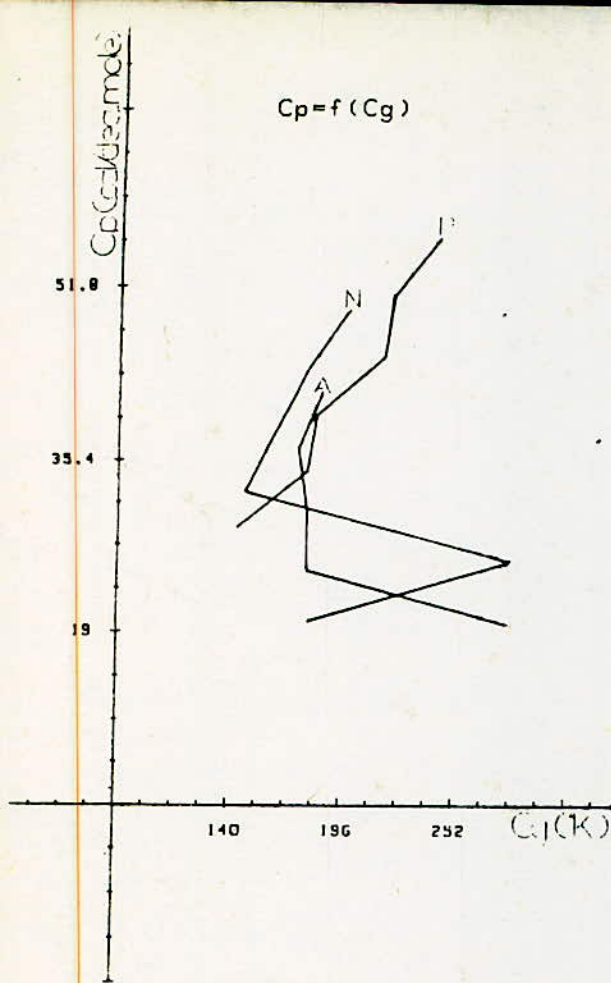
Les valeurs des propriétés sont prises sur des tables : American Petroleum Institute Research Project 44 (voir tableaux en annexe).

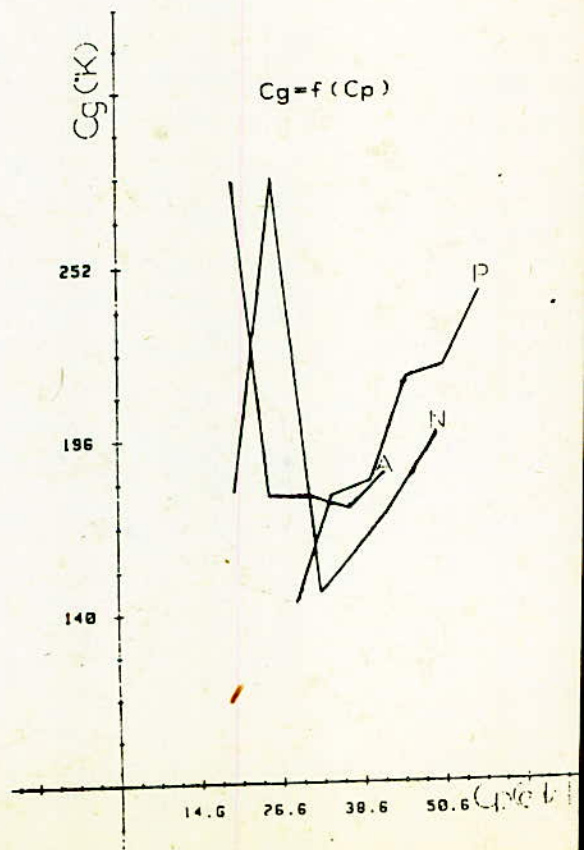
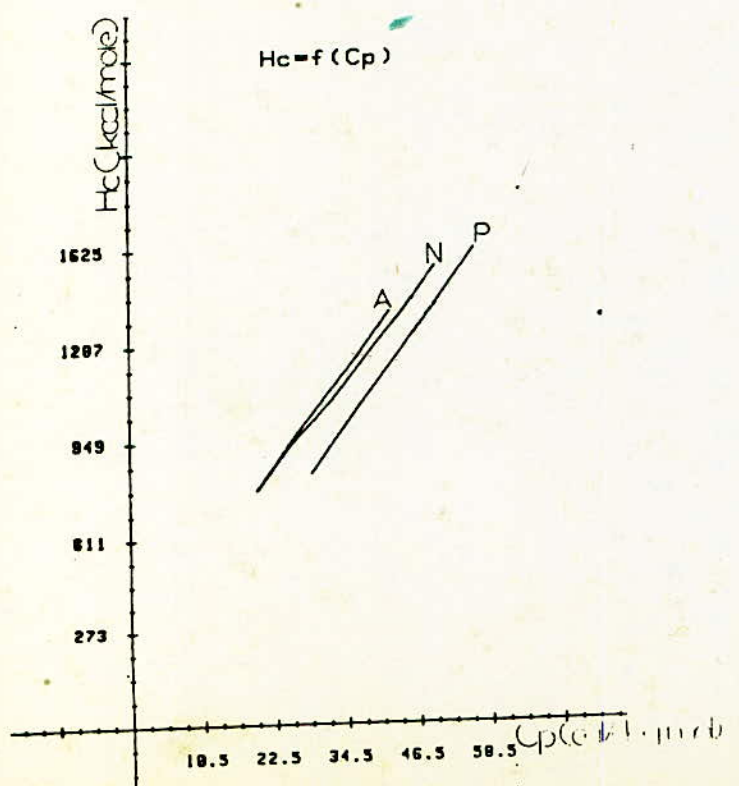
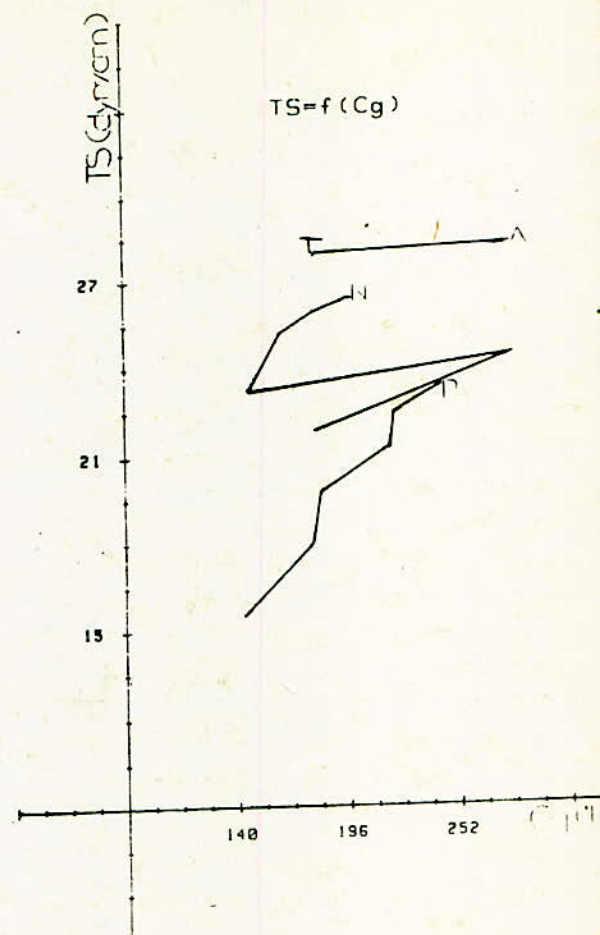
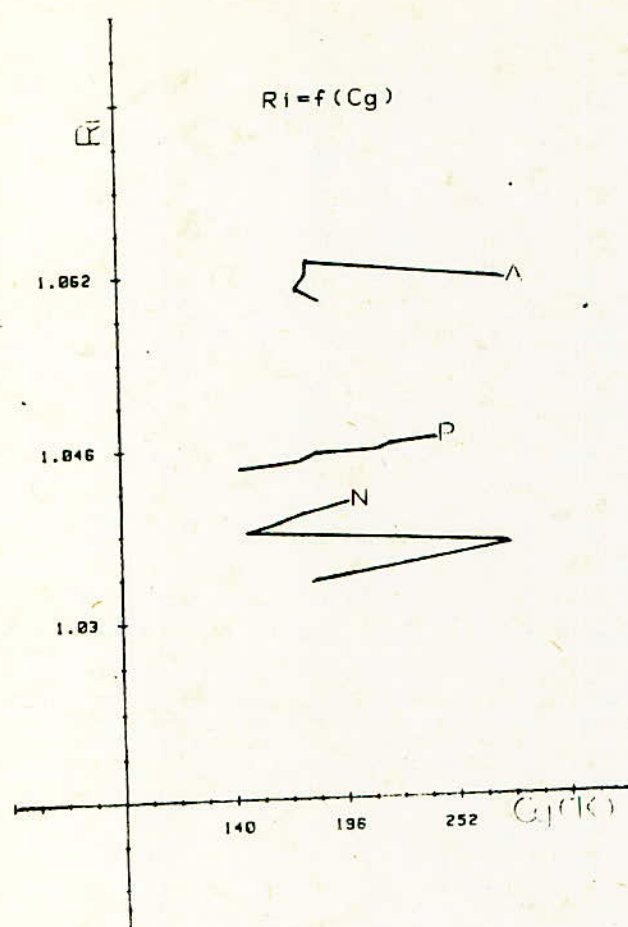
Les hydrocarbures que nous avons pris sont les mêmes que ceux déjà choisis dans une étude antécédente (Projet de fin d'études - Promotion Janvier 1985), dans le but de pouvoir utiliser des équations qui s'appliquent bien aux corps purs et à certaines fractions pétrolières.

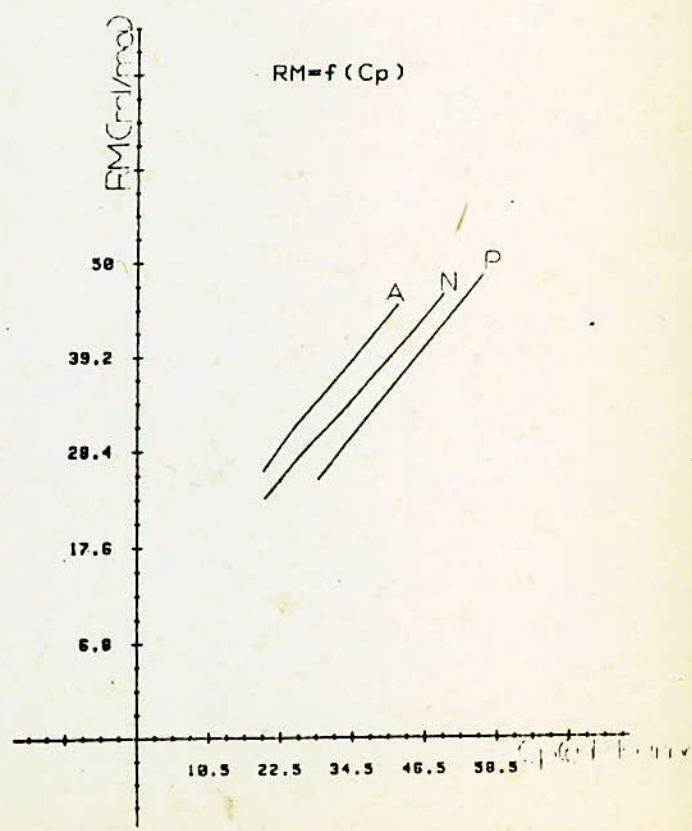
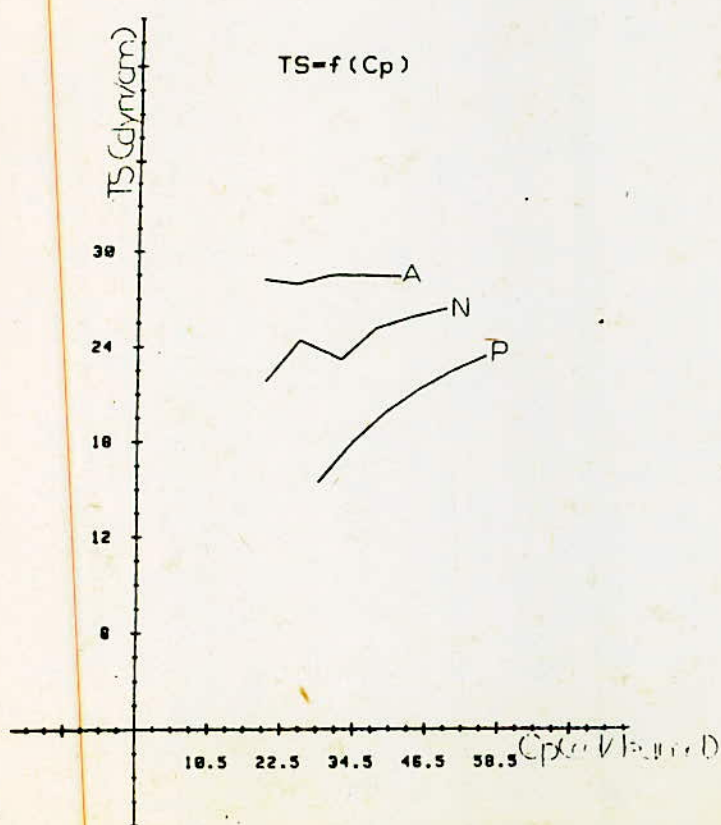
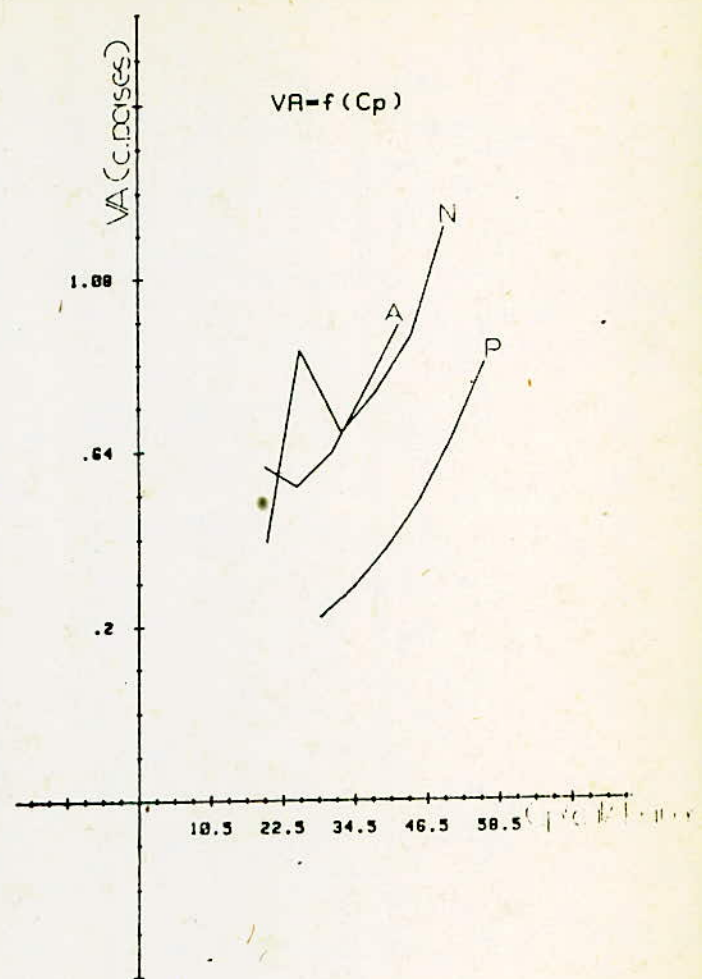
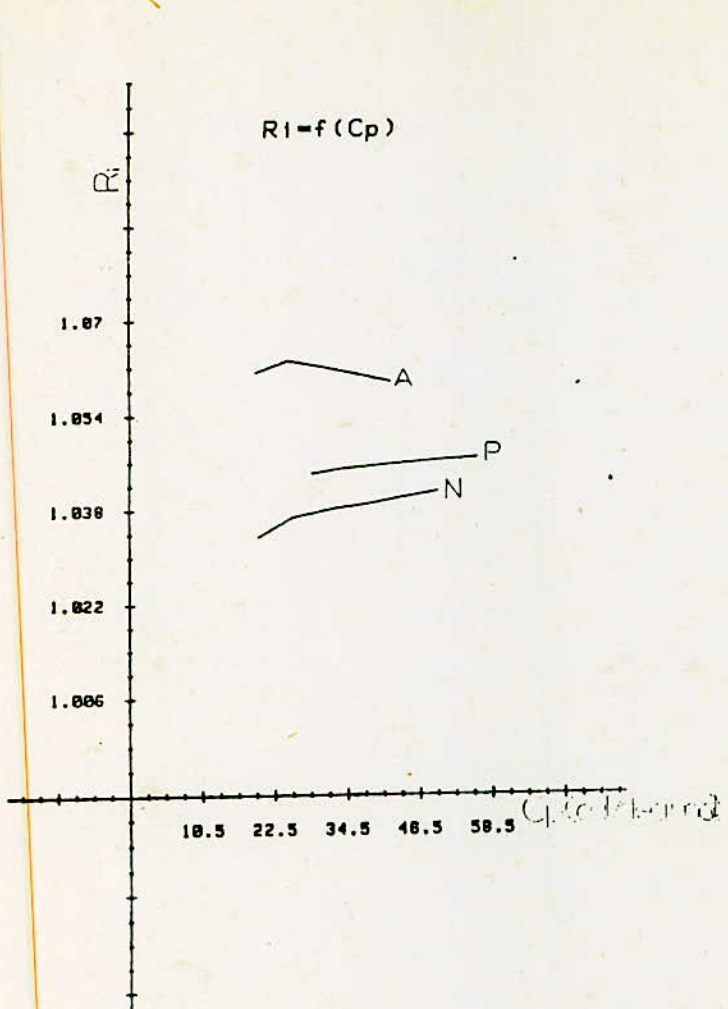
Nos équations seront également valables entre 40 et environ 200 °C.

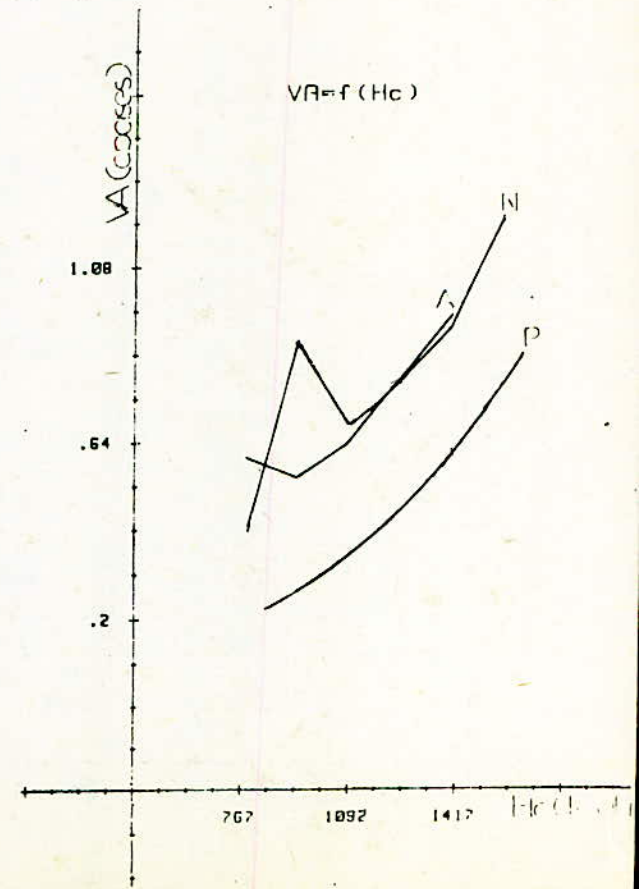
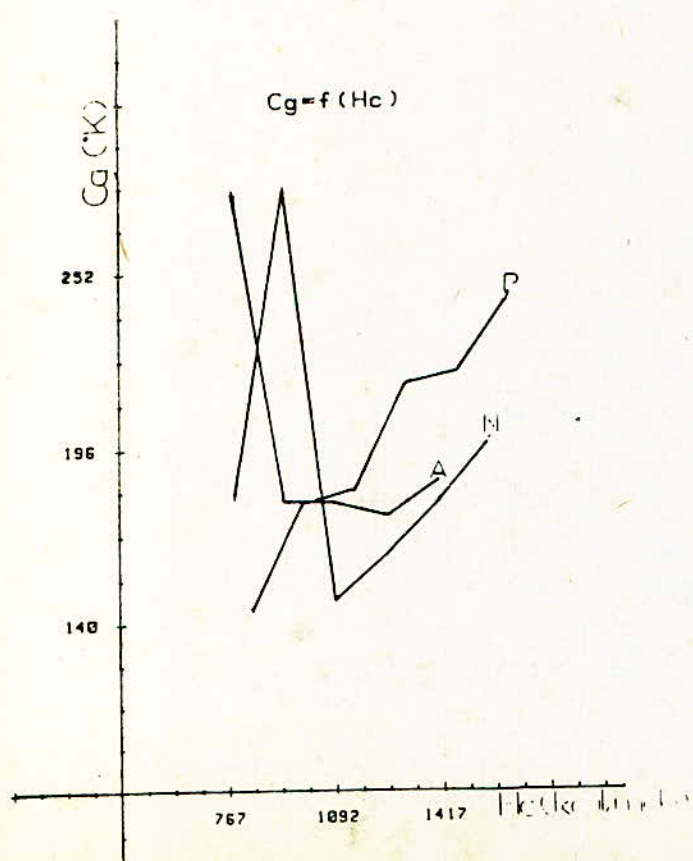
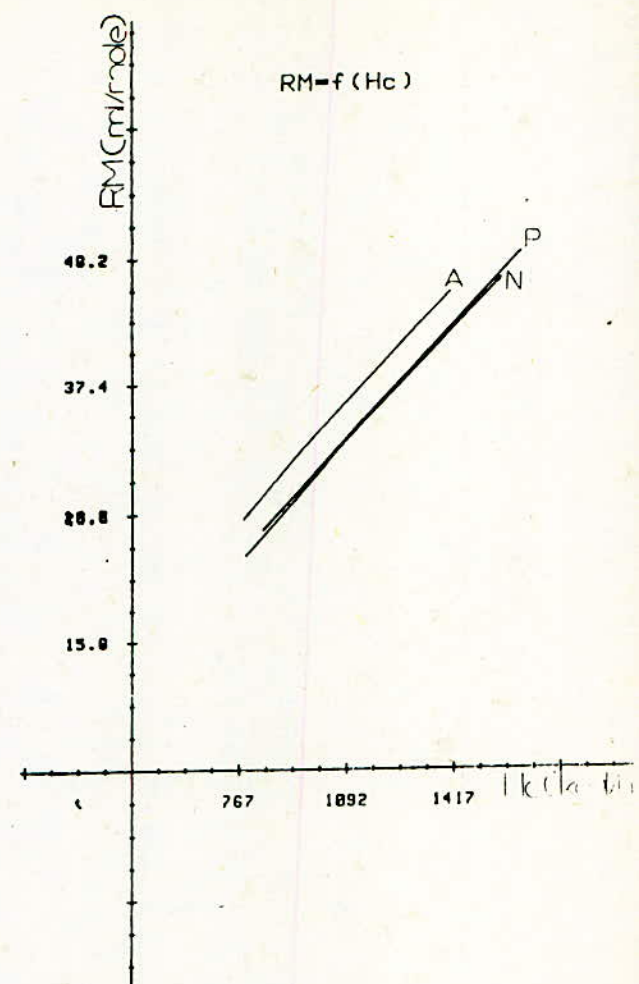
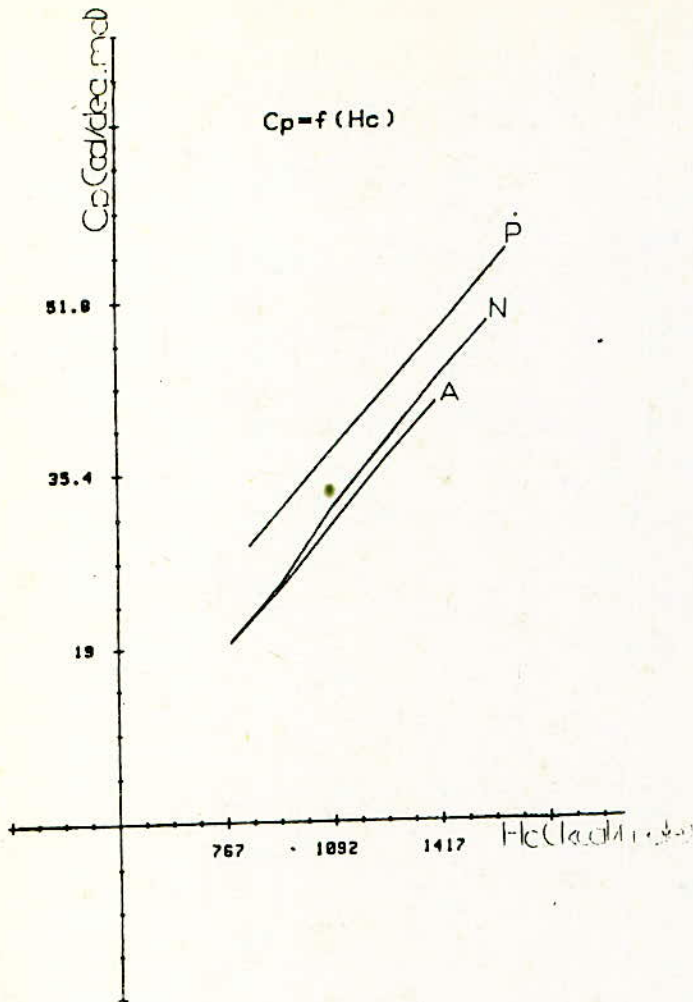
Nous allons donc présenter ces équations (231 au total) pour chaque famille d'hydrocarbures (P,M,A), ainsi que les courbes s'y reportant, puis, nous allons faire des applications aux corps purs et aux fractions pétrolières.

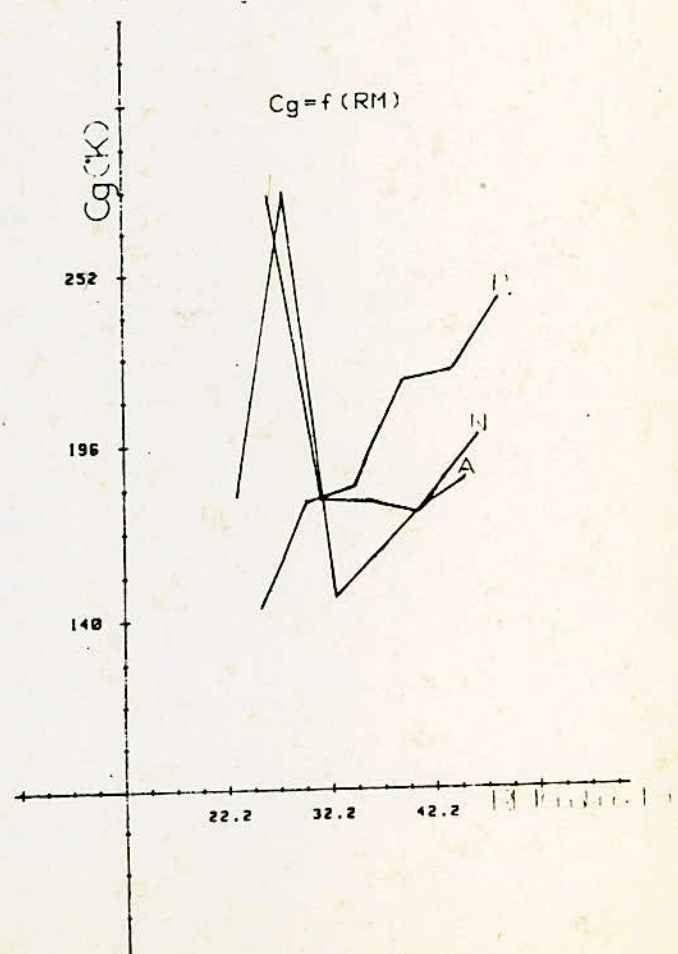
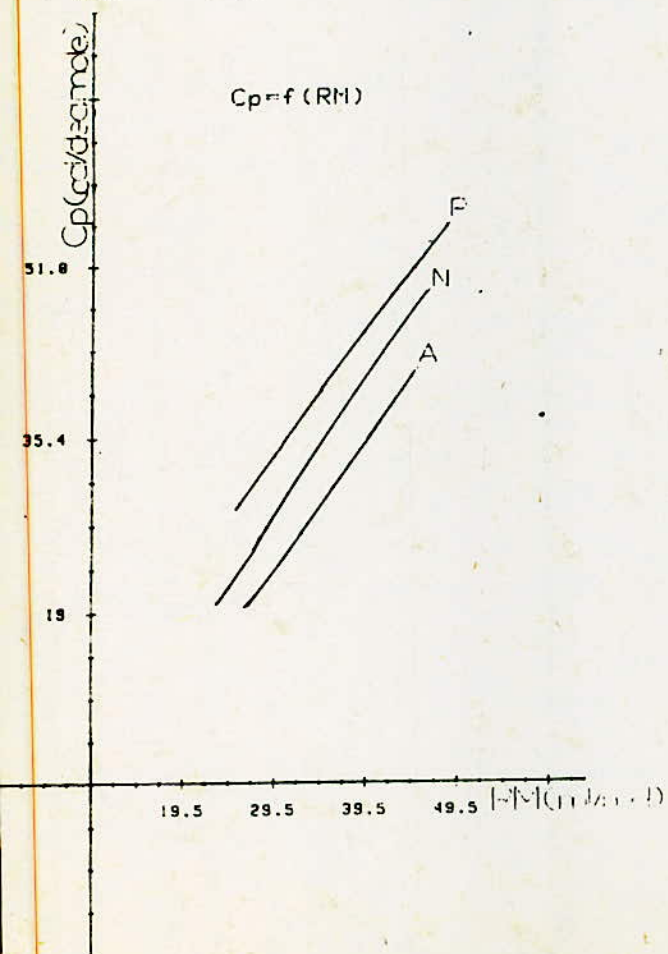
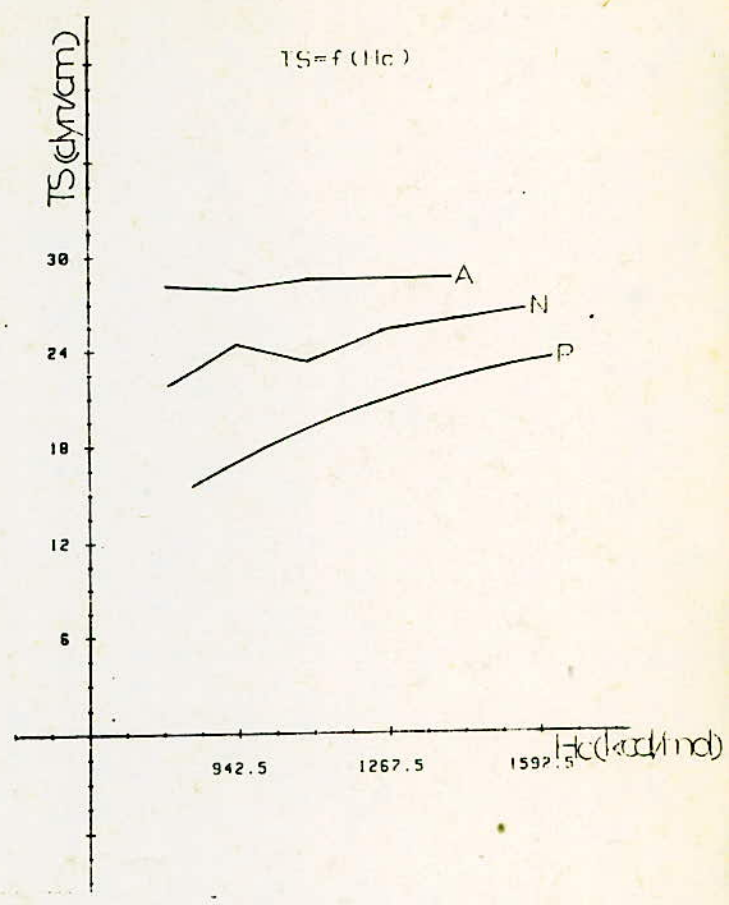
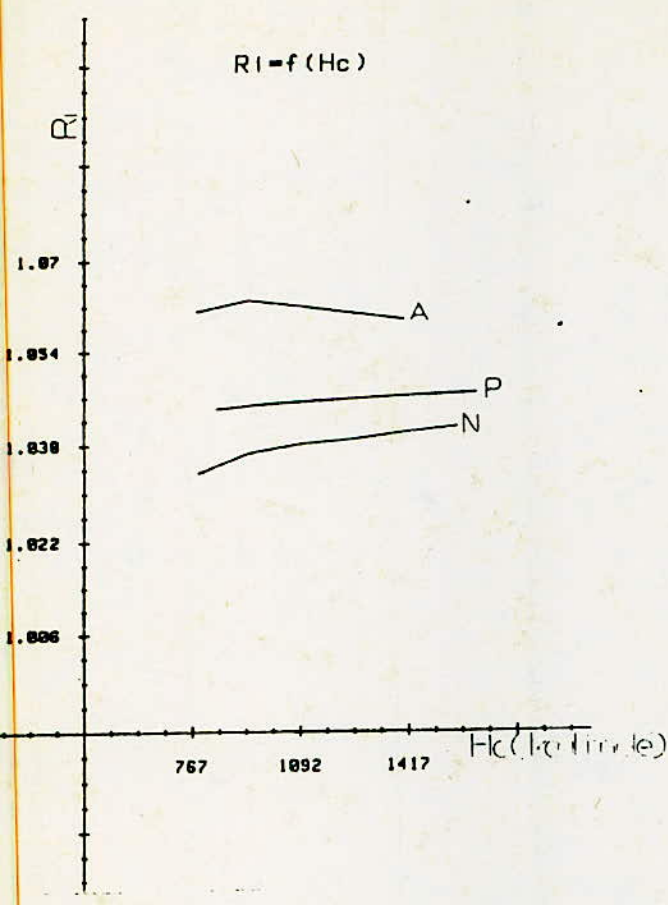
.../...

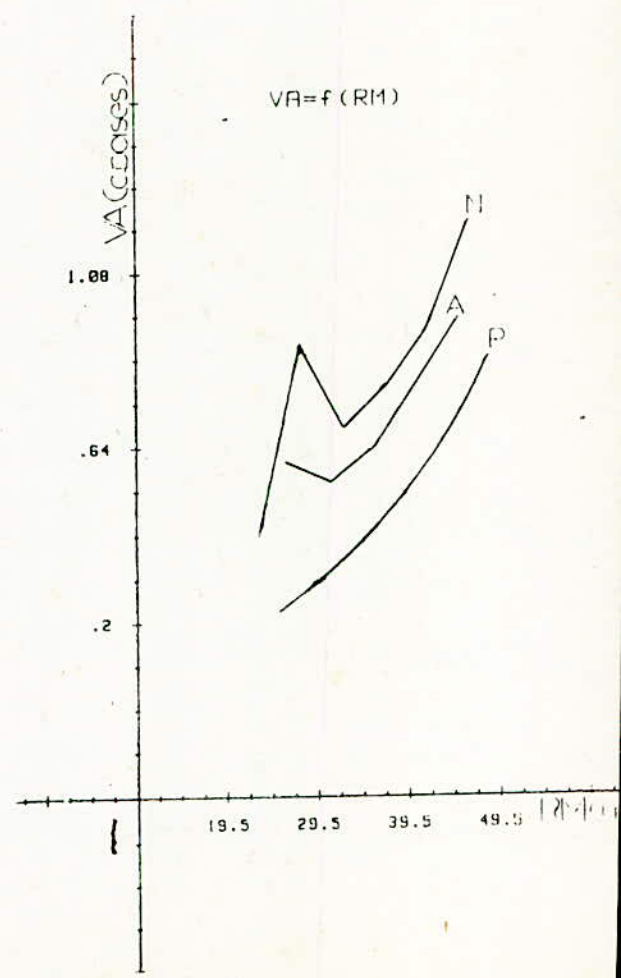
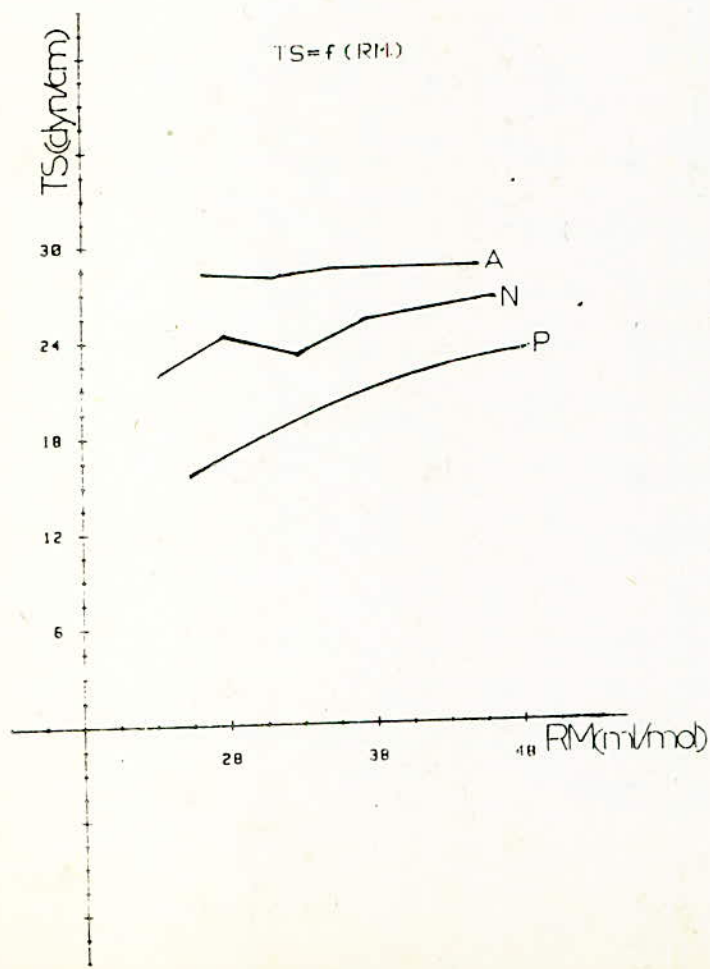
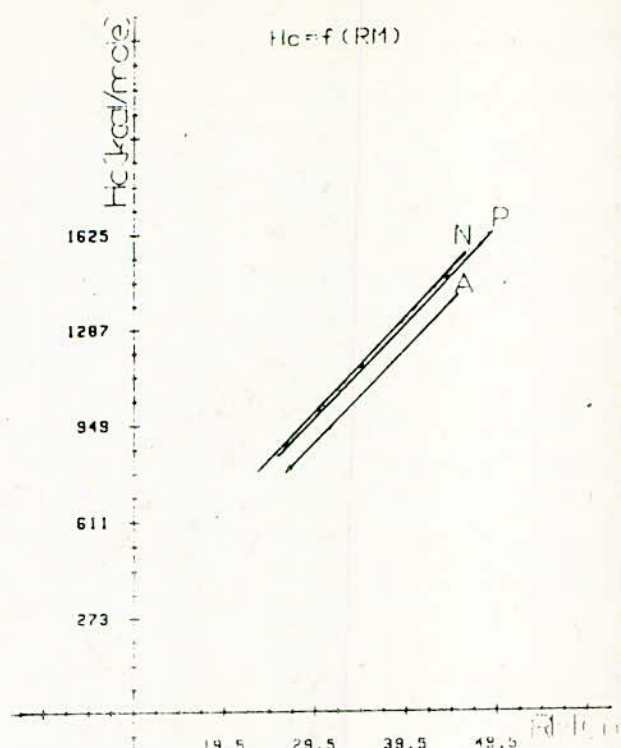
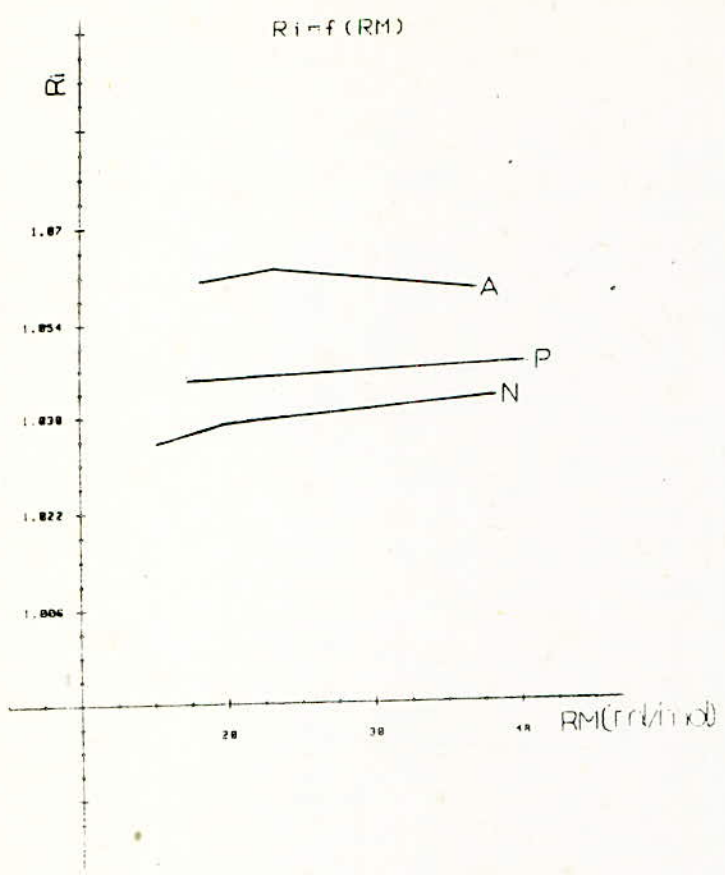


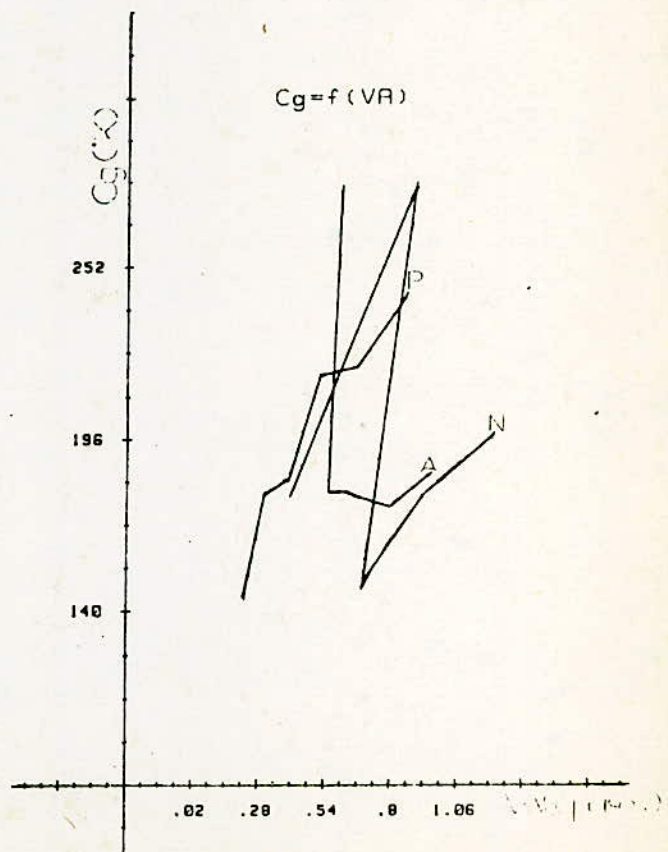
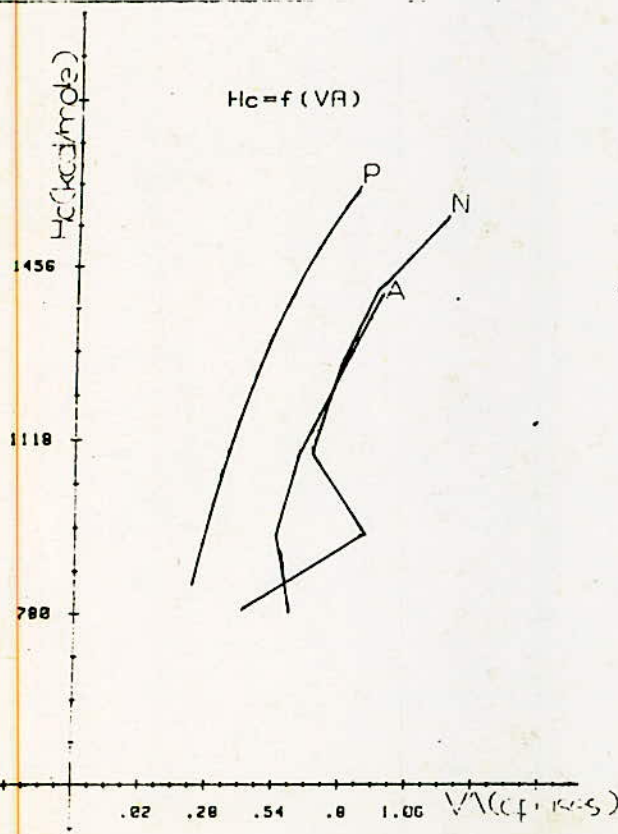
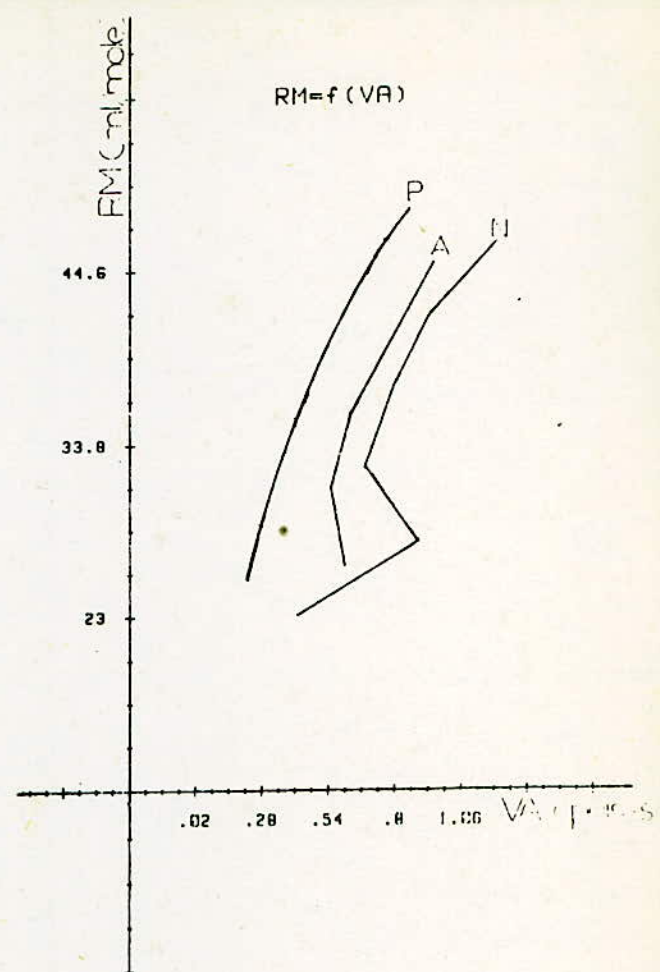
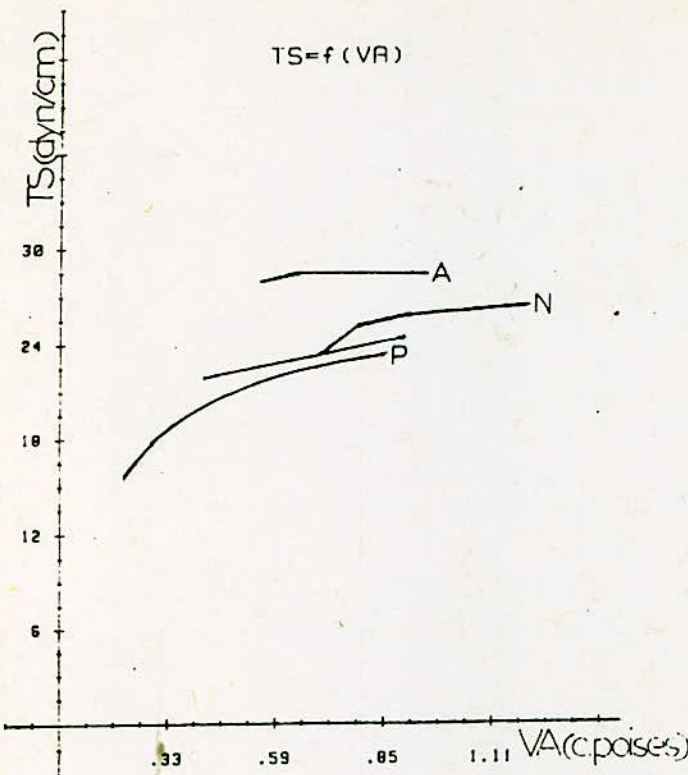


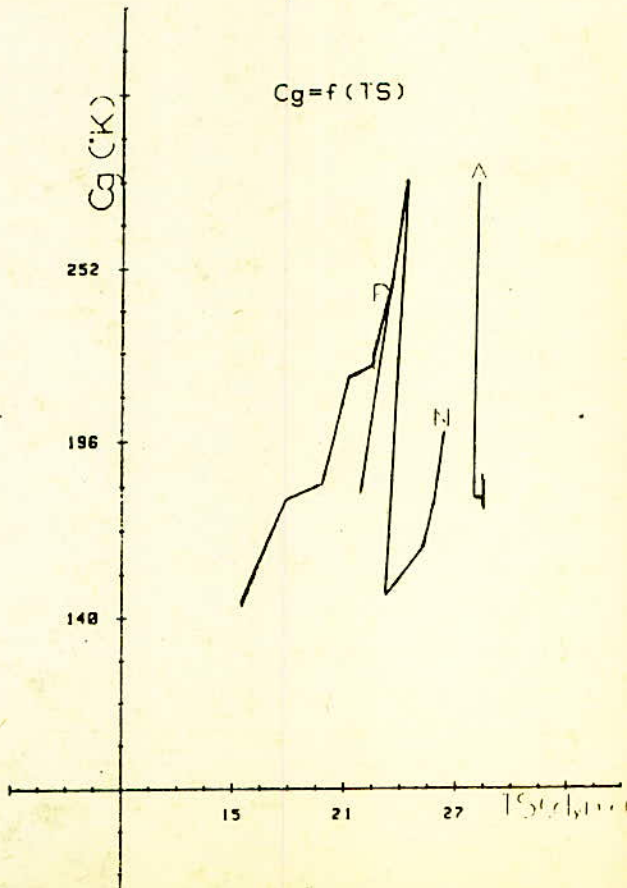
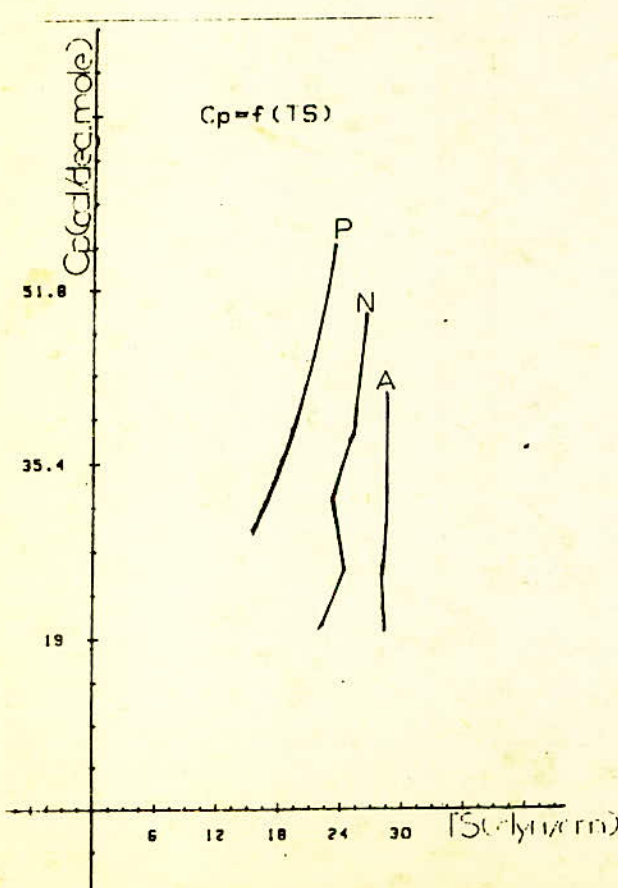
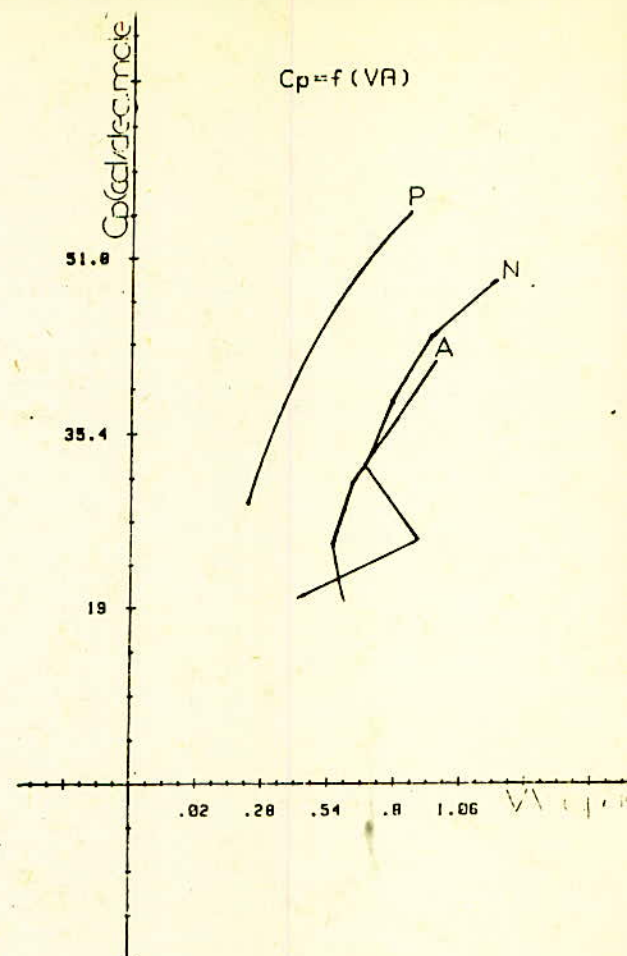
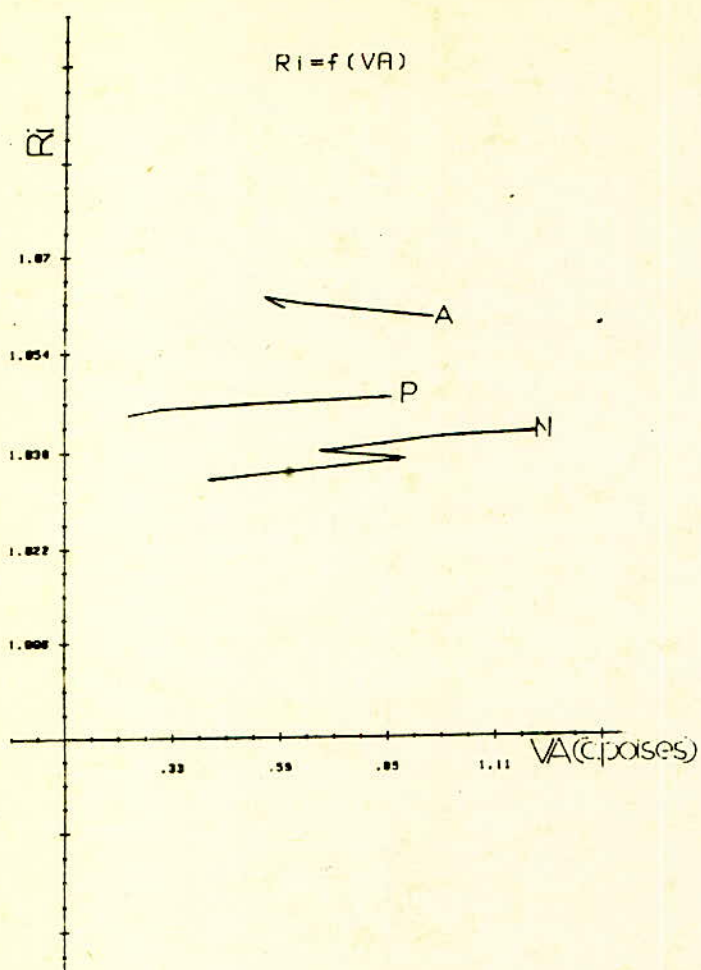


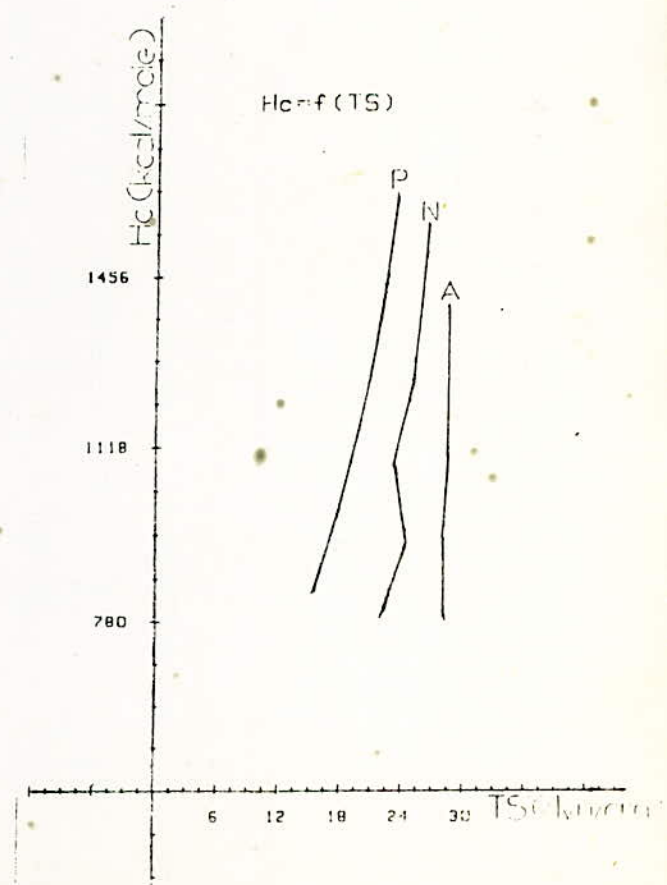
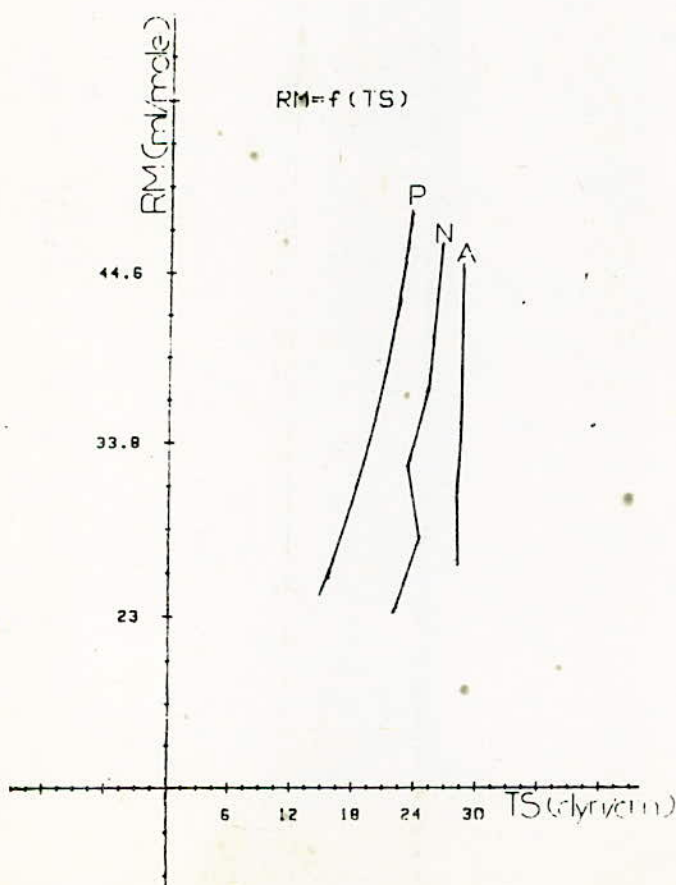
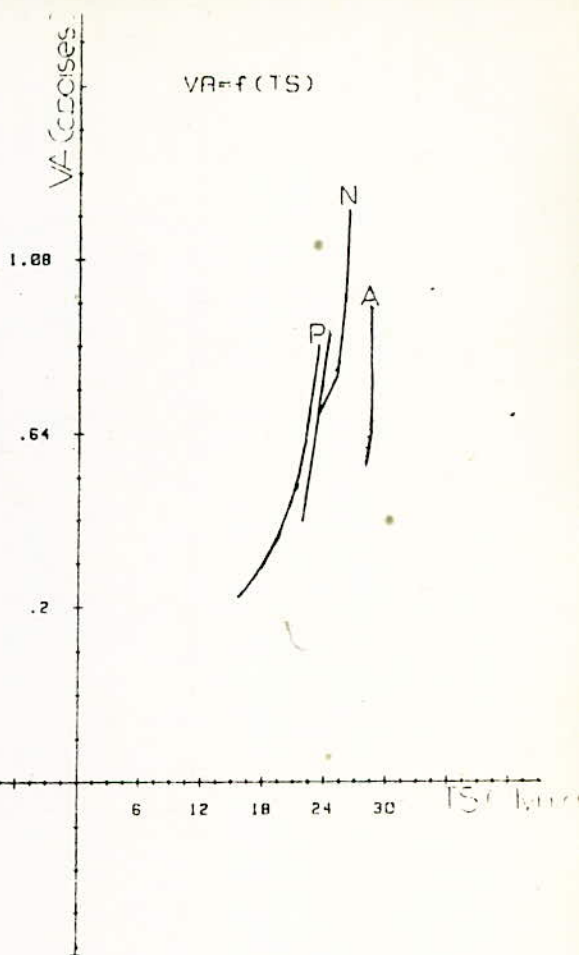
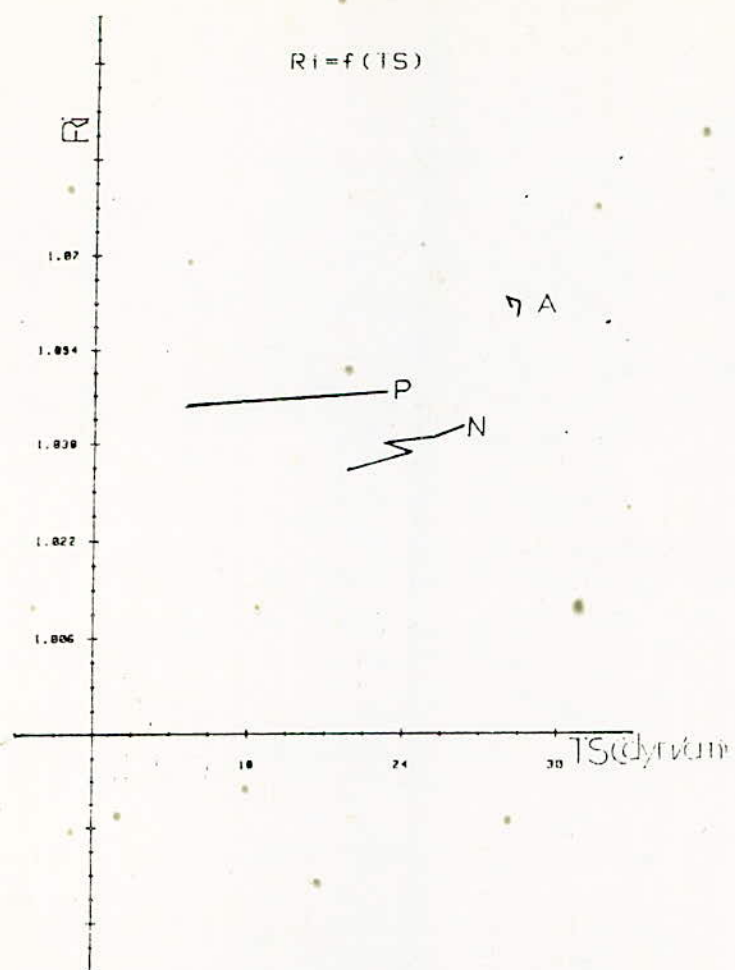


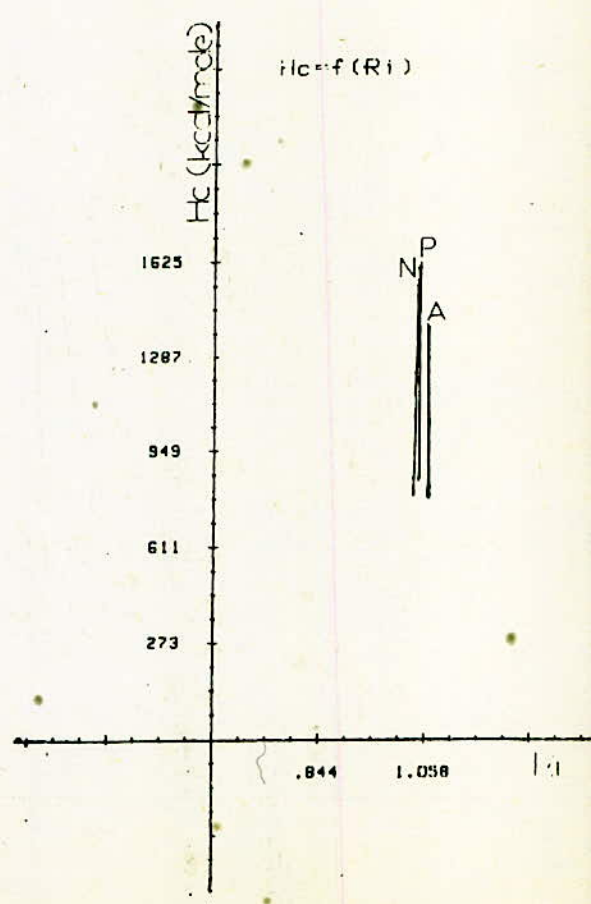
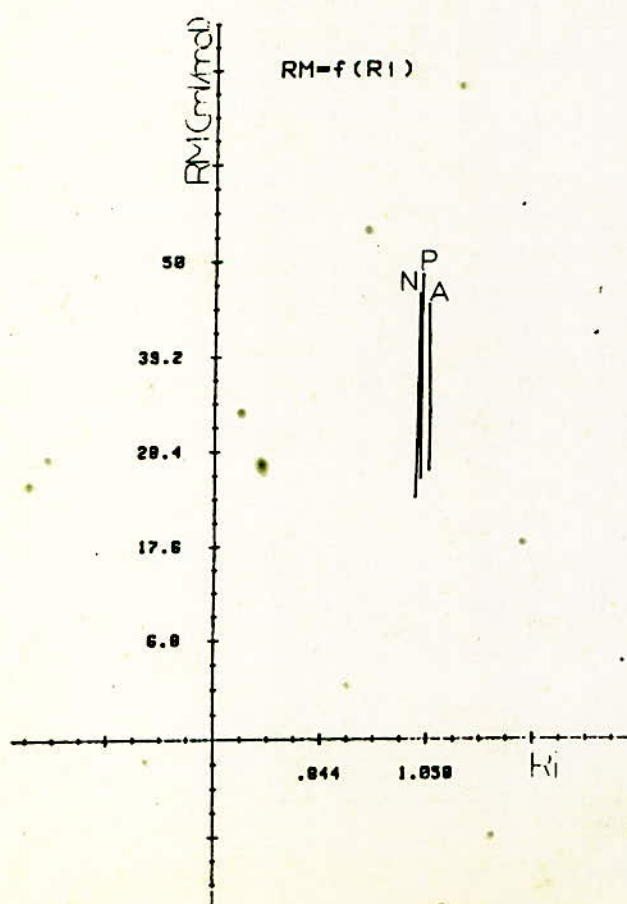
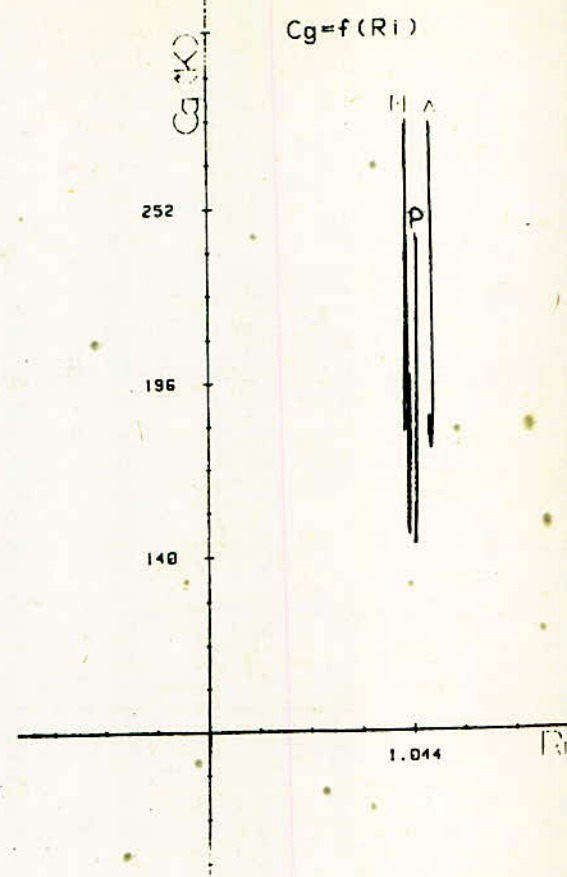
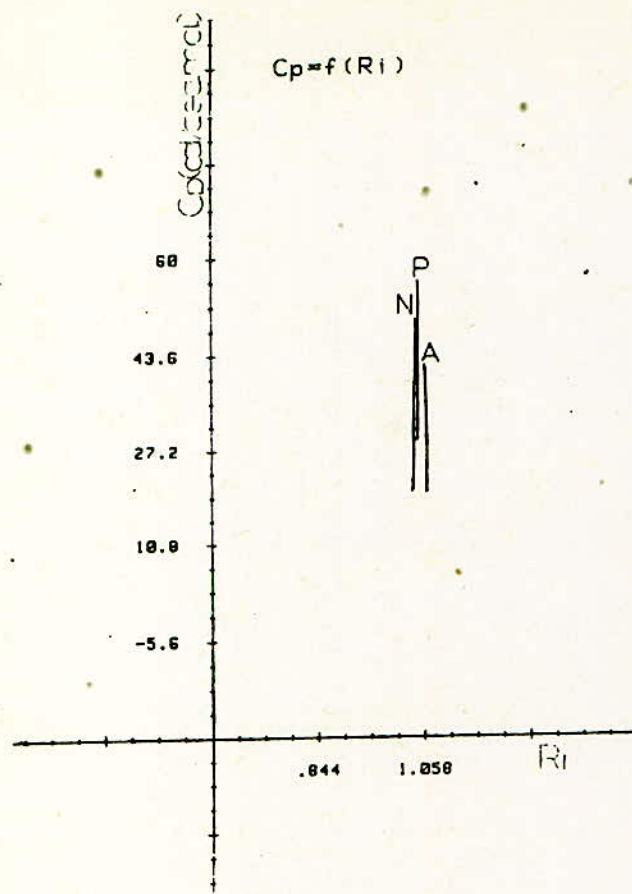


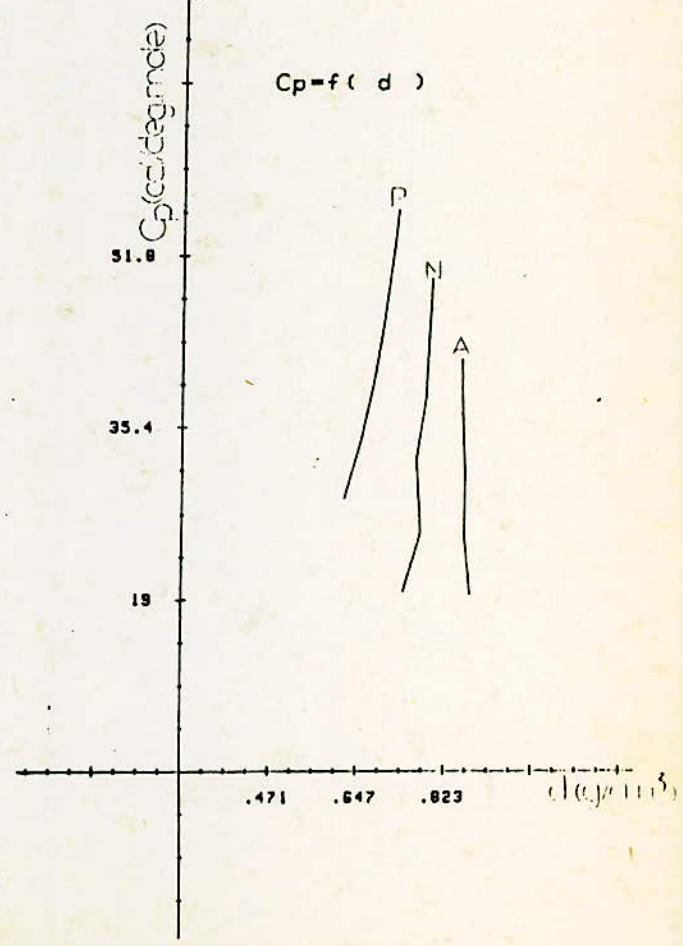
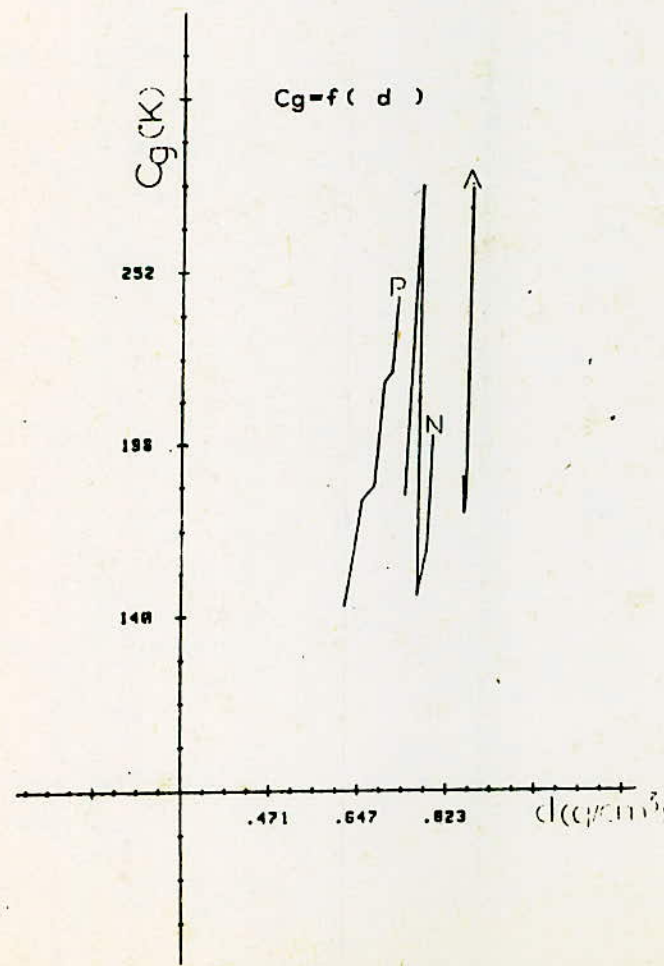
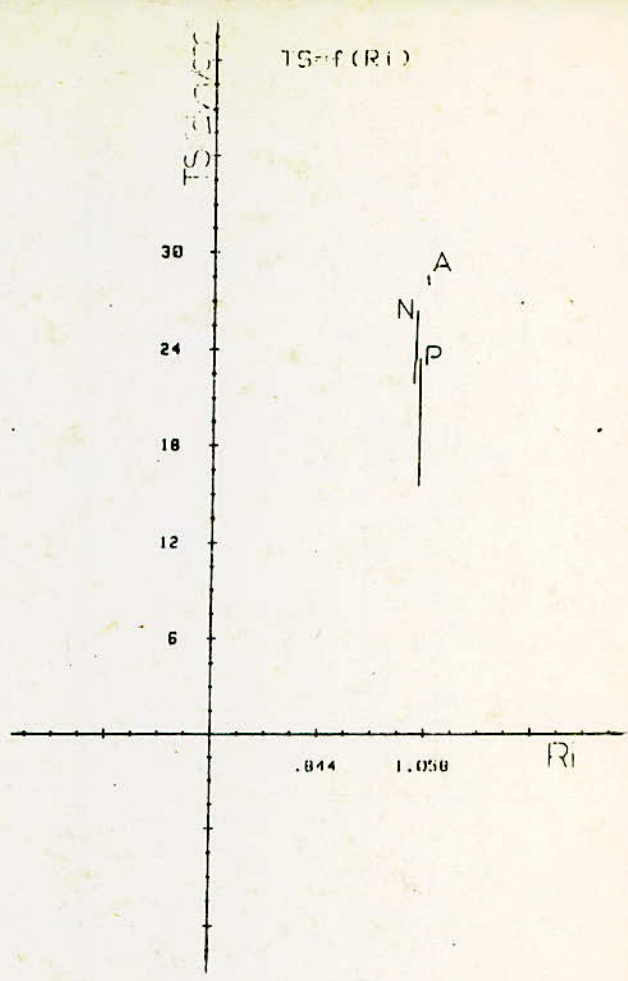
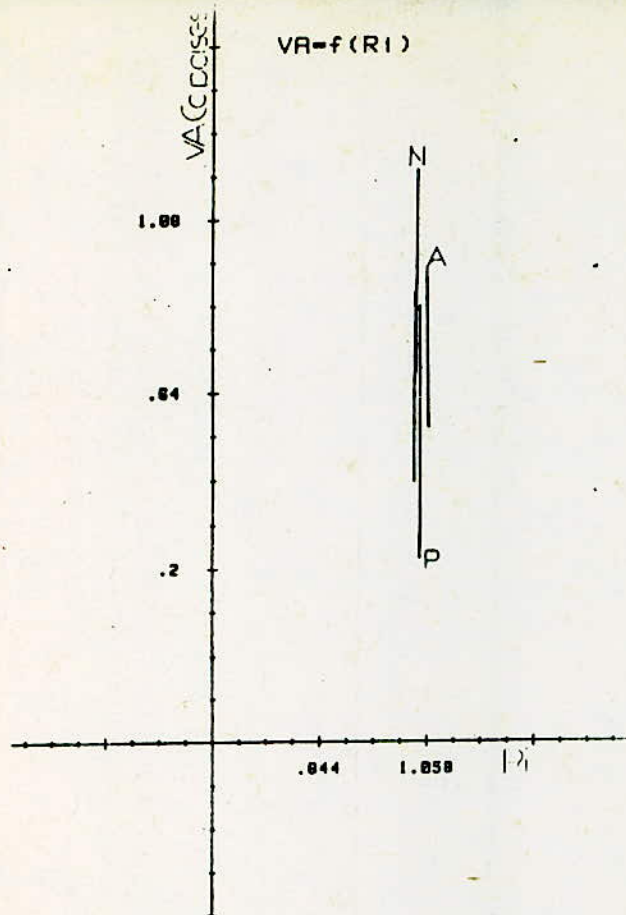


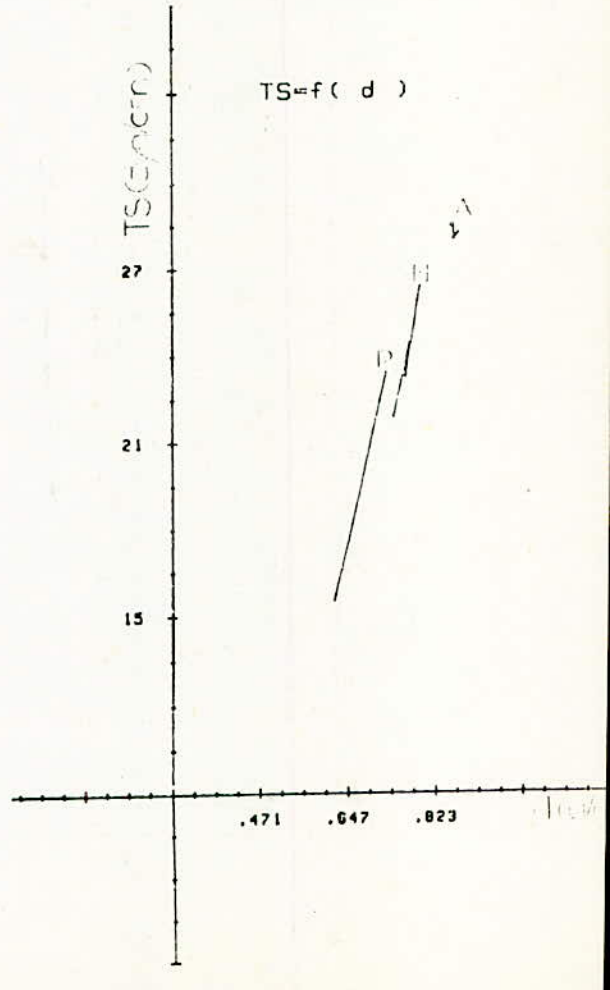
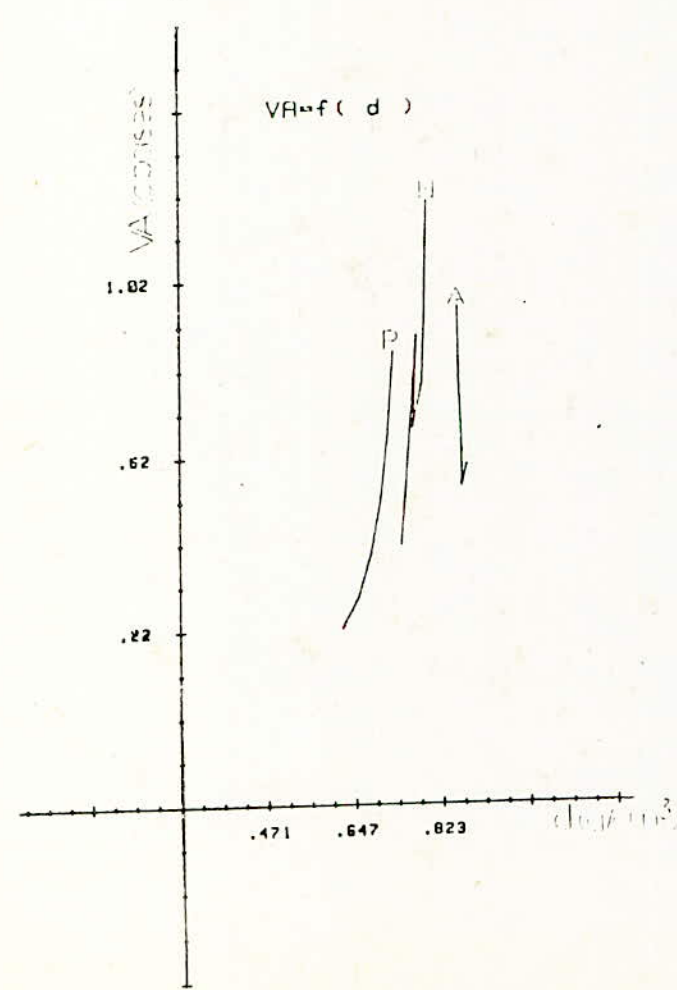
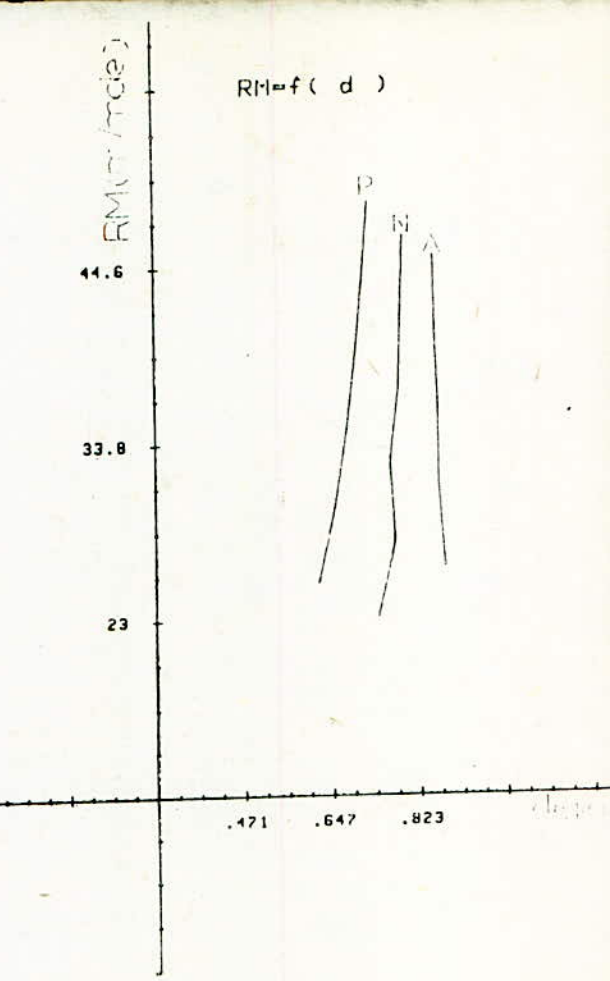
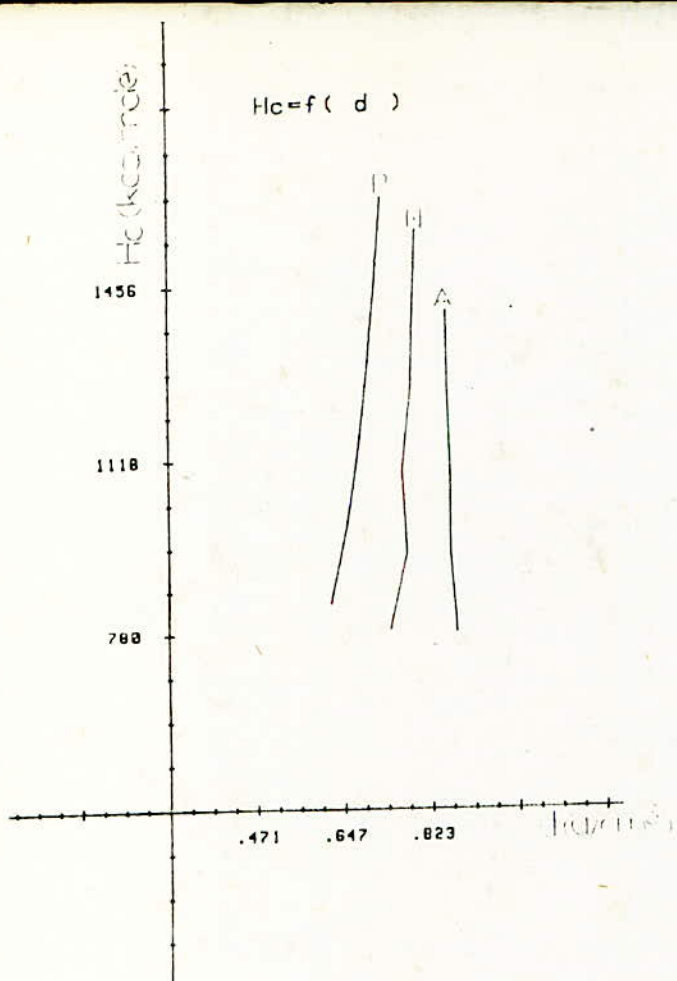


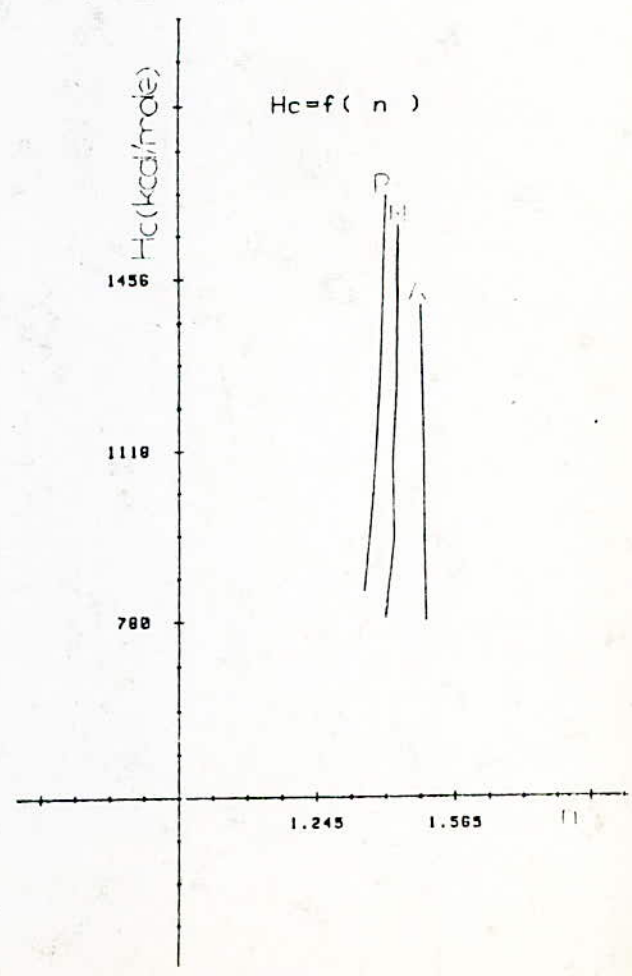
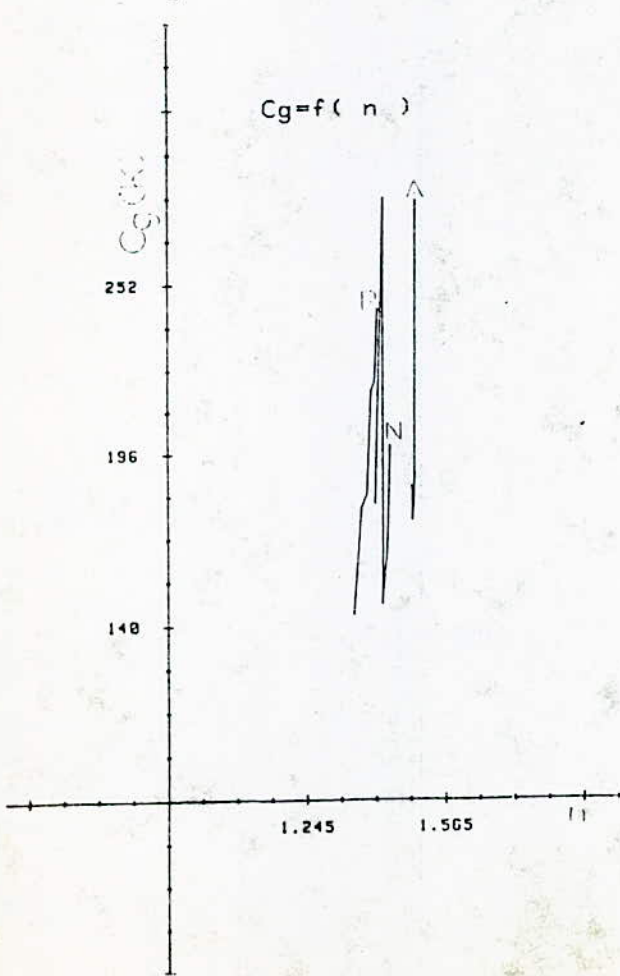
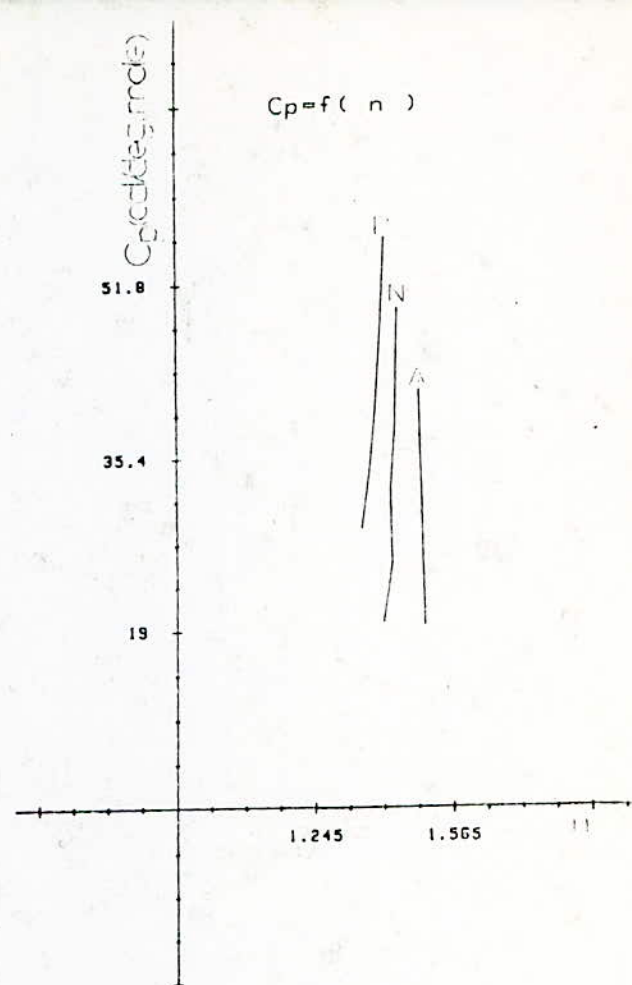
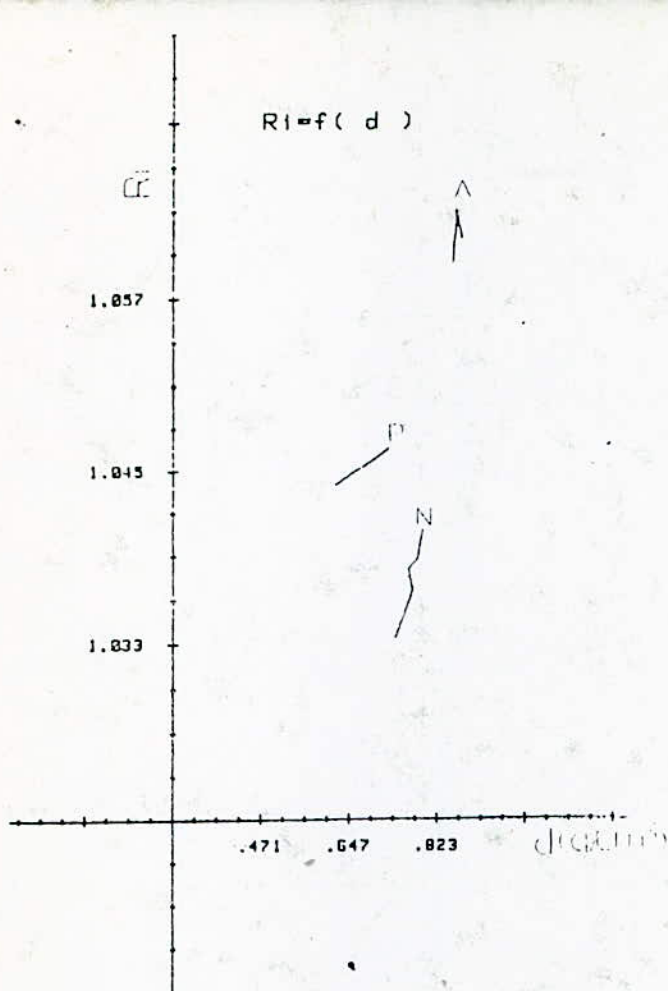


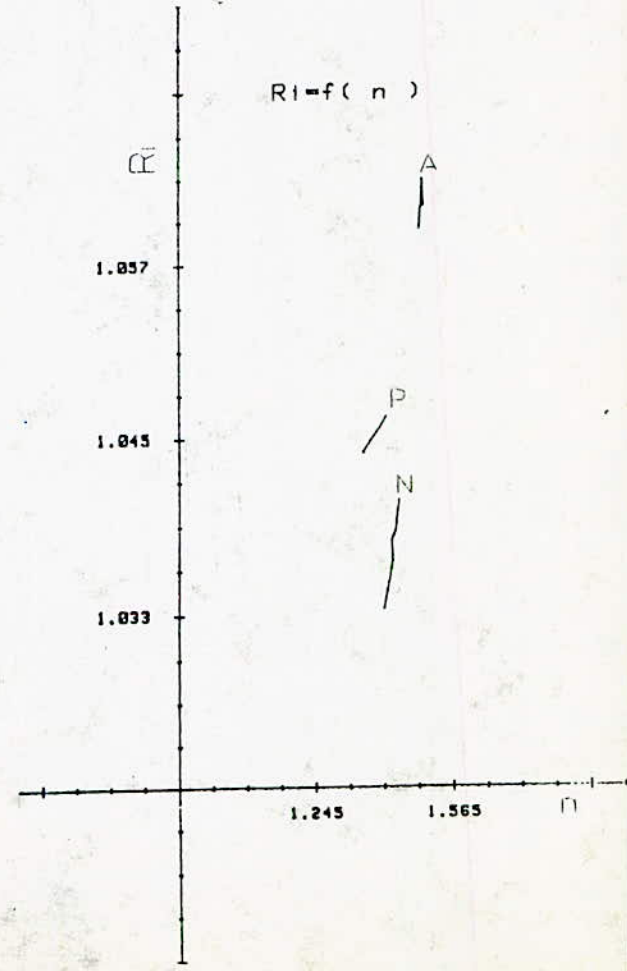
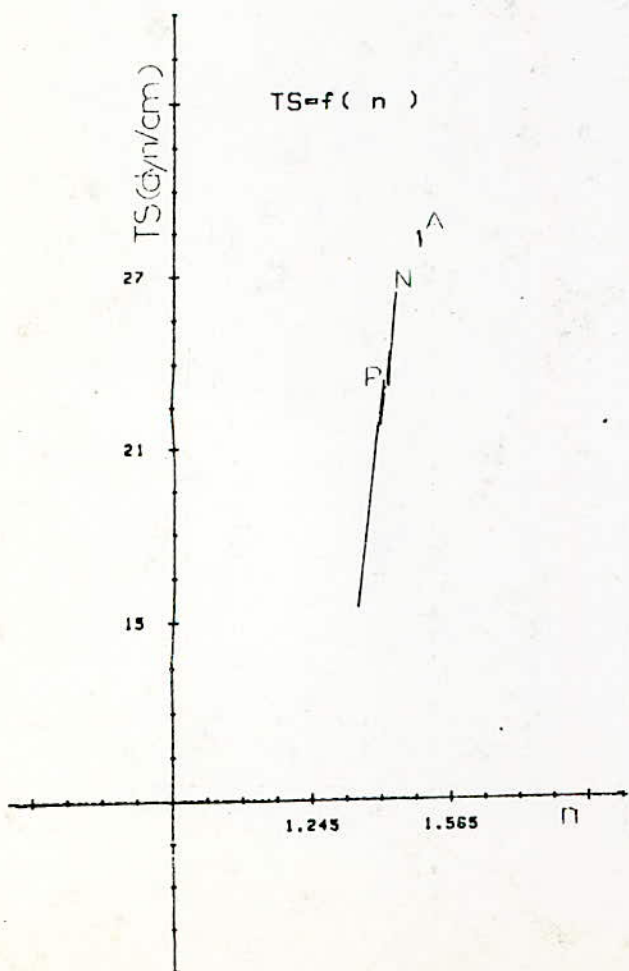
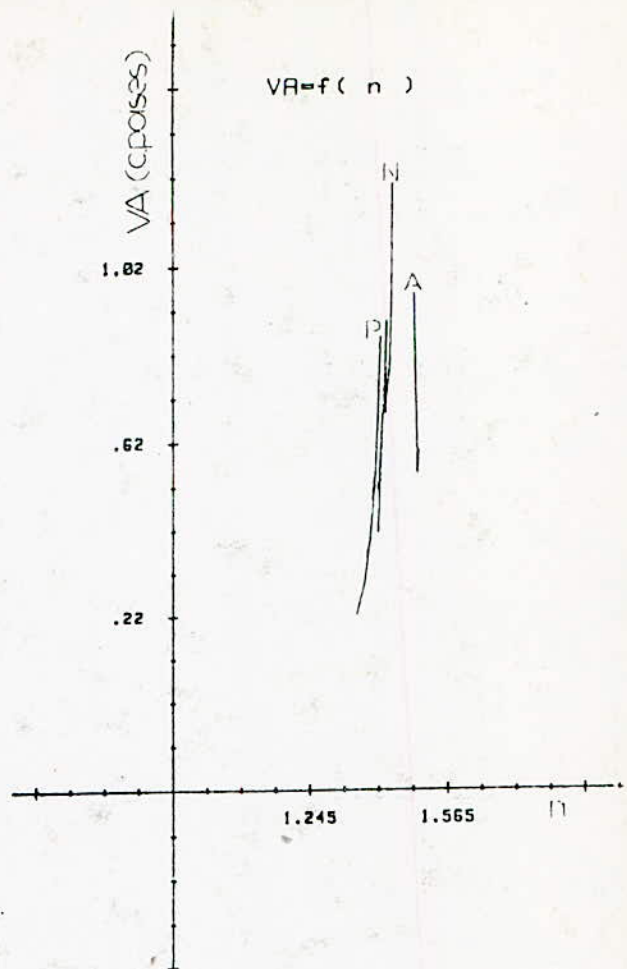
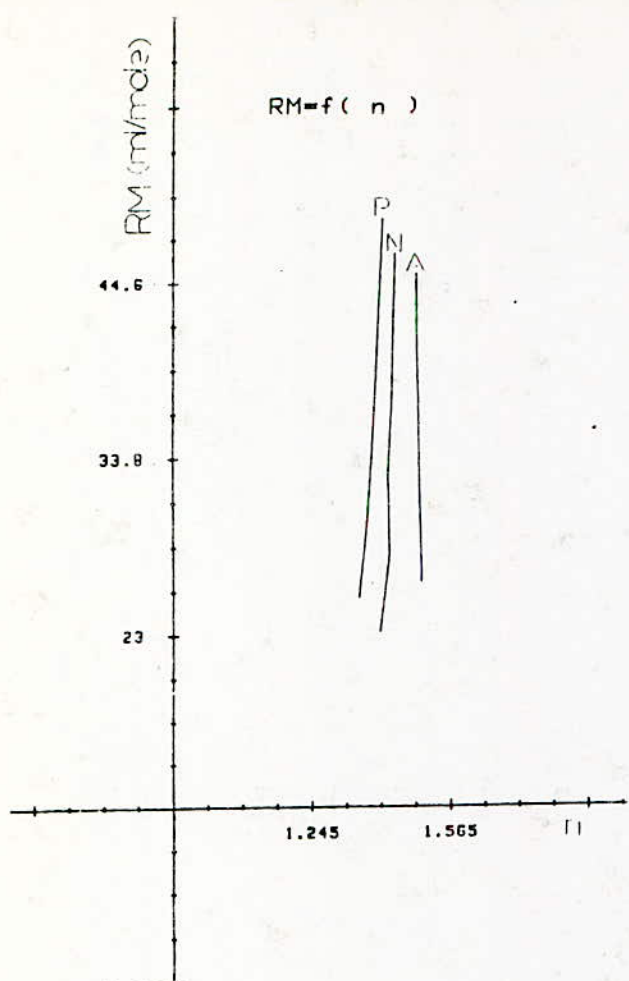


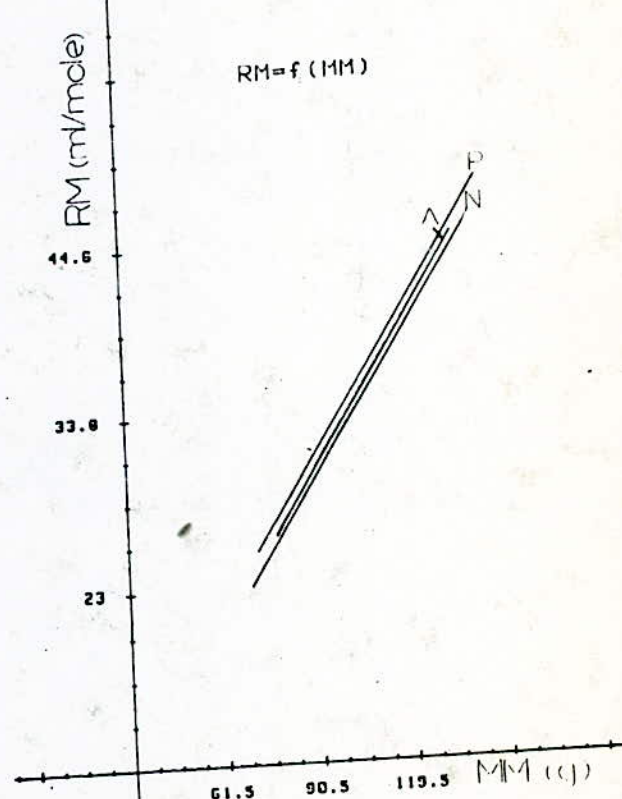
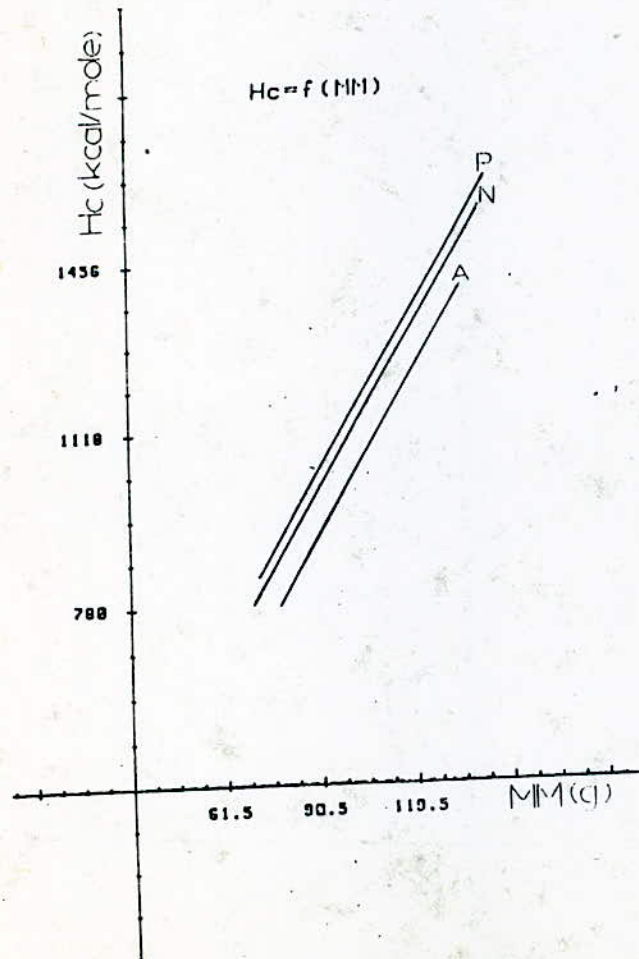
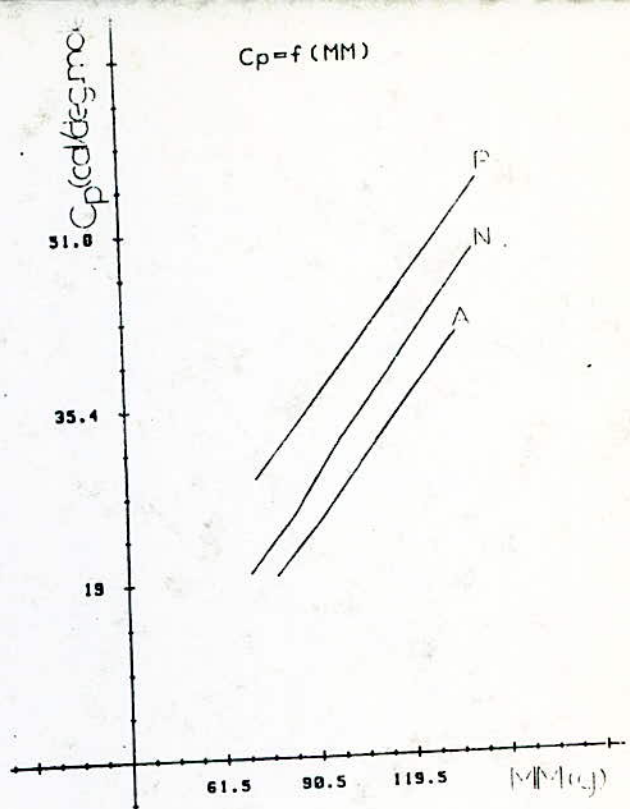
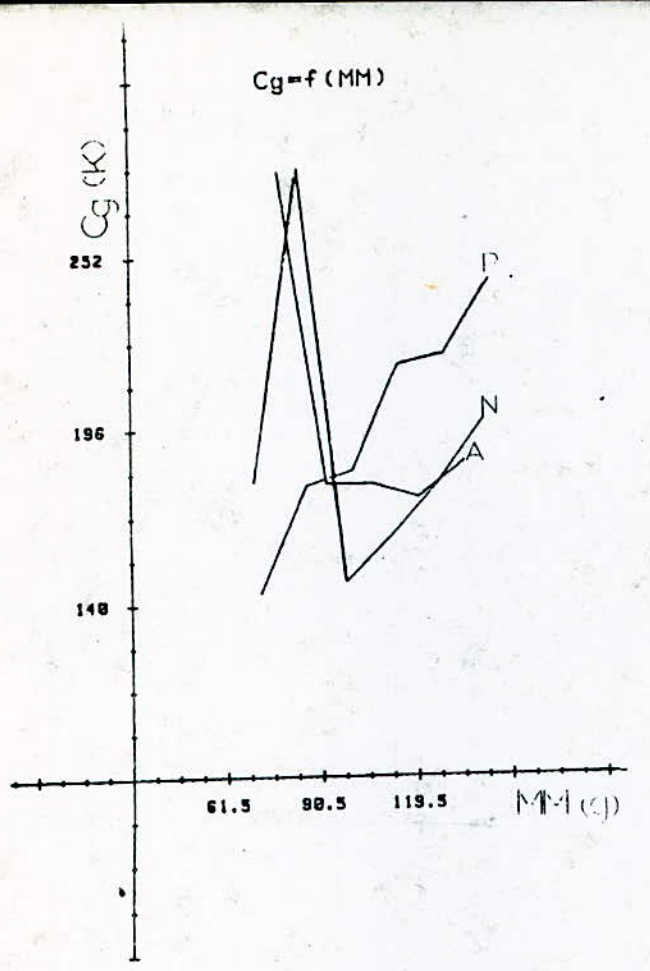


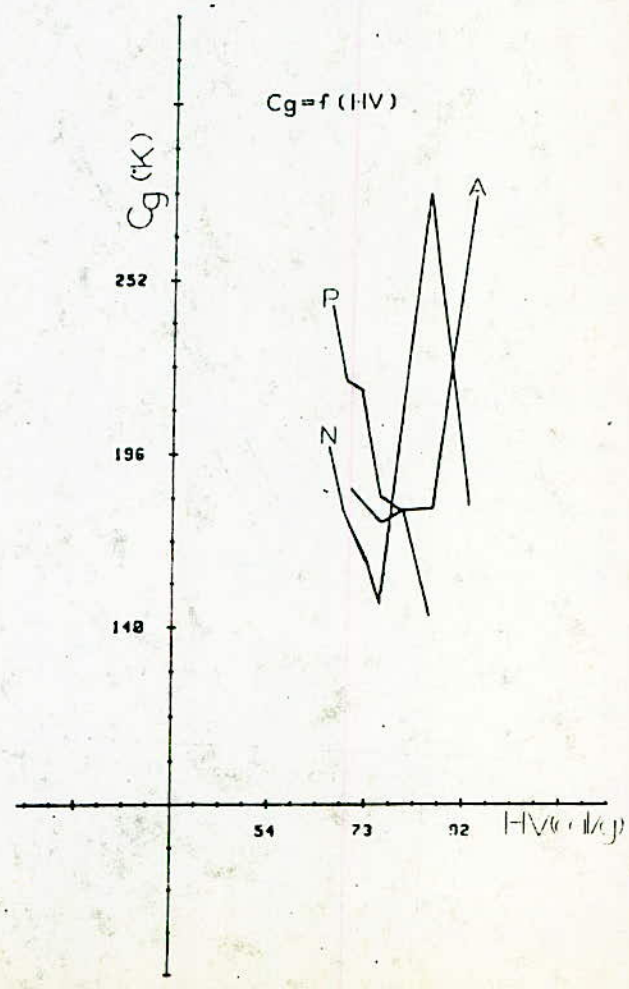
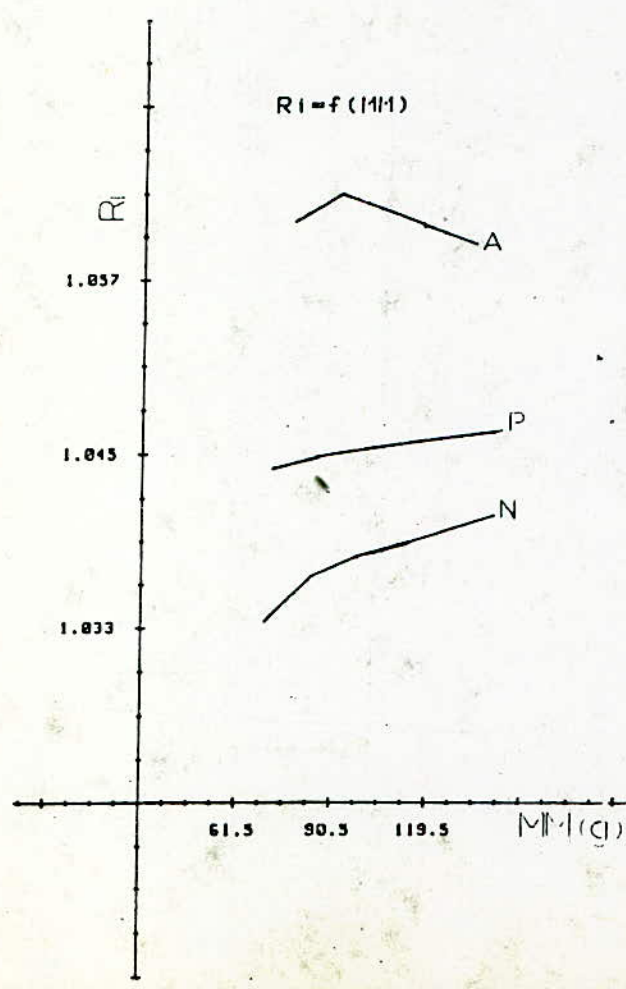
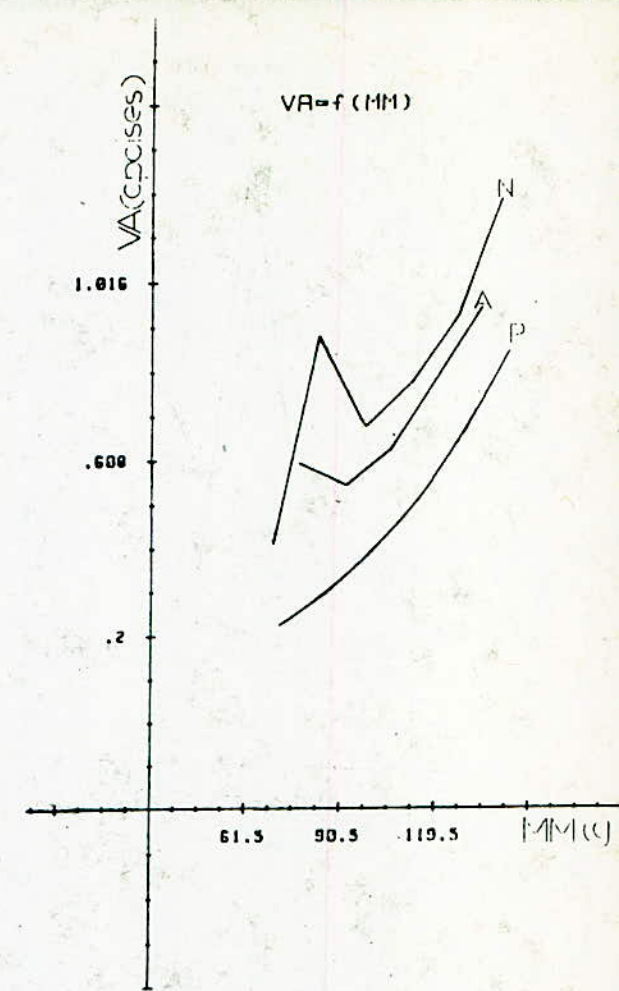
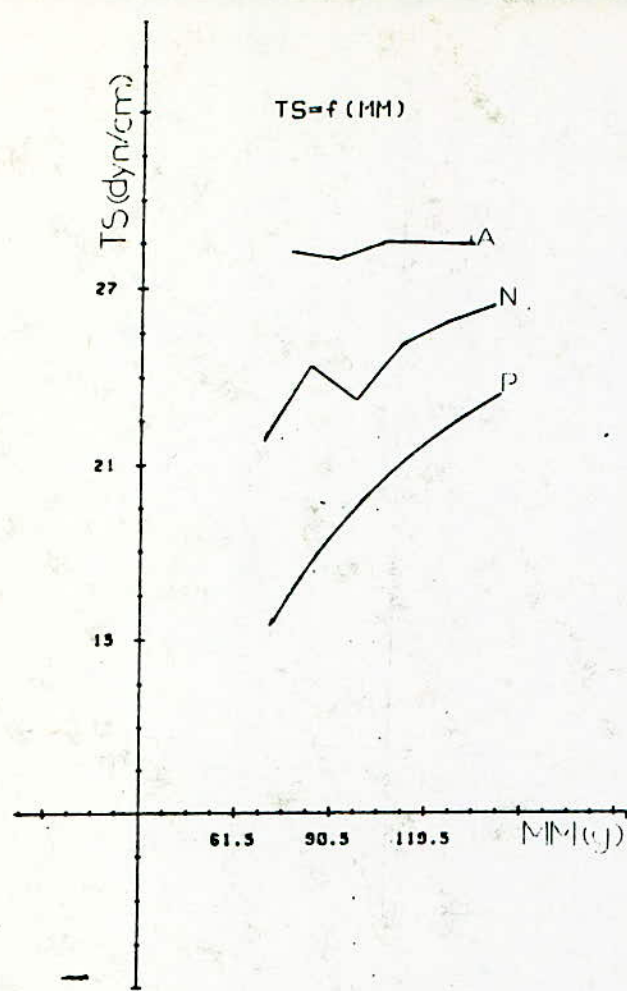


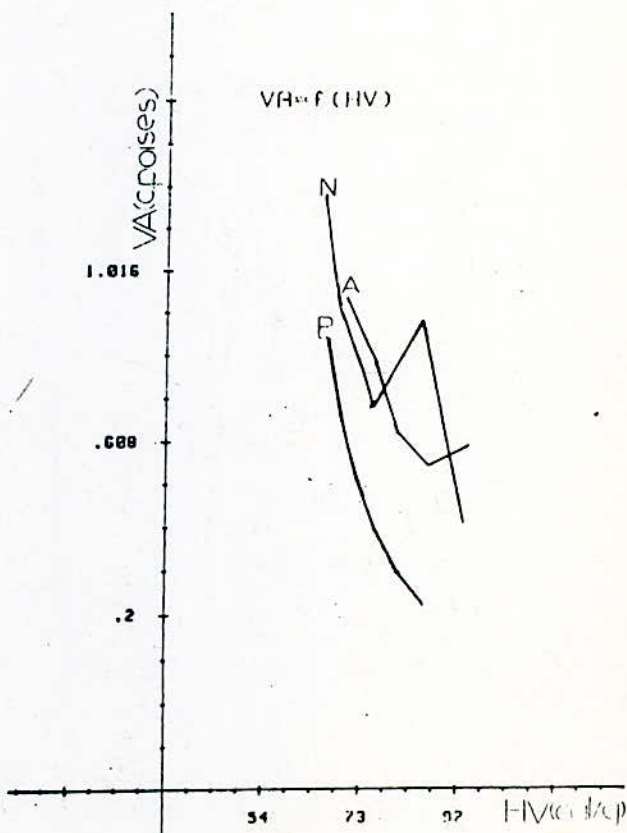
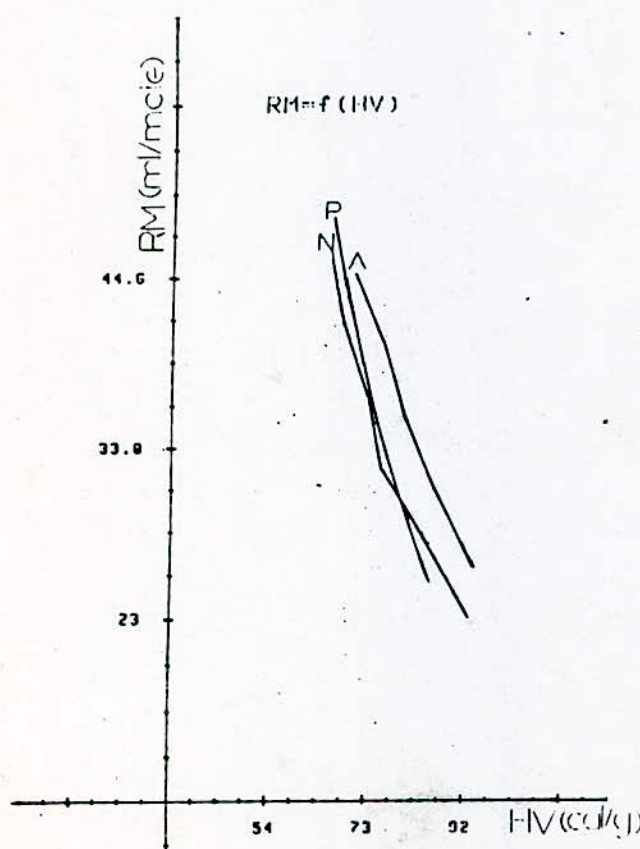
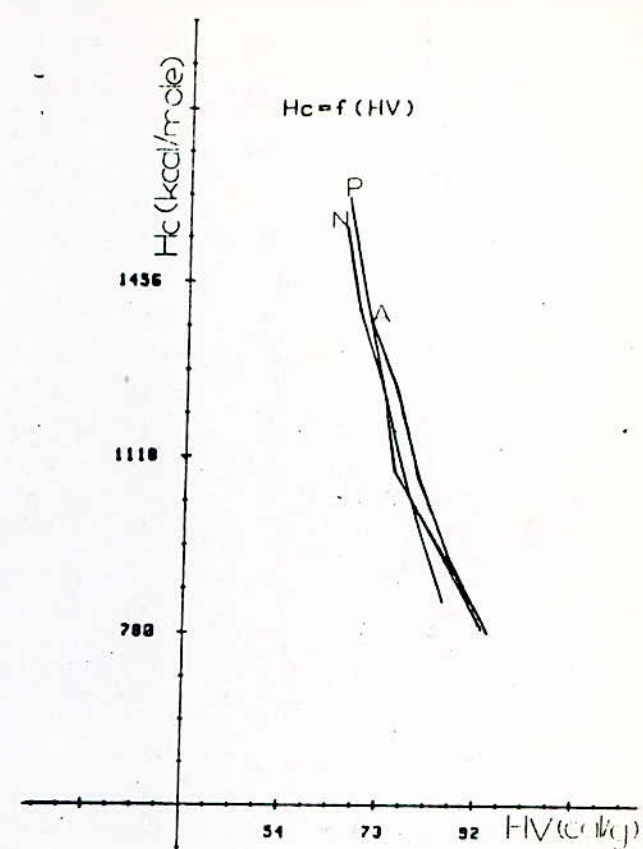
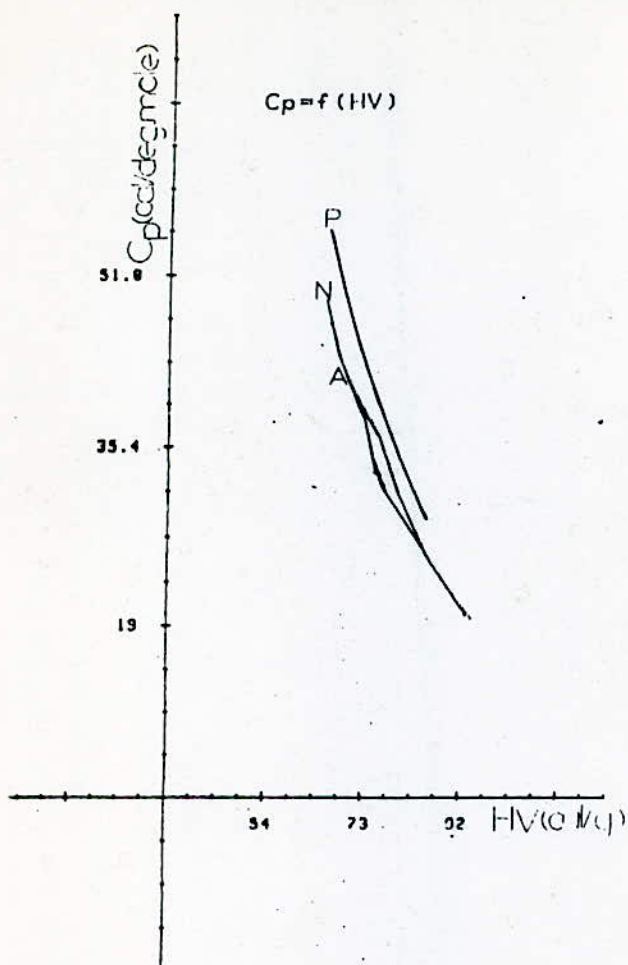


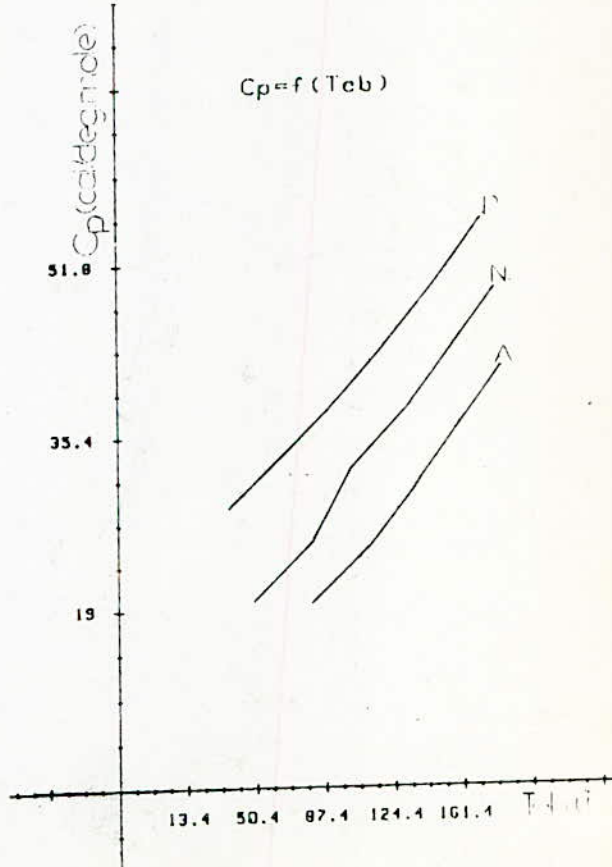
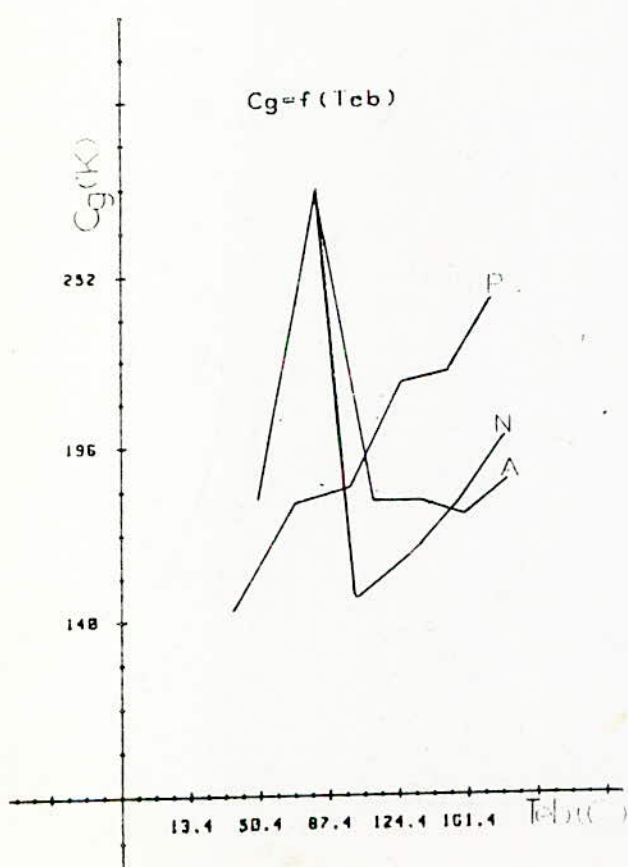
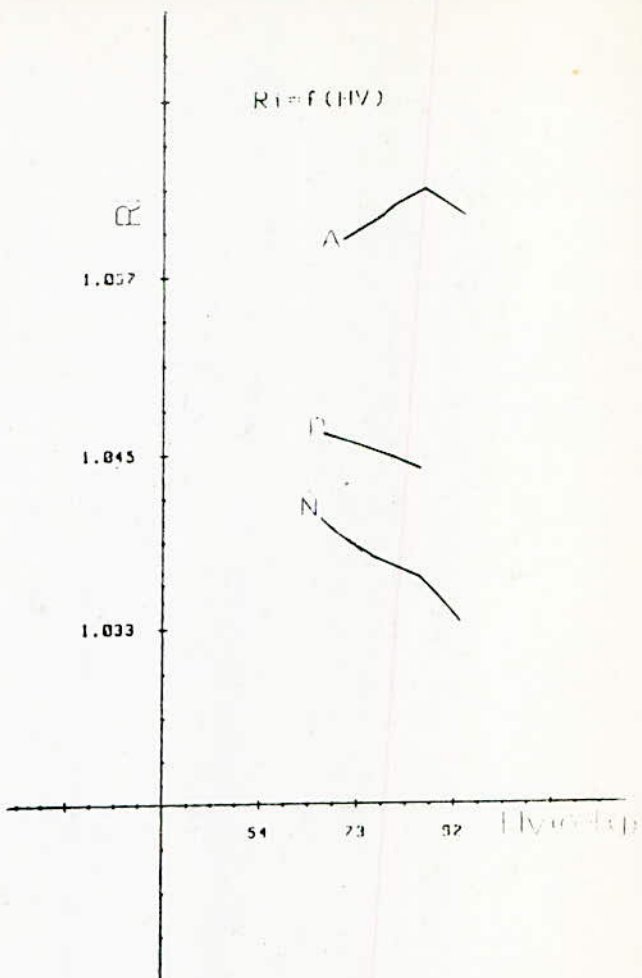
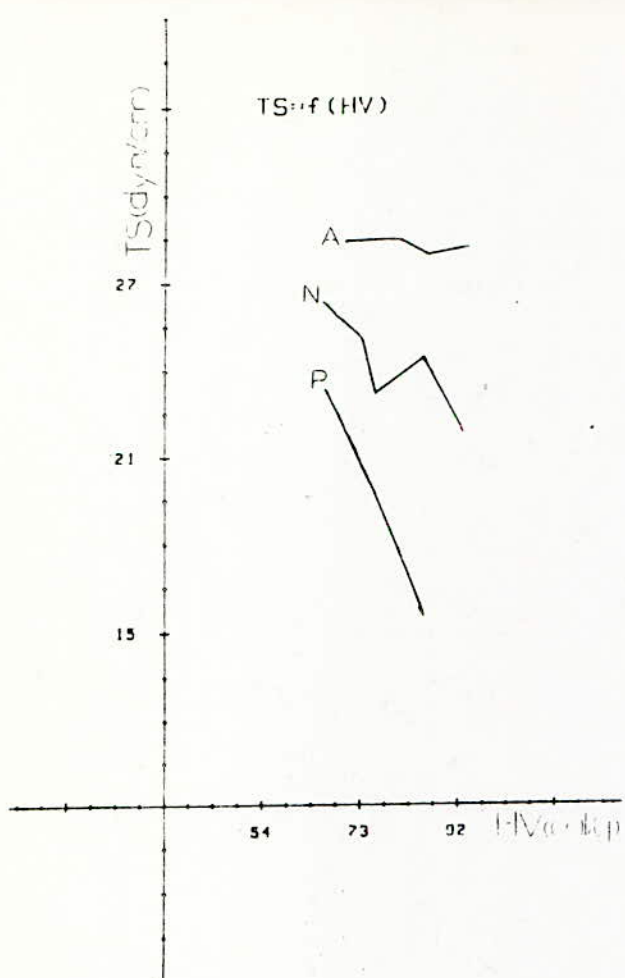


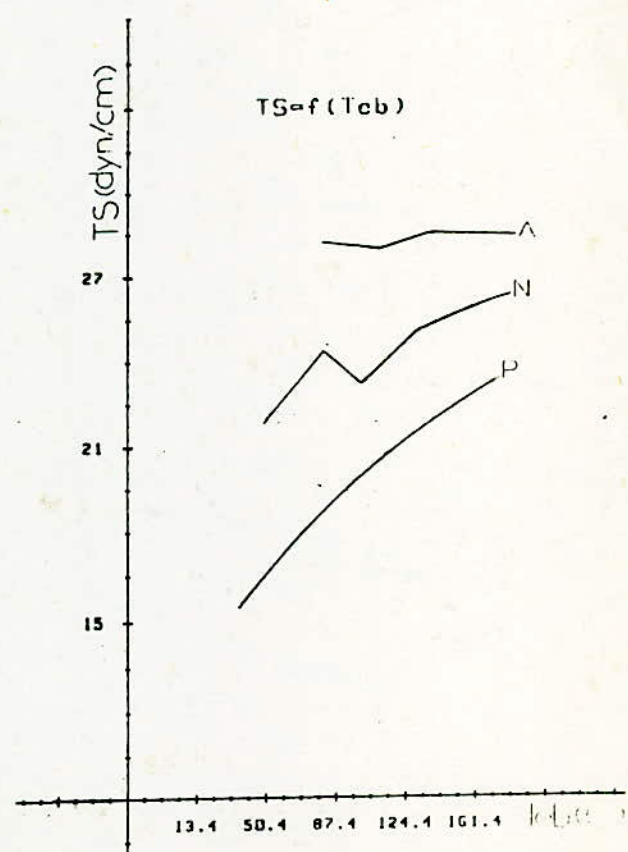
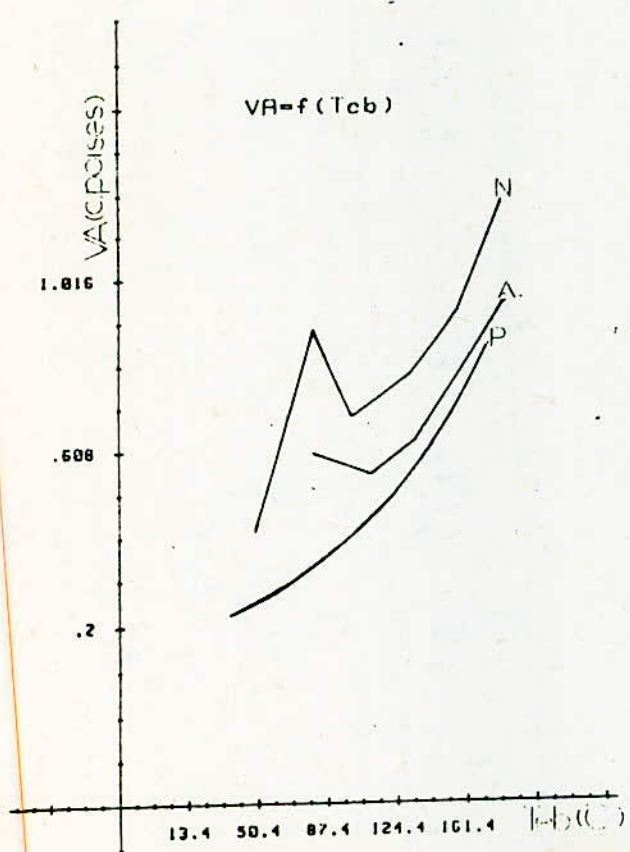
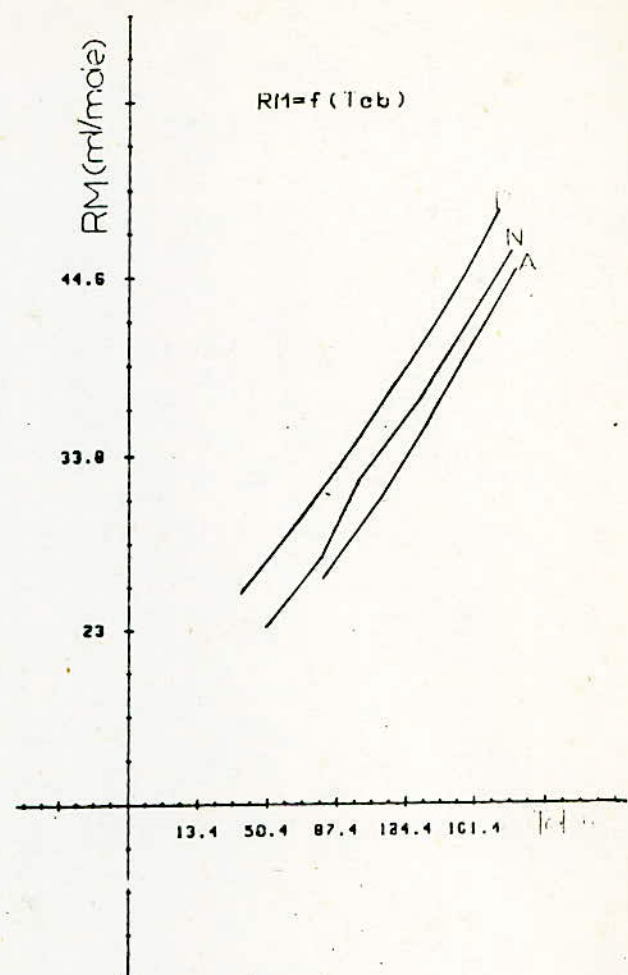
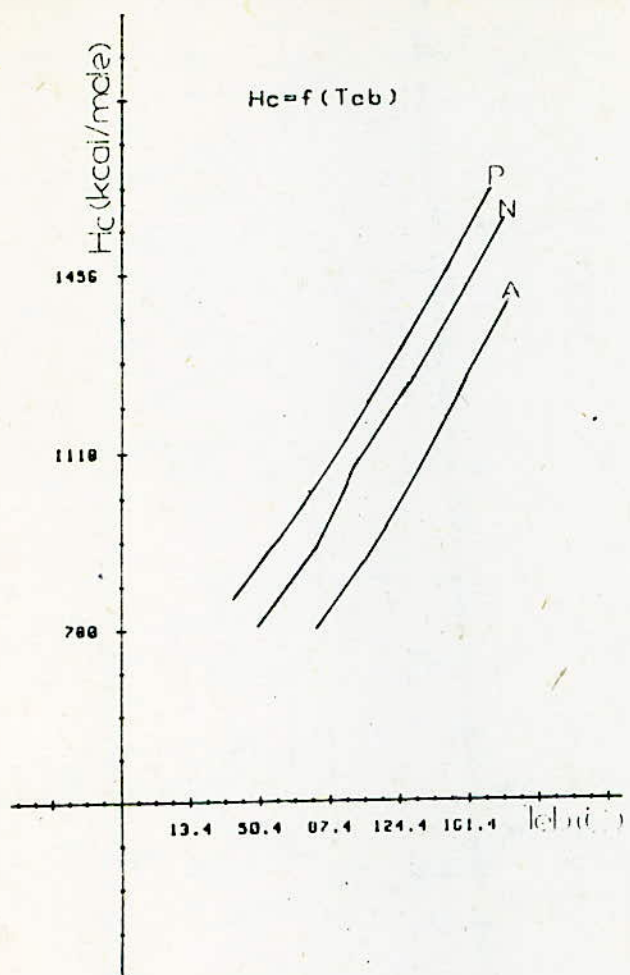


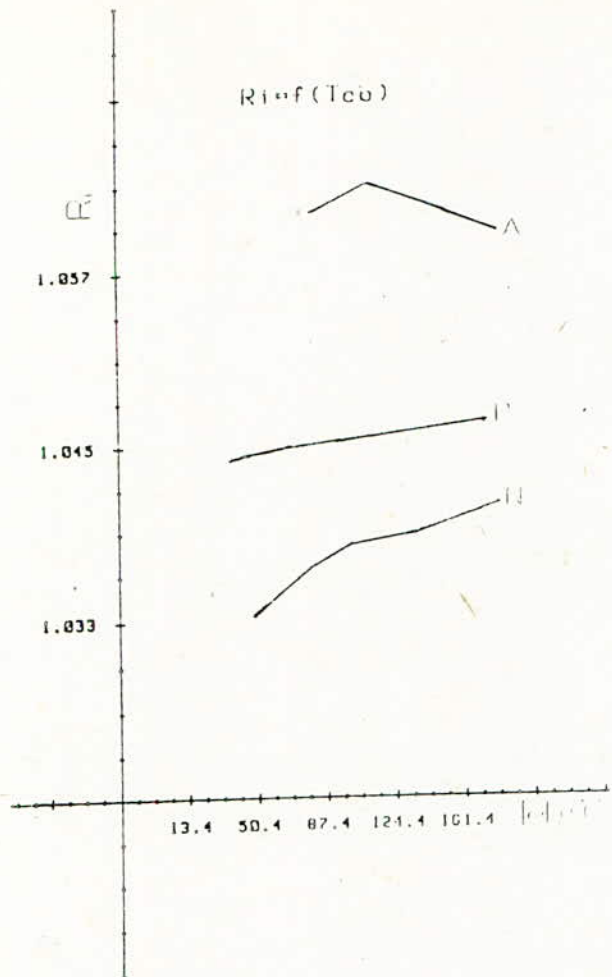












PARAFFINES

$$Cp = -7.74787872611E-7 * Cg^{5+-} .000300033329952 * Cg^{4+-} .0442399073493 * Cg^{3+} \\ -3.08632962552 * Cg^{2+-} 100.553380622 * Cg^{+-} 1151.16937617$$

$$Hc = -2.21640380189E-5 * Cg^{5+-} .0085833606708 * Cg^{4+-} 1.26568543972 * Cg^{3+} \\ -88.3034193053 * Cg^{2+-} 2877.09472776 * Cg^{+-} 32923.6607698$$

$$RM = -6.58476286287E-7 * Cg^{5+-} .000255017090207 * Cg^{4+-} .0376062294947 * Cg^{3+} \\ -2.623801158388 * Cg^{2+-} 85.492142613 * Cg^{+-} 977.983415094$$

$$VA = -1.91310318732E-8 * Cg^{5+-} 7.47652464961E-6 * Cg^{4+-} .00111300579452 * Cg^{3+} \\ -.0783204560424 * Cg^{2+-} 2.56745392067 * Cg^{+-} 30.0063140305$$

$$TS = -2.03531327245E-7 * Cg^{5+-} 7.79181337217E-5 * Cg^{4+-} .014345598275 * Cg^{3+} \\ -.781991777311 * Cg^{2+-} 25.2344200351 * Cg^{+-} 277.558505392$$

$$Ri = -6.14805405526E-11 * Cg^{5+-} 2.37099548385E-8 * Cg^{4+-} 3.47950481636E-6 * Cg^{3+} \\ -.000241643089321 * Cg^{2+-} .00784632857748 * Cg^{+-} .952543875307$$

$$Cg = .000390430902215 * Cp^{5+-} .0829504487679 * Cp^{4+-} 6.95944631799 * Cp^{3+} \\ -288.696066045 * Cp^{2+-} 5895.4881562 * Cp^{+-} 47586.2727735$$

$$Hc = -2.05502933595E-6 * Cp^{5+-} .000422339084234 * Cp^{4+-} .0342283304805 * Cp^{3+} \\ 1.36818722468 * Cp^{2+-} 1.58207407367 * Cp^{+-} 228.17714717$$

$$RM = -2.05838186159E-8 * Cp^{5+-} 3.68778578867E-6 * Cp^{4+-} .000250270581566 * Cp^{3+} \\ .00794276699474 * Cp^{2+-} .733410301617 * Cp^{+-} 1.48439849904$$

$$VA = -6.03114809152E-8 * Cp^{5+-} 1.28992493773E-5 * Cp^{4+-} .00108263306400 * Cp^{3+} \\ .0450075902706 * Cp^{2+-} .914633572736 * Cp^{+-} 7.41745046411$$

$$TS = -3.71776916036E-7 * Cp^{5+-} 7.75566387433E-5 * Cp^{4+-} .00627718277125 * Cp^{3+} \\ .239367956968 * Cp^{2+-} 3.81747119605 * Cp^{+-} 30.8736654382$$

$$Ri = 3.69714286763E-10 * Cp^{5+-} 8.54024023058E-8 * Cp^{4+-} 7.83120574659E-6 * Cp^{3+} \\ -.000357051234121 * Cp^{2+-} .00818725668568 * Cp^{+-} .968753159808$$

$$Cg = 2.04903209908E-11 * Hc^{5+-} 1.26220288412E-7 * Hc^{4+-} .000307150276328 * Hc^{3+} \\ -.36893574575 * Hc^{2+-} 218.726724348 * Hc^{+-} 51352.0554231$$

$$Cp = 3.76546974626E-15 * Hc^{5+-} 2.24476790632E-11 * Hc^{4+-} 5.27945472172E-8 * Hc^{3+} \\ -.1265537959E-5 * Hc^{2+-} .0700295095745 * Hc^{+-} 8.57121793937$$

$$RM = 2.12753631994E-15 * Hc^{5+-} 1.34923237804E-11 * Hc^{4+-} 3.36573153279E-8 * Hc^{3+} \\ -.18089987243E-5 * Hc^{2+-} .0552197338357 * Hc^{+-} 5.74220473931$$

$$VA = -3.05475886998E-15 * Hc^{5+-} 1.89668110712E-11 * Hc^{4+-} 4.62220270021E-8 * Hc^{3+} \\ 5.58250742768E-5 * Hc^{2+-} .0322779139486 * Hc^{+-} 7.77022192517$$

$$TS = 1.872277620804E-14 * Hc^{5+-} 1.13366072255E-10 * Hc^{4+-} 6.6303670368E-7 * Hc^{3+} \\ .00029403212378 * Hc^{2+-} .136856231032 * Hc^{+-} 31.6512024782$$

$$Ri = 1.97013854975E-17 * Hc^{5+-} 1.3591217969E-13 * Hc^{4+-} 3.490311426232E-10 * Hc^{3+} \\ 4.60347201715E-7 * Hc^{2+-} .000305238417545 * Hc^{+-} .762065902987$$

$Cg = 0.00884386643511 * RM^{5+} - 163474845048 * RM^{4+} - 11.9400665213 * RM^{3+}$
 $- 430.580286158 * RM^{2+} + 7667.68132522 * RM^{+} - 54051.4754667$
 $Cp = 5.3888550852E-8 * RM^{5+} - 8.40969130252E-6 * RM^{4+} - 0.00497882203925 * RM^{3+}$
 $- .0130083019802 * RM^{2+} - 1.35378507537 * RM^{+} - 1.84154178619$
 $Hc = -3.09823050729E-6 * RM^{5+} - 0.000589632770085 * RM^{4+} - 0.44378605565 * RM^{3+}$
 $1.64790571169 * RM^{2+} - 3.52848067287 * RM^{+} - 204.374582433$
 $VA = 1.33737983914E-7 * RM^{5+} - 2.49204932576E-5 * RM^{4+} - 0.0182362536124 * RM^{3+}$
 $.0661354700776 * RM^{2+} - 1.17413367214 * RM^{+} - 8.30860227257$
 $TS = 8.48239608864E-7 * RM^{5+} - 0.00154434785639 * RM^{4+} - 0.109203092387 * RM^{3+}$
 $.365999959575 * RM^{2+} - 5.23224167668 * RM^{+} - 36.0852210225$
 $Ri = 8.41966539022E-10 * RM^{5+} - 1.68709053598E-7 * RM^{4+} - 1.34235670494E-5 * RM^{3+}$
 $- 0.000531395539055 * RM^{2+} - 0.010571719003 * RM^{+} - 25.9677707704$

 $Cg = 86825.9671327 * VA^{5+} - 222408.268347 * VA^{4+} - 217304.208607 * VA^{3+} - 101169.05$
 $* VA^{2+} - 22608.2578753 * VA^{+} - 2049.10972731$
 $Cp = 823.862327803 * VA^{5+} - 2195.26119336 * VA^{4+} - 2285.97844291 * VA^{3+} - 1204.6046$
 $* VA^{2+} - 370.576745353 * VA^{+} - 14.6103180131$
 $Hc = 23317.9227218 * VA^{5+} - 62200.5057251 * VA^{4+} - 64849.3763573 * VA^{3+} - 54134.143$
 $* VA^{2+} - 10547.2759532 * VA^{+} - 396.526874885$
 $RM = 705.724693095 * VA^{5+} - 1882.0015753 * VA^{4+} - 1960.74022838 * VA^{3+} - 1030.21910$
 $* VA^{2+} - 316.909122439 * VA^{+} - 11.706769407$
 $TS = 355.242166079 * VA^{5+} - 1009.54706212 * VA^{4+} - 1140.34671973 * VA^{3+} - 656.17468$
 $* VA^{2+} - 205.463473994 * VA^{+} - 8.09289114122$
 $Ri = 344517288986 * VA^{5+} - 945614228527 * VA^{4+} - 1.00888650549 * VA^{3+} - 52214019$
 $* VA^{2+} - 139284704909 * VA^{+} - 1.03011712673$

 $Cg = 274847814244 * TS^{5+} - 27.2865704204 * TS^{4+} - 1078.283633 * TS^{3+} - 21195.54673$
 $* TS^{2+} - 202200.0158779 * TS^{+} - 805808.905044$
 $Cp = .00137026383294 * TS^{5+} - 133226857419 * TS^{4+} - 5.17000505456 * TS^{3+}$
 $- 100.350525134 * TS^{2+} - 769.971177112 * TS^{+} - 3217.82015634$
 $Hc = .036886090982 * TS^{5+} - 3.58406307363 * TS^{4+} - 132.271799056 * TS^{3+}$
 $- 2698.13314832 * TS^{2+} - 26079.1273241 * TS^{+} - 99919.7531296$
 $RM = .00111221705594 * TS^{5+} - 108127287048 * TS^{4+} - 4.20380872001 * TS^{3+}$
 $- 31.4021028222 * TS^{2+} - 787.951340621 * TS^{+} - 3020.24072262$
 $VA = 2.9454337015E-5 * TS^{5+} - 0.0263106386944 * TS^{4+} - 0.042370294198 * TS^{3+}$
 $- 1.60659375831 * TS^{2+} - 15.0780275381 * TS^{+} - 53.6941792818$
 $Ri = 6.02272046646E-8 * TS^{5+} - 6.50958622256E-6 * TS^{4+} - 0.00280752788364 * TS^{3+}$
 $- 0.00602595428636 * TS^{2+} - 0.0645454234507 * TS^{+} - 767674232528$

PARAFFINES

$Cg = 9.07423105361E+16 * Ri^{5+-4} / 1.0367255462E+18 * Ri^{5+-4} / 5.419247214E+17 * Ri^{5+-4} / 1.1330246536E+17 * Ri^{5+-4}$
 $Cp = 2.36326333413E+14 * Ri^{5+-1} / 2.62619920246E+15 * Ri^{5+-1} / 1.40064496512E+15 * Ri^{5+-1} / 2.50031206334E+15 * Ri^{5+-1}$
 $Hc = 6.09850760013E+15 * Ri^{5+-3} / 6.95674656303E+16 * Ri^{5+-3} / 3.18606526576E+16 * Ri^{5+-3} / 6.65802673256E+16 * Ri^{5+-3}$
 $Rm = 1.87792806704E+14 * Ri^{5+-9} / 2.14235210098E+15 * Ri^{5+-9} / 1.11926026054E+15 * Ri^{5+-9} / 2.3390046297E+14$
 $Va = 6.2202612308E+11 * Ri^{5+-3} / 6.95943875458E+12 * Ri^{5+-3} / 3.22888703003E+12 * Ri^{5+-3} / 6.70406365384E+12 * Ri^{5+-3}$
 $Ts = -1.16074662673E+14 * Ri^{5+-6} / 1.32773277001E+15 * Ri^{5+-6} / 6.0696030002E+14 * Ri^{5+-6} / 4.26956378336E+15 * Ri^{5+-6}$
 $1.45221070291E+14 * Ri^{5+-6} / 6.94290708537E+14 * Ri^{5+-6} / 1.45221070291E+14 * Ri^{5+-6}$

 $Cg = 1.77750871207E+10 * n^{5+-1} / 4.72575464914E+11 * n^{5+-1} / 1.23131470265E+11 * n^{5+-1} / 3.41150220993E+11 * n^{5+-1}$
 $+ -4.72575464914E+11 * n^{5+-2} / 3.27299456267E+11 * n^{5+-2} / 9.0668263252E+10 * n^{5+-2}$
 $Cp = 4.35424430651E+7 * n^{5+-3} / 1.1473710357E+9 * n^{5+-3} / 3.00704288688E+8 * n^{5+-3} / 8.30680426332E+8 * n^{5+-3}$
 $- 1.1473710357E+9 * n^{5+-2} / 7.92405710336E+8 * n^{5+-2} / 2.18903919571E+8 * n^{5+-2}$
 $Hc = 1.09647253114E+9 * n^{5+-7} / 2.80704641788E+10 * n^{5+-7} / 5.7023354429E+9 * n^{5+-7} / 2.07070145013E+10 * n^{5+-7}$
 $- 2.80704641788E+10 * n^{5+-2} / 1.9933913218E+10 * n^{5+-2} / 5.50549034864E+9 * n^{5+-2}$
 $Rm = 3.35998290002E+7 * n^{5+-2} / 6.05004576848E+8 * n^{5+-2} / 3.2013345829E+8 * n^{5+-2} / 6.4085472653E+8 * n^{5+-2}$
 $- 6.05004576848E+8 * n^{5+-2} / 6.11204579304E+8 * n^{5+-2} / 1.68831442919E+8 * n^{5+-2}$
 $Va = 351082.859316 * n^{5+-2} / 8.07481031619E+6 * n^{5+-2} / 3.2060082163E+6 * n^{5+-2} / 6.12665375281E+6 * n^{5+-2}$
 $- 8.07481031619E+6 * n^{5+-2} / 5.31210215554E+6 * n^{5+-2} / 1.39522420446E+6 * n^{5+-2}$
 $Ts = -9.6413104094E+6 * n^{5+-6} / 2.56790950728E+8 * n^{5+-6} / 6.68235460467E+7 * n^{5+-6} / 1.85256767611E+8 * n^{5+-6}$
 $2.56790950728E+8 * n^{5+-6} / 1.77969671619E+8 * n^{5+-6} / 4.93358163836E+7 * n^{5+-6}$
 $Ri = 269.354194932 * n^{5+-20} / 9775.90843342 * n^{5+-20} / 2090.97001513 * n^{5+-20} / 6422.58695687 * n^{5+-20}$
 $- 9775.90843342 * n^{5+-20} / 7384.51399311 * n^{5+-20} / 2216.05272375 * n^{5+-20}$

 $Cg = 7.031095703E+8 * d^{5+-2} / 2.20509103403E+9 * d^{5+-2} / 3.39046461696E+9 * d^{5+-2} / 5.24812092025E+9 * d^{5+-2}$
 $- 2.20509103403E+9 * d^{5+-2} / 7.47928775926E+8 * d^{5+-2} / 1.01395586957E+8 * d^{5+-2}$
 $Cp = 1.76051404394E+6 * d^{5+-5} / 5.3582088236E+6 * d^{5+-5} / 5.91973435642E+6 * d^{5+-5} / 7.96462237849E+6 * d^{5+-5}$
 $- 5.3582088236E+6 * d^{5+-2} / 1.80220289566E+6 * d^{5+-2} / 242401.052297 * d^{5+-2}$
 $Hc = 4.44287017079E+7 * d^{5+-1} / 1.34902303011E+8 * d^{5+-1} / 1.49255245687E+8 * d^{5+-1} / 2.00657879694E+8 * d^{5+-1}$
 $- 1.34902303011E+8 * d^{5+-2} / 4.5347238453E+7 * d^{5+-2} / 6.09616336446E+6 * d^{5+-2}$
 $Rm = 1.36006711316E+6 * d^{5+-4} / 4.1360359512E+6 * d^{5+-4} / 5.714793905E+6 * d^{5+-4} / 6.119006667832E+6 * d^{5+-4}$
 $- 4.1360359512E+6 * d^{5+-2} / 1.39099861784E+6 * d^{5+-2} / 187085.353393 * d^{5+-2}$
 $Va = 16362.3400663 * d^{5+-5} / 7780.39845422 * d^{5+-5} / 47117.4843704 * d^{5+-5} / 53257.0673784 * d^{5+-5} / 22337.500327$
 $* d^{5+-2} / 7780.39845422 * d^{5+-2} / 778.092361854 * d^{5+-2}$
 $Ts = -356983.667148 * d^{5+-1} / 1.5212715691E+6 * d^{5+-1} / 1.2137191117E+6 * d^{5+-1} / 1.65006931426E+6 * d^{5+-1}$
 $1.5212715691E+6 * d^{5+-2} / 380764.84035 * d^{5+-2} / 51691.7584779 * d^{5+-2}$
 $Ri = 12.2115907572 * d^{5+-59} / 36.0922731057 * d^{5+-59} / 0.0827323625 * d^{5+-59} / 104.979363912 * d^{5+-59} / 60.5634615 * d^{5+-59}$

$Cg = 1.24323148628E-7 * Teb^{5+} - 6.71767211881E-5 * Teb^{4+} - 0.137838235.02 * Teb^{3+}$
 $- 1.32012142325 * Teb^{2+} 59.8231318886 * Teb + 1100.34137643$
 $Cp = 8.77498253363E-11 * Teb^{5+} - 4.71241818313E-8 * Teb^{4+} 9.82187442971E-6 * Teb^{3+}$
 $- .000707332484318 * Teb^{2+} .183248890875 * Teb + 22.6516577506$
 $Hc = 1.71460041245E-9 * Teb^{5+} - 9.41315761139E-7 * Teb^{4+} .000203626246776 * Teb^{3+}$
 $- .0131731006856 * Teb^{2+} 4.94012889802 * Teb + 669.631957088$
 $Rm = 6.13512058002E-11 * Teb^{5+} - 3.39642544102E-8 * Teb^{4+} 7.40570911409E-6 * Teb^{3+}$
 $- .000520722963851 * Teb^{2+} .153207919548 * Teb + 20.1547171418$
 $Va = -1.55355686589E-11 * Teb^{5+} 8.90082387593E-9 * Teb^{4+} - 1.82057768497E-6 * Teb^{3+}$
 $.000186246091573 * Teb^{2+} -.00670290229421 * Teb + .294785440386$
 $Ts = -1.00265417628E-10 * Teb^{5+} 5.4434485539E-8 * Teb^{4+} - 1.10489073853E-5 * Teb^{3+}$
 $.000874142532767 * Teb^{2+} .0465784290873 * Teb + 13.0955630349$
 $Ri = 6.45047761235E-14 * Teb^{5+} - 4.32477181422E-11 * Teb^{4+} 1.11952923683E-6 * Teb^{3+}$
 $- 1.40698133291E-6 * Teb^{2+} .000102357409646 * Teb + 1.04170262337$

$Cg = -0.0267530280979 * Hv^{5+} 1.00218336982 * Hv^{4+} - 149.856523313 * Hv^{3+}$
 $11180.9147849 * Hv^{2+} - 416262.051225 * Hv + 6.18655548589E+6$
 $Cp = -1.31145436306E-5 * Hv^{5+} .00490266122934 * Hv^{4+} - 731841225586 * Hv^{3+}$
 $54.5596395251 * Hv^{2+} - 2034.05365 * Hv + 30440.2712604$
 $Hc = -0.000355415289514 * Hv^{5+} .132786939039 * Hv^{4+} - 19.0100913572 * Hv^{3+}$
 $1476.07351865 * Hv^{2+} - 55007.2626133 * Hv + 823144.991005$
 $Rm = -1.07387867903E-5 * Hv^{5+} .00401142841687 * Hv^{4+} - 598350013112 * Hv^{3+}$
 $44.5750426252 * Hv^{2+} - 1660.82510134 * Hv + 24846.5258539$
 $Va = 2.92621765145E-8 * Hv^{5+} - 8.46474336927E-6 * Hv^{4+} .000821039597213 * Hv^{3+}$
 $- .0210327360206 * Hv^{2+} - 1.07396716261 * Hv + 51.2823418687$
 $Ts = -1.09863581572E-6 * Hv^{5+} .00040913509403 * Hv^{4+} - 0.0606789551617 * Hv^{3+}$
 $4.47574665157 * Hv^{2+} - 164.428516112 * Hv + 2436.87726048$
 $Ri = -1.39247084048E-9 * Hv^{5+} 5.02093992E-7 * Hv^{4+} - 22435605429E-5 * Hv^{3+}$
 $.00518512884064 * Hv^{2+} -.185769022962 * Hv + 3.70734222381$

$Cg = 3.51522805113E-6 * Mm^{5+} -.00108057245519 * Mm^{4+} .400526566125 * Mm^{3+}$
 $- 41.8948431039 * Mm^{2+} 2161.73038437 * Mm + 44137.2087392$
 $Cp = 6.13039399494E-10 * Mm^{5+} - 3.18311791702E-7 * Mm^{4+} 6.50440325301E-5 * Mm^{3+}$
 $-.00655022426263 * Mm^{2+} .715167041109 * Mm + -5.77568267002$
 $Hc = -9.20759099234E-10 * Mm^{5+} 4.93612047406E-7 * Mm^{4+} -.000104771807576 * Mm^{3+}$
 $.0130217182295 * Mm^{2+} 10.5652082412 * Mm + 46.8865955949$
 $Rm = 3.37611669722E-10 * Mm^{5+} - 1.87448827993E-7 * Mm^{4+} 4.11127325656E-5 * Mm^{3+}$
 $-.00444154864178 * Mm^{2+} .566745401911 * Mm + -3.50584091329$
 $Va = -5.24832686567E-10 * Mm^{5+} 2.84264851798E-7 * Mm^{4+} - 6.03737920731E-5 * Mm^{3+}$
 $.00635118520378 * Mm^{2+} -.326136326928 * Mm + 6.691367298922$
 $Ts = -3.22265684734E-9 * Mm^{5+} 1.70073489951E-6 * Mm^{4+} .000347683215015 * Mm^{3+}$
 $.6333459811091 * Mm^{2+} - 1.3120000976 * Mm + 27.3522863636$
 $Ri = 3.37611669724E-12 * Mm^{5+} - 1.97135443908E-9 * Mm^{4+} 4.56897898726E-7 * Mm^{3+}$
 $-.5.26502823734E-5 * Mm^{2+} .00305276691941 * Mm + .973055824956$

NAPHTHENES

$Cg = -1.535511016455E-5 * Cg^{5+} - 0.000552587115091 * Cg^{5+} - 221581897282 * Cg^{4+} - 5317354257 * Cg^{3+}$
 $- 2030.66511907 * Cg^{2+} - 40477.7325088 * Cg^+ 363100.588549$
 $Rm = -1.65883079489E-5 * Cg^{5+} - 0.00665166499523 * Cg^{4+} - 92656.4909431 * Cg^{3+}$
 $- 60.9577001782 * Cg^{2+} - 1215.07139014 * Cg^+ 10399.2631674$
 $Va = -4.6405159672E-7 * Cg^{5+} - 0.000186425259019 * Cg^{4+} - 0.0273750898532 * Cg^{3+}$
 $- 1.70917535105 * Cg^{2+} - 34.077051259 * Cg^+ 305.770115803$
 $Ts = -3.57472576046E-6 * Cg^{5+} - 0.0143370671672 * Cg^{4+} - 210520168909 * Cg^{3+}$
 $- 13.1417132151 * Cg^{2+} - 261.928834222 * Cg^+ 2367.98135316$
 $Ri = -5.77806952907E-9 * Cg^{5+} - 2.31624625701E-6 * Cg^{4+} - 0.000340502772214 * Cg^{3+}$
 $- 0.0212268522926 * Cg^{2+} - 423014410724 * Cg^+ 4.8216743757$

$Cg = .000634680794095 * Cp^{5+} - 11594650474 * Cp^{4+} 8.30150500037 * Cp^{3+}$
 $- 290.203406337 * Cp^{2+} 4932.55966033 * Cp^+ 32539.5624447$
 $Hc = .000177946342706 * Cp^{5+} - 0313994364112 * Cp^{4+} 2.16842166946 * Cp^{3+}$
 $- 73.0368041655 * Cp^{2+} 1221.42704237 * Cp^+ 7312.89297286$
 $Rm = 3.58408931365E-6 * Cp^{5+} - 0.00063344644625 * Cp^{4+} - 0.0439029060578 * Cp^{3+}$
 $- 1.40721601842 * Cp^{2+} 25.3060930295 * Cp^+ 149.231872849$
 $Va = 1.66137022934E-6 * Cp^{5+} - 0.000302632975542 * Cp^{4+} - 0.016744052030 * Cp^{3+}$
 $- 76.0372322284 * Cp^{2+} 13.0285722312 * Cp^+ 66.2475193371$
 $Ts = 1.74315855108E-5 * Cp^{5+} - 0.0312369477783 * Cp^{4+} - 216866529233 * Cp^{3+}$
 $- 7.476803436561 * Cp^{2+} 124.343479886 * Cp^+ 780.882212229$
 $Ri = -5.143395086563E-10 * Cp^{5+} 5.62058236858E-8 * Cp^{4+} - 9.31638140731E-7 * Cp^{3+}$
 $- 9.30512463083E-5 * Cp^{2+} .00426614104653 * Cp^+ 785549565082$

$Cg = 6.41792511931E-11 * Hc^{5+} - 82904083022E-7 * Hc^{4+} 0.000935267810612 * Hc^{3+}$
 $- 1.10752387047 * Hc^{2+} 645.549334545 * Hc^+ 148078.046185$
 $Cp = -6.37134894199E-13 * Hc^{5+} 3.78407824159E-9 * Hc^{4+} - 8.87323082138E-6 * Hc^{3+}$
 $.0102585713307 * Hc^{2+} - 5.8006953758 * Hc^+ 1297.28930343$
 $Rm = 1.57280426878E-13 * Hc^{5+} - 9.30757947242E-10 * Hc^{4+} 2.17004938243E-6 * Hc^{3+}$
 $.00240858482234 * Hc^{2+} - 1.3722200369 * Hc^+ 309.945344219$
 $Va = 1.5445068783E-13 * Hc^{5+} - 9.39102170486E-10 * Hc^{4+} 2.25940202368E-6 * Hc^{3+}$
 $.00268512621099 * Hc^{2+} 1.57448102574 * Hc^+ - 363.316848713$
 $Ts = 1.55128800549E-12 * Hc^{5+} - 9.30626381119E-9 * Hc^{4+} 2.2031529979E-5 * Hc^{3+}$
 $- 0.025706112921 * Hc^{2+} 14.7749905688 * Hc^+ - 3321.21105934$
 $Ri = -1.56621238782E-16 * Hc^{5+} 8.54466163093E-13 * Hc^{4+} - 1.79544294264E-9 * Hc^{3+}$
 $1.7925696613E-6 * Hc^{2+} - 0.00823625204141 * Hc^+ 1.16602712858$

$Cg = 0.0256703778727 * RM^{5+} - 4627062770762 * RM^{4+} 32.9304629343 * RM^{3+}$
 $- 1155.46923242 * RM^{2+} 19957.1472023 * RM^+ 135592.49943$
 $Cp = -1.77789336714E-5 * RM^{5+} - 0.0313357598092 * RM^{4+} - 216241163329 * RM^{3+}$
 $7.42001362679 * RM^{2+} - 125.648407502 * RM^+ 835.643719611$
 $Hc = .000222809643413 * RM^{5+} - 0.0390250286375 * RM^{4+} 2.69902675210 * RM^{3+}$
 $- 71.6668677945 * RM^{2+} 1562.36970335 * RM^+ - 10000.1304028$
 $Va = 6.26698823694E-6 * RM^{5+} - 0.0112954139272 * RM^{4+} - 0.005437162071 * RM^{3+}$
 $- 2.83625230435 * RM^{2+} 49.26299226633 * RM^+ - 336.533879981$
 $Ts = 6.53267506922E-5 * RM^{5+} - 0.0116106136526 * RM^{4+} - 8.14076659885 * RM^{3+}$
 $- 28.121119109 * RM^{2+} 478.312224101 * RM^+ - 3179.91705123$
 $Ri = -5.65675654048E-9 * RM^{5+} 9.02900894455E-7 * RM^{4+} - 5.3441790039E-5 * RM^{3+}$
 $- 1.7500000000000002 * RM^{2+} 1.0000000000000002 * RM^+ 1.0000000000000002$

$C_9 = -838455.85952 *VA^{5+} - 3.366804973E+6 *VA^{4+} - 5.3627298664E+6 *VA^{3+}$
 $- 3.995340852 *VA^{2+} + 1.4880376882E+6 *VA+ - 20693.36662$
 $C_{10} = -139795.260535 *VA^{5+} - 561914.376117 *VA^{4+} - 879594.015866 *VA^{3+} - 668978.082163$
 $*VA^{2+} - 246333.438738 *VA+ - 34954.6144357$
 $H_c = -3.51525952311E+6 *VA^{5+} - 1.41333958642E+7 *VA^{4+} - 2.21300476271E+7 *VA^{3+}$
 $- 1.68362777573E+7 *VA^{2+} - 6.20140347233E+6 *VA+ - 880537.517056$
 $R_M = -104811.668702 *VA^{5+} - 421352.730159 *VA^{4+} - 659662.043426 *VA^{3+} - 501786.231816$
 $*VA^{2+} - 184728.096507 *VA+ - 26234.7391573$
 $T_S = -12267.7807118 *VA^{5+} - 49645.3591673 *VA^{4+} - 78299.9973426 *VA^{3+} - 60071.8351508$
 $*VA^{2+} - 22281.1576308 *VA+ - 3204.39134813$
 $R_i = -24.1658878531 *VA^{5+} - 96.9955544721 *VA^{4+} - 151.571964248 *VA^{3+} - 315.044977392$
 $*VA^{2+} - 42.2602841634 *VA+ - 7.0116076704$

$C_9 = -19.1402850492 *TS^{5+} - 2341.22404522 *TS^{4+} - 114461.626501 *TS^{3+}$
 $- 2.79456652992E+6 *TS^{2+} - 3.40642712235E+7 *TS+ - 1.6580059367E+0$
 $C_{10} = 1.38339134449 *TS^{5+} - 169.409205644 *TS^{4+} - 8280.78744108 *TS^{3+} - 202535.88749$
 $*TS^{2+} - 2.47147325607E+6 *TS+ - 1.20483795256E+7$
 $H_c = 34.3064605111 *TS^{5+} - 4199.01845627 *TS^{4+} - 205346.929926 *TS^{3+}$
 $- 5.01524373572E+6 *TS^{2+} - 6.11709412285E+7 *TS+ - 2.98073217168E+8$
 $R_M = 1.03200657627 *TS^{5+} - 126.325772454 *TS^{4+} - 6178.31912325 *TS^{3+} - 150208.060353$
 $*TS^{2+} - 1.84078957725E+6 *TS+ - 8.97058671088E+6$
 $V_A = -0.197382138143 *TS^{5+} - 2.42443714573 *TS^{4+} - 110.927028143 *TS^{3+}$
 $- 2712.20430371 *TS^{2+} - 35598.1625658 *TS+ - 173772.994551$
 $R_i = .00024977926515 *TS^{5+} - 0.0306400910296 *TS^{4+} - 1.50176741396 *TS^{3+}$
 $- 36.7612341022 *TS^{2+} - 449.406304823 *TS+ - 2193.92846534$

$C_9 = 1.22477395602E+15 *Ri^{5+} - 6.6167404975E+15 *Ri^{4+} - 1.32372101432E+16 *Ri^{3+}$
 $- 1.42611298515E+16 *Ri^{2+} - 7.40223400753E+15 *Ri+ - 1.53604866364E+15$
 $C_{10} = 6.4991958205E+13 *Ri^{5+} - 3.37243544823E+14 *Ri^{4+} - 6.99582085206E+14 *Ri^{3+}$
 $- 7.26439537203E+14 *Ri^{2+} - 3.76947866669E+14 *Ri+ - 7.82308323142E+13$
 $H_c = 2.28589105535E+15 *Ri^{5+} - 1.18616365986E+16 *Ri^{4+} - 2.46202710354E+16 *Ri^{3+}$
 $- 2.55511432944E+16 *Ri^{2+} - 1.32585837893E+16 *Ri+ - 2.7519669615E+15$
 $R_M = 6.11184216287E+13 *Ri^{5+} - 3.17144664872E+14 *Ri^{4+} - 6.5826682621E+14 *Ri^{3+}$
 $- 6.8314960217E+14 *Ri^{2+} - 3.544858646477E+14 *Ri+ - 7.35768019327E+13$
 $V_A = 4.01081854876E+12 *Ri^{5+} - 2.08150317509E+13 *Ri^{4+} - 4.32026293171E+13 *Ri^{3+}$
 $- 4.48490672812E+13 *Ri^{2+} - 2.32753221796E+13 *Ri+ - 4.83167132538E+12$
 $T_S = 6.32599600711E+13 *Ri^{5+} - 3.20295265788E+14 *Ri^{4+} - 6.81470281058E+14 *Ri^{3+}$
 $- 7.07333107437E+14 *Ri^{2+} - 3.6707736393E+14 *Ri+ - 7.61922167344E+13$

$C_9 = 1.04222257042E-5 *MM^{5+} - 0.00568638687811 *MM^{4+} - 1.22538148712 *MM^{3+}$
 $- 130.192026156 *MM^{2+} - 6809.14090088 *MM+ - 140091.512$
 $C_{10} = -3.00823121367E-7 *MM^{5+} - 5.30360506675E-5 *MM^{4+} - 0.11522361869 *MM^{3+}$
 $- 1.18037047329 *MM^{2+} - 60.0130304698 *MM+ - 1207.64$
 $H_c = 1.20159062451E-7 *MM^{5+} - 6.18867127825E-5 *MM^{4+} - 0.124540746647 *MM^{3+}$
 $- 1.21835307938 *MM^{2+} - 68.6880772548 *MM+ - 1040.93$
 $R_M = -2.27120577813E-8 *MM^{5+} - 1.21276431241E-5 *MM^{4+} - 0.0255340762997 *MM^{3+}$
 $- 2.64717757124 *MM^{2+} - 13.1701005204 *MM+ - 270.704$
 $V_A = 2.49986095444E-8 *MM^{5+} - 1.36462892412E-5 *MM^{4+} - 0.02294715595264 *MM^{3+}$
 $- 3.14325259723 *MM^{2+} - 16.5357203964 *MM+ - 342.149$
 $T_S = 2.55971029589E-7 *MM^{5+} - 0.00137840544453 *MM^{4+} - 0.022945050276 *MM^{3+}$
 $- 3.06537800799 *MM^{2+} - 158.003742782 *MM+ - 3183.46$
 $R_i = -2.77762328271E-11 *MM^{5+} - 1.37334687844E-8 *MM^{4+} - 2.62453394223E-6 *MM^{3+}$
 $- 0.00239703788394 *MM^{2+} - 0.0102015398874 *MM+ - 1.39002$

NAPHTENES

$C_{\alpha} = -1.85269786176E+12 * n^{5+} + 1.32064602532E+13 * n^{4+-} - 7.6547561829E+13 * n^{3+}$
 $- 5.36802845092E+13 * n^{2+-} - 3.82623198203E+13 * n^{+-} + 1.09088571321E+13$
 $C_{\beta} = -2.53243901614E+10 * n^{5+-} - 7.99679664E+11 * n^{4+-} + 1.93845658417E+12 * n^{3+}$
 $- 2.76419966434E+12 * n^{2+} + 1.97080758012E+12 * n^{+-} - 5.62044180249E+11$
 $H_{\alpha} = -2.26203921018E+12 * n^{5+-} - 6.61279917494E+13 * n^{4+-} - 4.59951582232E+13 * n^{3+}$
 $- 6.55851579602E+13 * n^{2+-} + 4.67585032677E+13 * n^{+-} - 1.3334205801E+13$
 $R_{\alpha} = -6.90032303396E+10 * n^{5+-} - 4.91985442812E+11 * n^{4+-} + 1.40309372198E+12 * n^{3+}$
 $- 2.0007040929E+12 * n^{2+} + 1.42639746368E+12 * n^{+-} - 4.06770805613E+11$
 $V_A = -2.7008234447E+9 * n^{5+} + 1.92548126357E+10 * n^{4+-} - 5.49076233871E+10 * n^{3+}$
 $- 7.0286681559E+10 * n^{2+-} - 5.58088814373E+10 * n^{+-} + 1.59136372015E+10$
 $T_S = -9.51016402964E+9 * n^{5+} + 6.77872287965E+10 * n^{4+-} - 1.93267937256E+11 * n^{3+}$
 $- 2.75507722708E+11 * n^{2+-} - 1.96367557178E+11 * n^{+-} + 5.59831898712E+10$
 $R_i = -1.79367999563E+7 * n^{5+-} - 1.27909117127E+8 * n^{4+-} + 3.64846029472E+8 * n^{3+}$
 $- 5.20330520981E+8 * n^{2+} + 3.71031246769E+8 * n^{+-} - 1.05826178099E+8$

$C_{\alpha} = -1.31331928749E+11 * d^{5+} + 5.08834819082E+11 * d^{4+-} - 7.8844336883E+11 * d^{3+}$
 $- 6.10745795755E+11 * d^{2+-} - 2.36508007415E+11 * d^{+-} + 3.66282057451E+10$
 $C_{\beta} = -6.18540565641E+9 * d^{5+-} - 2.40003858334E+10 * d^{4+-} + 3.72438611635E+10 * d^{3+}$
 $- 2.80925047423E+10 * d^{2+} + 1.12050057925E+10 * d^{+-} - 1.73788294143E+9$
 $H_{\alpha} = -1.50576717378E+11 * d^{5+-} - 5.84136093984E+11 * d^{4+-} + 9.06271085976E+11 * d^{3+}$
 $- 7.02908565129E+11 * d^{2+} + 2.72542936251E+11 * d^{+-} - 4.2262496108E+10$
 $R_{\alpha} = -4.55862650698E+9 * d^{5+-} - 1.76848259305E+10 * d^{4+-} + 2.74301872457E+10 * d^{3+}$
 $- 2.12817169562E+10 * d^{2+} + 8.25188730601E+9 * d^{+-} - 1.27962886221E+9$
 $V_A = -1.8814543185E+8 * d^{5+} + 7.29345946356E+8 * d^{4+-} - 1.13070877614E+9 * d^{3+}$
 $- 8.76303573971E+8 * d^{2+-} - 3.39503555324E+8 * d^{+-} + 5.26028470402E+7$
 $T_S = -4.80124072267E+8 * d^{5+} + 1.85797116461E+9 * d^{4+-} - 2.87553196832E+9 * d^{3+}$
 $- 2.22485218956E+9 * d^{2+-} - 8.605716716E+8 * d^{+-} + 1.3312665855E+8$
 $R_i = -1.0852316198E+6 * d^{5+-} - 4.21378046418E+6 * d^{4+-} + 6.54346371358E+6 * d^{3+}$
 $- 5.07970642208E+6 * d^{2+} + 1.9713486304E+6 * d^{+-} - 305963.391991$

$C_{\alpha} = -5.42304283405E-7 * Teb^{5+-} - .000335253843938 * Teb^{4+-} - .0800011968954 * Teb^{3+}$
 $- 9.13091184715 * Teb^{2+} + 492.119325558 * Teb^{+-} - 9924.78549483$
 $C_{\beta} = -1.45177513088E-8 * Teb^{5+} + 8.74016825623E-6 * Teb^{4+-} - .0020251765892 * Teb^{3+}$
 $- .22412254005 * Teb^{2+-} - 11.5029171276 * Teb^{+-} + 237.426837653$
 $H_{\alpha} = -2.41653354617E-7 * Teb^{5+-} - .000145999594365 * Teb^{4+-} - .0339209688112 * Teb^{3+}$
 $- 3.76355238393 * Teb^{2+-} - 191.800260533 * Teb^{+-} + 4367.20834751$
 $R_{\alpha} = -8.43227367053E-9 * Teb^{5+} + 5.08502145615E-6 * Teb^{4+-} - .00117910238642 * Teb^{3+}$
 $- .130438126155 * Teb^{2+-} - 6.64704368384 * Teb^{+-} + 147.501413721$
 $V_A = -1.15010638773E-9 * Teb^{5+-} - 7.11447117863E-7 * Teb^{4+-} - .000170709621012 * Teb^{3+}$
 $- .0196864889539 * Teb^{2+-} + 1.08101794286 * Teb^{+-} - 21.6148272846$
 $T_S = -1.06146479944E-8 * Teb^{5+-} - 6.4623349632E-6 * Teb^{4+-} - .00151427879639 * Teb^{3+}$
 $- .162445377845 * Teb^{2+-} + 8.99636398139 * Teb^{+-} - 156.201278265$
 $R_i = -3.36671379604E-12 * Teb^{5+-} + 1.95196216278E-9 * Teb^{4+-} - 4.2954151149E-7 * Teb^{3+}$
 $- 4.4125274135E-5 * Teb^{2+-} - .00201806472047 * Teb^{+-} + 1.06657502325$

$C_{\alpha} = -.00078333948777 * HV^{5+} + .298363619999 * HV^{4+-} - 2.786527369 * HV^{3+}$
 $- 3423.10572438 * HV^{2+-} - 128956.017192 * HV^{+-} + 1.93703021937E+6$
 $C_{\beta} = -9.25028496563E-5 * HV^{5+} + .0357920578955 * HV^{4+-} - 5.51612744169 * HV^{3+}$
 $- 423.328079567 * HV^{2+-} - 16181.6453341 * HV^{+-} + 246583.770369$
 $H_{\alpha} = -.00288636834593 * HV^{5+} + 1.11701911695 * HV^{4+-} - 172.1902275327 * HV^{3+}$
 $- 13218.239369 * HV^{2+-} - 505424.152943 * HV^{+-} + 7.70443217052E+6$
 $R_{\alpha} = -8.07294259942E-5 * HV^{5+} + .0312497942009 * HV^{4+-} - 81849186405 * HV^{3+}$
 $- 370.00053175 * HV^{2+-} - 14152.1851238 * HV^{+-} + 215807.767457$
 $V_A = -3.84070318461E-6 * HV^{5+} + .00148361563899 * HV^{4+-} - .228484582362 * HV^{3+}$
 $- 17.5395566187 * HV^{2+-} - 671.285868907 * HV^{+-} + 10250.7240282$
 $T_S = -5.13221723428E-5 * HV^{5+} + .0197343857548 * HV^{4+-} - 3.02176949481 * HV^{3+}$
 $- 230.347113811 * HV^{2+-} - 8742.94199123 * HV^{+-} + 132232.558344$
 $R_i = -7.93874993065E-9 * HV^{5+} + 3.05518618875E-6 * HV^{4+-} - .000468702056207 * HV^{3+}$
 $- .0358350886325 * HV^{2+-} - 1.3658834995 * HV^{+-} + 21.8118597075$



AROMATIQUES

$\text{Cg} = -1456877221692 * \text{Cg}^{4+} + 32.0355561466 * \text{Cg}^{3+} + 2891.42140442 * \text{Cg}^{2+} + 79159.9807263$

$\text{Hc} = 3.07459980577 * \text{Cg}^{4+} + 851.323400102 * \text{Cg}^{3+} + 76837.3070114 * \text{Cg}^{2+}$

$- 2.10360673797E+6 * \text{Cg}^{4+} - 1.41378657061E+7 * \text{Cg}^{3+}$

$\text{RM} = .091632112208 * \text{Cg}^{4+} + 25.3719269415 * \text{Cg}^{3+} + 2289.97523282 * \text{Cg}^{2+} + 62693.5642672$

$* \text{Cg}^{+} - 421346.369345 * \text{Cg}^{+}$

$\text{VA} = .00167765779426 * \text{Cg}^{4+} + 464491612026 * \text{Cg}^{3+} + 41.920472185 * \text{Cg}^{2+}$

$- 1147.56954343 * \text{Cg}^{+} - 7712.49993131 * \text{Cg}^{+}$

$\text{TS} = .0109988045403 * \text{Cg}^{4+} + 3.04571937496 * \text{Cg}^{3+} + 274.920817229 * \text{Cg}^{2+}$

$- 7527.42023646 * \text{Cg}^{+} - 50563.702427 * \text{Cg}^{+}$

$\text{Ri} = -2.16077378565E-5 * \text{Cg}^{4+} - .00598282993305 * \text{Cg}^{3+} - .539986515458 * \text{Cg}^{2+}$

$- 14.7832853612 * \text{Cg}^{+} + 100.421361001 * \text{Cg}^{+}$

$\text{Cp} = .00288825692959 * \text{Cp}^{4+} - 725113489695 * \text{Cp}^{3+} + 35.044514235 * \text{Cp}^{2+}$

$- 744.62789232 * \text{Cp}^{+} + 572.77086441 * \text{Cp}^{+}$

$\text{Hc} = -.00058765982783 * \text{Cp}^{4+} + 0824773886193 * \text{Cp}^{3+} - 4.1840499377 * \text{Cp}^{2+}$

$- 118.44933655 * \text{Cp}^{+} - 464.653219754 * \text{Cp}^{+}$

$\text{RM} = .3.81097674717E-5 * \text{Cp}^{4+} + .00512672394939 * \text{Cp}^{3+} + .252776763392 * \text{Cp}^{2+}$

$- 6.2272524867 * \text{Cp}^{+} - 31.6367362521 * \text{Cp}^{+}$

$\text{VA} = .1.13436656376E-7 * \text{Cp}^{4+} - 4.59919130783E-5 * \text{Cp}^{3+} + .00604167521699 * \text{Cp}^{2+}$

$- .204342695619 * \text{Cp}^{+} + 2.64625136876 * \text{Cp}^{+}$

$\text{TS} = .7.80698616202E-5 * \text{Cp}^{4+} - .00997510665363 * \text{Cp}^{3+} + .465875317163 * \text{Cp}^{2+}$

$- 9.3784784221 * \text{Cp}^{+} + 96.592716986 * \text{Cp}^{+}$

$\text{Ri} = -1.151228480841E-7 * \text{Cp}^{4+} + 1.55544448395E-5 * \text{Cp}^{3+} - .000260423299773 * \text{Cp}^{2+}$

$.0170091312838 * \text{Cp}^{+} + .7227441270869 * \text{Cp}^{+}$

$\text{Cg} = .2.8440783285E-9 * \text{Hc}^{4+} + 46013820898882E-5 * \text{Hc}^{3+} + .07057317356666 * \text{Hc}^{2+}$

$\text{Cp} = 3.79955140572E-11 * \text{Hc}^{4+} - 1.83263068499E-7 * \text{Hc}^{3+} + .000324337980279 * \text{Hc}^{2+}$

$- .213109922519 * \text{Hc}^{+} + 61.292398875 * \text{Hc}^{+}$

$\text{RM} = -3.38874241369E-11 * \text{Hc}^{4+} + 1.54387476996E-7 * \text{Hc}^{3+} + .000261585546467 * \text{Hc}^{2+}$

$- 225291852992 * \text{Hc}^{+} - 51.133400224 * \text{Hc}^{+}$

$\text{VA} = .8.91326269493E-13 * \text{Hc}^{4+} + 8.6154275554E-10 * \text{Hc}^{3+} + 5.4449596218E-6 * \text{Hc}^{2+}$

$- .00874552770853 * \text{Hc}^{+} + 4.23251244662 * \text{Hc}^{+}$

$\text{TS} = .1.38617689878E-10 * \text{Hc}^{4+} - 6.24240029177E-7 * \text{Hc}^{3+} + .00103722413771 * \text{Hc}^{2+}$

$- .753120406327 * \text{Hc}^{+} + 229.197709074 * \text{Hc}^{+}$

$\text{Ri} = -1.89213457713E-13 * \text{Hc}^{4+} + 8.94119670033E-10 * \text{Hc}^{3+} + 1.57404106705E-6 * \text{Hc}^{2+}$

$.00121539075163 * \text{Hc}^{+} + .716411139931 * \text{Hc}^{+}$

$\text{Cg} = .010076633532 * \text{RM}^{4+} - 1.50289747624 * \text{RM}^{3+} + 83.597195608 * \text{RM}^{2+} - 2055.57671384$

$* \text{RM}^{+} + 10258.3923451 * \text{RM}^{+}$

$\text{Cp} = 8.89102182905E-5 * \text{RM}^{4+} - 0135819534405 * \text{RM}^{3+} + .268231940422 * \text{RM}^{2+}$

$- 17.8429454161 * \text{RM}^{+} + 162.032452588 * \text{RM}^{+}$

$\text{Hc} = .00127736181539 * \text{RM}^{4+} + 1.89691521793 * \text{RM}^{3+} + 10.4890803195 * \text{RM}^{2+}$

$- 222.557035515 * \text{RM}^{+} + 2221.47391338 * \text{RM}^{+}$

$\text{VA} = -1.48289920782E-6 * \text{RM}^{4+} + .000107343657202 * \text{RM}^{3+} + .00160451300192 * \text{RM}^{2+}$

$- .226831117152 * \text{RM}^{+} + 4.21079721795 * \text{RM}^{+}$

$\text{TS} = .000164319373472 * \text{RM}^{4+} - .0241589543135 * \text{RM}^{3+} + 1.31395347465 * \text{RM}^{2+}$

$- .31.2772533895 * \text{RM}^{+} + 302.759125808 * \text{RM}^{+}$

$\text{Ri} = -2.11564477491E-7 * \text{RM}^{4+} + 3.25693047232E-5 * \text{RM}^{3+} + .00182002066042 * \text{RM}^{2+}$

$.0471926329357 * \text{RM}^{+} + .622217882406 * \text{RM}^{+}$

$Cg = -819868.282268 *VA^4 + 2.41031046639E+6 *VA^3 + 2.61730160731E+6 *VA^2 +$
 $I.24434527923E+6 *VA + -218743.489503$
 $Cp = 75011.2103061 *VA^4 + -220107.949974 *VA^3 + 238491.759075 *VA^2 + -113067.5$
 $VA + 19824.659556$
 $Hc = 2.10052201558E+6 *VA^4 + -6.16398866426E+6 *VA^3 + 6.67943352305E+6 *VA^2 +$
 $-3.16711675285E+6 *VA + 555642.794672$
 $RM = 65324.7503486 *VA^4 + -191711.909396 *VA^3 + 207763.42519 *VA^2 + 90525.112$
 $*VA + 17289.9337088$
 $TS = 1188.36964154 *VA^4 + -3426.74096072 *VA^3 + 3633.52205724 *VA^2 + -1672.864$
 $*VA + 312.985745353$
 $Ri = 9.85280579459 *VA^4 + -29.0012790088 *VA^3 + 31.5422705409 *VA^2 + -15.03480$
 $*VA + 3.71408185465$

$Cg = 2022.31544167 *TS^4 + 1.18750877188E+9 *TS^3 + 9.43396739978E+6 *TS^2 +$
 $I.73053841275E+8 *TS + 1.18750877188E+9 *TS^4 + 3.89236248856E+6 *TS^3 +$
 $-7.47398201842E+7 *TS + 5.37935692682E+8$
 $Hc = 34691.3005694 *TS^4 + -3.9702269891E+6 *TS^3 + 1.7035276938E+8 *TS^2 +$
 $-3.24795774125E+9 *TS + 2.32174527814E+10$
 $RM = 1025.96540452 *TS^4 + -117453.224694 *TS^3 + 5.04118583613E+6 *TS^2 +$
 $-9.61444789748E+7 *TS + 6.87473127383E+8$
 $VA = -29.950141059 *TS^4 + 3347.28136769 *TS^3 + -140273.109285 *TS^2 +$
 $2.61234954875E+6 *TS + -1.82421554193E+7$
 $Ri = 1.567457284711 *TS^4 + 63.8965826211 *TS^3 + 2698.03797909 *TS^2 + -50532.65$
 $*TS + 356320.50625$

$Cg = 8.65981211624E+13 *Ri^4 + 3.62598103609E+14 *Ri^3 + 5.65452195612E+14 *Ri^2 +$
 $4.13282196598E+14 *Ri + 1.09831148501E+14$
 $Cp = -1.2378143685E+13 *Ri^4 + 5.25432725443E+13 *Ri^3 + 8.36391771512E+13 *Ri^2 +$
 $5.9172461157E+13 *Ri + -1.5698586462E+13$
 $Hc = -3.41520624878E+14 *Ri^4 + 1.44970110359E+15 *Ri^3 + 2.30765582558E+15 *Ri^2 +$
 $1.63260398373E+15 *Ri + -4.33133426441E+14$
 $RM = 1.04006767211E+13 *Ri^4 + 4.44088278794E+13 *Ri^3 + 7.00179965483E+13 *Ri^2 +$
 $5.01018263057E+13 *Ri + -1.32921279023E+13$
 $VA = -1.10597342149E+11 *Ri^4 + 4.694744100E+11 *Ri^3 + 7.47326165154E+11 *Ri^2 +$
 $5.28719942086E+11 *Ri + -1.40272397996E+11$
 $TS = 2.68404811206E+11 *Ri^4 + 1.13927542452E+12 *Ri^3 + 1.81343198737E+12 *Ri^2 +$
 $1.28287042712E+12 *Ri + -3.40336804685E+11$

$Cg = 1.01326103874E-5 *Teb^4 + -0.0521881545608 *Teb^3 + 1.1983317244 *Teb^2 +$
 $-110.539038697 *Teb + 3893.13545955$
 $Cp = -3.17509037479E-8 *Teb^4 + 7.16094208458E-6 *Teb^3 + .000969775293355 *Teb^2 +$
 $-0.0961111048875 *Teb + 18.6240848274$
 $Hc = -1.88767069961E-6 *Teb^4 + .000832222249908 *Teb^3 + -118029163171 *Teb^2 +$
 $11.2849708776 *Teb + 283.542811214$
 $RM = -9.56110901757E-8 *Teb^4 + 4.71856339244E-5 *Teb^3 + -0.00815307644631 *Teb^2 +$
 $757680517235 *Teb + -2.4917877818$
 $VA = -9.0530067052E-9 *Teb^4 + 4.21888770743E-6 *Teb^3 + -0.00637765530813 *Teb^2 +$
 $0.360935739983 *Teb + .00628164646804$
 $TS = 1.8387082283E-7 *Teb^4 + -0.00102270933151 *Teb^3 + .0207304906925 *Teb^2 +$
 $-1.80251782986 *Teb + 84.5444575163$
 $Ri = -1.55330601125E-10 *Teb^4 + 9.61480965204E-8 *Teb^3 + -2.21237980342E-5 *Teb^2 +$
 $.00218924752664 *Teb + .984640722345$

AROMATIQUES

$Cg = 8.71038608668E+10 * n^{4+-5} 197240427706E+11 * n^{3+} 1.16289129979E+12 \pm n^{2+}$
 $+ 1.15643851361E+12 * n^{4+-4} 4.31257711522E+11$
 $Cp = 4.00570373682E+10 * n^{4+-2} 43863433089E+11 * n^{3+} 5.4582917187E+11 \pm n^{2+}$
 $- 5.42979291603E+11 * n^{4+-1} 2.0255363578E+11$
 $Hc = 1.082218058E+12 * n^{4+-6} 45953081167E+12 * n^{3+} 1.44583064536E+13 \pm n^{2+}$
 $- 1.438302866E+13 * n^{4+-5} 5.36554108752E+12$
 $Rm = 3.1938830911E+10 * n^{4+-1} 9063628607E+11 * n^{3+} 4.26701269271E+11 \pm n^{2+}$
 $- 4.24481778897E+11 * n^{4+-3} 1.58352057457E+11$
 $Va = 6.01028008102E+8 * n^{4+-3} 5.8710393991E+9 * n^{3+} 8.02830212058E+9 \pm n^{2+}$
 $- 7.98583217015E+9 * n^{4+-2} 2.97883983435E+9$
 $Ts = 4.91779960534E+9 * n^{4+-2} 93500678668E+10 * n^{3+} 6.568672205727E+10 \pm n^{2+}$
 $- 6.53374911036E+10 * n^{4+-1} 2.4371233952E+10$
 $Ri = -9.2789286363E+6 * n^{4+-5} 5.5375295203E+7 * n^{3+} -1.23926644931E+6 \pm n^{2+}$
 $1.23262213949E+7 * n^{4+-4} 5.9754138768E+7$

$Cg = 1.57784383129E+10 * d^{4+-5} 44741908054E+10 * d^{3+} 7.05251585016E+10 \pm d^{2+}$
 $- 4.05798175255E+10 * d^{4+} 8.75593714352E+9$
 $Cp = -5.98324709626E+10 * d^{4+} 2.06413471468E+11 * d^{3+} -2.67030594237E+11 \pm d^{2+}$
 $1.53529614337E+11 * d^{4+-3} 3.1013179769E+10$
 $Hc = -1.5047000582E+12 * d^{4+} 5.4669350064E+12 * d^{3+} -7.07233154594E+12 \pm d^{2+}$
 $4.06620663154E+12 * d^{4+-3} 7.6674240554E+11$
 $Rm = -4.72005189232E+10 * d^{4+} 1.6310948294E+11 * d^{3+} -2.11007579284E+11 \pm d^{2+}$
 $1.21317941933E+11 * d^{4+-2} 6.1561600223E+10$
 $Va = -8.65627365552E+8 * d^{4+} 2.98611873798E+9 * d^{3+} -3.86282226436E+9 \pm d^{2+}$
 $2.220080365581E+9 * d^{4+-4} 7.8781476403E+8$
 $Ts = -5.641134181717E+9 * d^{4+} 1.94628232324E+10 * d^{3+} -2.51806757777E+10 \pm d^{2+}$
 $1.44789587015E+10 * d^{4+-3} 1.2197571329E+9$
 $Ri = 1.10950467947E+7 * d^{4+} -3.82766783076E+7 * d^{3+} 4.95177707141E+7 \pm d^{2+}$
 $-2.8470554998E+7 * d^{4+-2} 6.13836490846E+6$

$Cg = 00330532299355 * Hv^{4+-1} 05641956799 * Hv^{3+} 126.407515248 * Hv^{2+}$
 $- 8710.78252895 * Hv^+ 133259.999424$
 $Cp = -0.00280019514428 * Hv^{4+} 0.0931089179626 * Hv^{3+} -11.5506583747 * Hv^{2+}$
 $632.503925207 * Hv^{4+-1} 12853.8854745$
 $Hc = -0.0797057050009 * Hv^{4+} 2.64027132111 * Hv^{3+} -326.335618173 * Hv^{2+}$
 $17808.9030983 * Hv^{4+-3} 360414.815614$
 $Rm = -0.000252295171029 * Hv^{4+} .0834260399835 * Hv^{3+} -10.295151724 * Hv^{2+}$
 $561.085896074 * Hv^{4+-1} 1342.1559716.$
 $Va = -1.20831350473E-5 * Hv^{4+} 0.0040054801978 * Hv^{3+} -494763673975 * Hv^{2+}$
 $26.9708337762 * Hv^+ -546.422183347$
 $Ts = 6.7400978376E-5 * Hv^{4+} -0.0216228647345 * Hv^{3+} 2.58952565373 * Hv^{2+}$
 $-137.234396027 * Hv^+ 2744.46866526$
 $Ri = 2.14318140207E-8 * Hv^{4+} -8.14996283422E-6 * Hv^{3+} .00112237083957 * Hv^{2+}$
 $-0.0667005136886 * Hv^+ 2.50966117776$

$Cg = 0.0013525131461 * MM^{4+-} 059988216476 * MM^{3+} 9.92131553559 * MM^{2+}$
 $-725.22831594 * MM^+ 19675.0314555$
 $Cp = 7.24657550376E-7 * MM^{4+} -0.00034664355935 * MM^{3+} .0570067654502 * MM^{2+}$
 $-3.837520302 * MM^+ 103.972963397$
 $Hc = 4.25019712912E-6 * MM^{4+} -0.0018938456607 * MM^{3+} .313924150692 * MM^{2+}$
 $-11.7974854953 * MM^+ 531.458851812$
 $Rm = -3.81343070191E-7 * MM^{4+} .000167913805841 * MM^{3+} -.0275363952919 * MM^{2+}$
 $2.32693182239 * MM^+ -53.3790473423$
 $Va = -1.54025154E-8 * MM^{4+} 2.45626856116E-6 * MM^{3+} .000459393043177 * MM^{2+}$
 $-0.0669068288907 * MM^+ 4.77335535946$
 $Ts = 2.10986634523E-6 * MM^{4+} -0.000921972944816 * MM^{3+} .149047451476 * MM^{2+}$
 $-10.547087861 * MM^+ 303.4898825615$
 $Ri = -2.03082105008E-9 * MM^{4+} 1.29426540164E-6 * MM^{3+} -.000220655579265 * MM^{2+}$
 $.0165354614269 * MM^+ .604318251304$

A) APPLICATIONS DES EQUATIONS OBTENUES PAR LA METHODE DU POLYNOME D'INTERPOLATION DE NEWTON

I) Applications aux corps purs.

Prenons par exemple les corps purs suivants :

Paraffine : Pentane ; MM.72, I5I

Naphtène : cyclohexane ; MM.84, I62

Aromatique: Benzène MM.78, II4

et connaissant la masse moléculaire de chaque hydrocarbure, nous calculons les valeurs des autres propriétés.

propriét- és.	Cg($^{\circ}$ C)	Cn(cal/ $^{\circ}$ mole).	Hc(Kcal/ mole).	PM (ml/ mole)	VA (c. poises).	TS (dyn/cm)	Ri
hexane	val.exp. -129,72I	28,73	838,77	25,286	0,224	15,48	I,04402
cyclo-	val.calc. -127,48	28,75	838,80	25,28	0,2235	15,5I	I,0440I
benze-	val.exp. 6,555	25,40	936,86	27,722	0,805	24,38	I,03660
nne.	val.calc. 7,09	25,48	936,77	27,73	0,853	26,32	I,03658
	val.exp. 5,533	19,52	780,98	26,20I	0,6010	28,18	I,06107
	val.cal. 3,56	19,55	780,99	26,19	0,6004	28,18	I,06140

Remarque : Si nous examinons les équations donnant le point de congélation, on constate que les termes des polynomes sont grands, de sorte que lorsqu'on fait l'opération sur une calculatrice simple de poche, les chiffres décimaux n'apparaissent pas sur l'écran, ce qui donne parfois des grands écarts entre la valeur calculée et la valeur expérimentale.

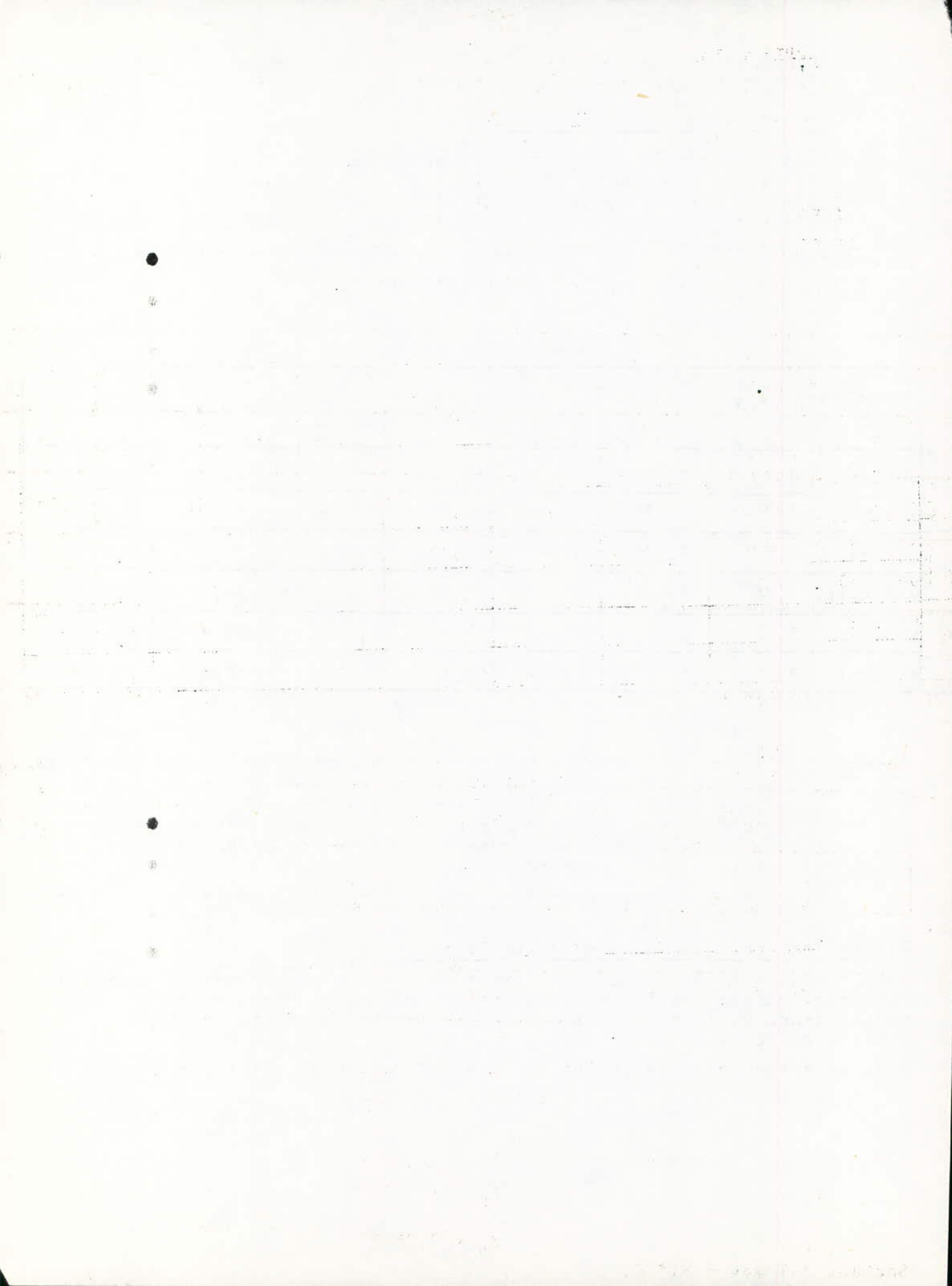
Les équations proposées sont donc applicables aux corps purs.

2) Applications aux fractions pétrolières.

Nous devons vérifier si ces équations permettent de retrouver les valeurs des propriétés de quelques fractions pétrolières légères à partir de la connaissance de la composition (en % molaire) et d'une propriété quelconque de la fraction.

Nous supposons que les propriétés sont additives en poids.

.../...



a) A la fraction 5 (I) (projet de fin d'étude, promotion Janvier 1985, p:67)

On donne. $X_p = 70,6 \%$

$X_n = 29,4 \%$

$X_a = 0 \%$

sachant : MM = 90,8

les autres propriétés sont calculées.

Propriétés	$C_p(\text{cal}/^{\circ}\text{C mol})$	$H_c(\text{Kcal}/\text{mol})$	$R_M(\text{ml/mol})$	R_i	$P_c(\text{atm})$	$T_c(^{\circ}\text{C})$	$V_c(\text{cm}^3/\text{mole})$	$d(\text{g/cm}^3)$	n
val.exp.	33,14 (*)	-	30,98	1,0425	31,7	249,6	371	0,693	1,389
val.calc.	33,9	1035,5	31,04	1,0428	29,9	258,9	373,6	0,683	1,376
écart(%)	2,3	-	0,2	0,03	5,7	3,7	0,7	1,4	0,9

(*) valeur lue sur abaque (MUITHIER, Raffinage et Génie-Chimique, p:88)

Sachant : $R_M = 30,98$

Propriétés	$C_p(\text{cal}/^{\circ}\text{C mole})$	$H_c(\text{Kcal}/\text{mole})$	R_i	$MM(\text{g})$	$T_{eb}(^{\circ}\text{C})$
Val.exp.	33,14	-	1,0425	90,8	76
Val.calc.	33,87	1033	1,0429	90,62	80,12
écart	2,2	-	0,04	0,2	5,4

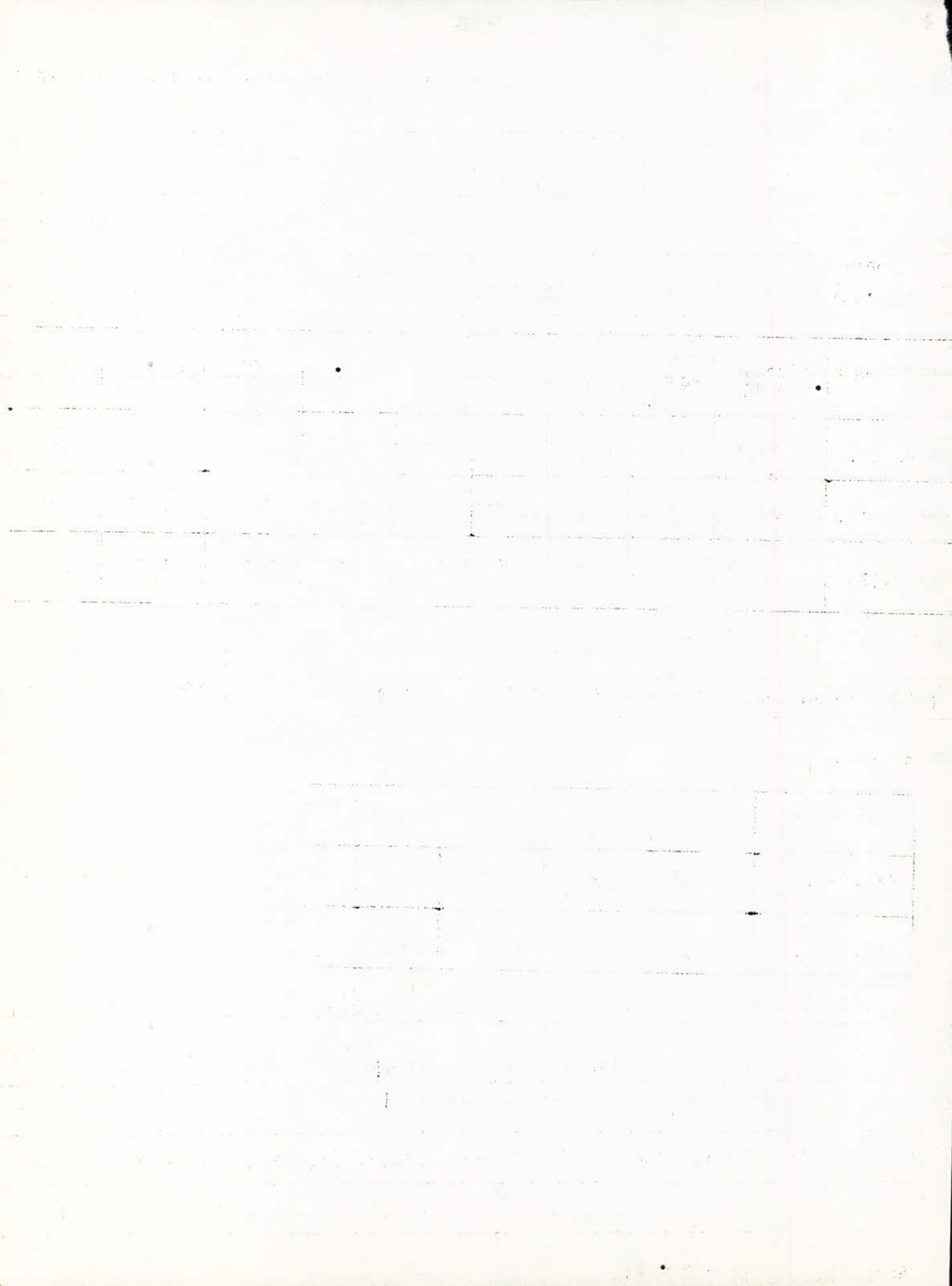
b) A la fraction II (2)(issue de la distillation d'un pétrole brut de Hassi-Messaoud Nord).

On donne : $X_p = 71,18 \%$

$X_n = 19,04 \%$

$X_a = 9,78 \%$

Sachant : $T_{max} = 81^{\circ}\text{C}$



Propriétés	Cp(cal/ °C mole)	Hc (Kcal/ mole)	RM	TS(dyn/ cm).	Ri	Pc(atm)	Tc(°C)	MM(g)	Δ_{HV} (cal)
Val.exp.	34,41	-	32,II	20,2	1,0473	30,25	252	93	76,5
Val.calc.	32,68	1007,6	30,5	20,71	1,0450	32,66	258,3	89	80,9
écart (%)	5	-	5,3	2,5	0,2	8	2,5	4,2	5,7

(*) même référence bibliographique, p:78

Sachant Cp = 34,41 cal/°C mole.

propriétés	Hc (Kcal/mol)	RM ml/mol	TS (dyn/cm.)	Ri	M _r (g)	Teb(°C)
val.exp	-	32,II	20,2	1,0473	93	81
Val.calc.	1047,3	31,74	20,13	1,0452	96,29	85,76
écart(%)	-	I,I	0,3	0,2	3,5	5,8

c) A la fraction 30 (2)

On donne

$$X_p = 57,1 \%$$

X_n = 0 % (Composition connue par C.P.G.)

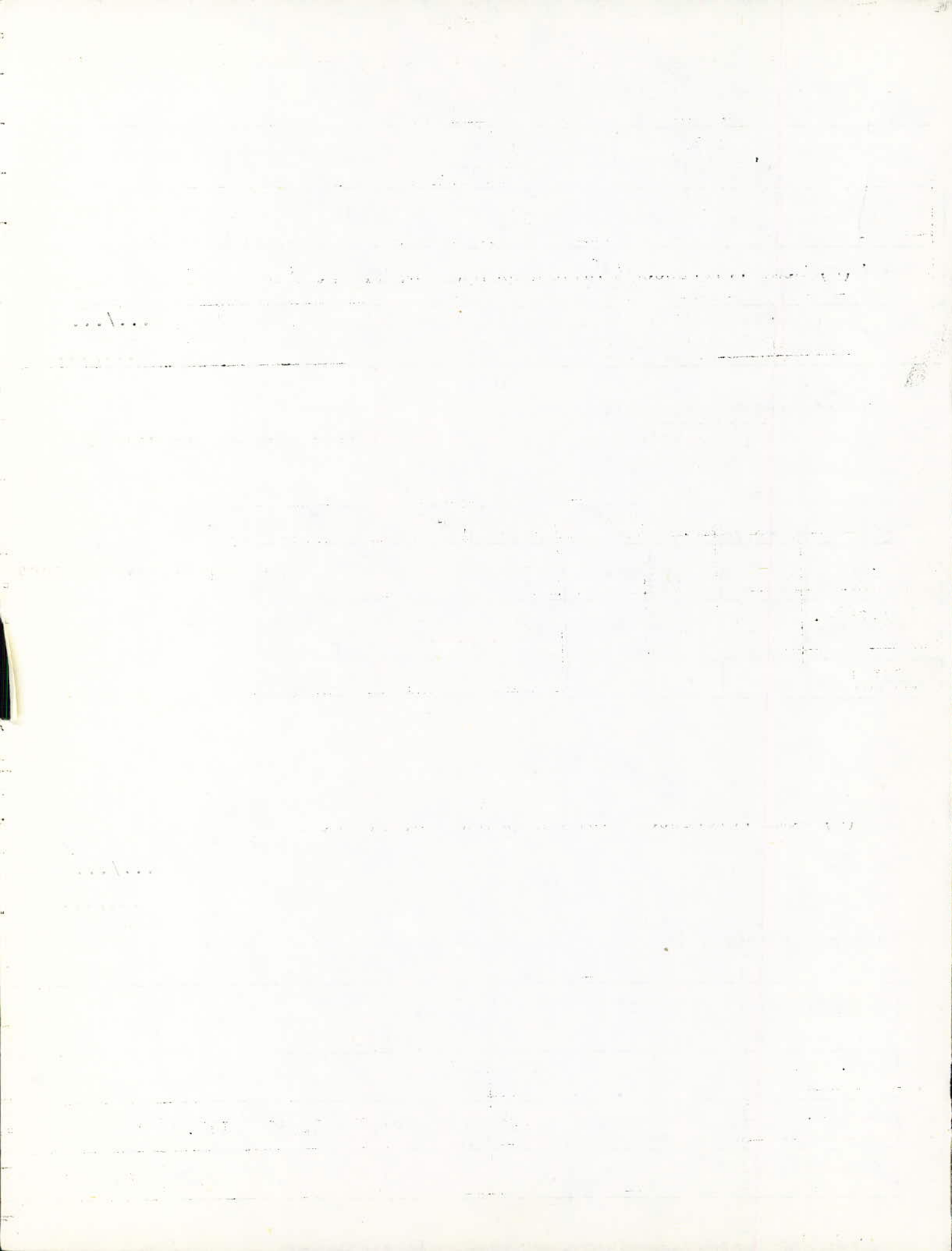
$$X_d = 42,9 \%$$

Sachant : T_{max} = 175 °C.

T _d (°C)	Propriétés	Cp(cal/ °Cmole)	Hc(Kcal/ mole).	RM(ml/ mole)	V(cst)	TS(dyn/ cm).	Ri	MM(g)	Pc(atm)	Tc (°C)
-56 *	val.exp.	49,7	1520,7	46,25	1,0505	24,7	1,0501	137	24,7	356
-57,12. val.calc.	49,34	1508,4	46,52	1,135		25,67	1,0522	137,16	24,35	360
2	écart (%)	0,7	0,8	0,6	8	3,9	0,2	0,1	1,4	1,1

(*) Même référence bibliographique.

p: 119 et 109



Remarques : La viscosité n'est pas une propriété additive, on la calcule de la façon suivante :

$$\ln \bar{\eta} = \sum x_i \frac{\ln \eta_i}{\sum x_i}$$

On rappelle que : $\bar{\eta} = \frac{VA}{d}$, VA (viscosité absolue) et d étant prises à la même température.

L'écart relativement grand qui existe entre la valeur expérimentale et la valeur calculée de la viscosité résulte du fait que nous avons comparé les viscosités à des températures différentes : la viscosité calculée est donnée à 25°C alors que la valeur expérimentale est mesurée à 100°F ($\approx 38^\circ\text{C}$)

3) CONCLUSION.

Les compositions des fractions pétrolières données par la C.P.G. sont correctes.

L'hypothèse d'additivité des propriétés est juste.

Il semble que l'approximation faite en supposant que le point de congélation est une propriété additive est acceptable.

Enfin les valeurs des propriétés calculées sont proches des valeurs expérimentales.



B) EQUATIONS PERMETTANT LA DETERMINATION DES PROPRIETES CONNAISSANT CERTAINS PARAMETRES.

Nous proposons des équations pour chaque famille d'hydrocarbures, permettant la détermination de certaines propriétés à partir de la connaissance des paramètres : densité, masse moléculaire, température d'ébullition, facilement accessibles.

puis nous donnons des applications de ces équations pour les corps purs, les mélanges de corps purs et les fractions pétrolières, en supposant que les propriétés soient additives en poids.

I) Equations des Paraffines.

- Cg = 313,7 d + 0,468 MM + 0,237 Teb - 92,9
- Cp = 88,54 d + 0,129 MM + 0,066 Teb - 39,1
- Hc = 2531,1 d + 3,713 MM + 1,891 Teb - 1102
- RM = 75,2 d + 0,110 MM + 0,056 Teb - 32,4
- VA = 2,160 d + 3,0710⁻³ MM + 1,5810⁻³ Teb - 1,483
- TS = 25,2 d - 0,038 MM + 0,019 Teb - 3,34
- Ri = 7,67 10⁻³ d + 1,15 10⁻⁵ MM + 5,83 10⁻⁶ Teb + 1,0383.
- P_c = -39,634 d - 0,0588 MM - 0,030 Teb + 62,93
- T_c = 468,92 d + 0,6994 MM + 0,3568 Teb - 157,27
- V_c = 941,3 d + 1,4184 MM + 0,7212 Teb - 414,8
- n = 0,1745 d + 2,55 10⁻⁴ MM + 1,31 10⁻⁴ Teb + 1,225
- HV = - 61,45 d - 0,0911 MM - 0,0466 Teb + 131,43
- Ψ = 2,04 d + 3,18 10⁻³ MM + 1,59 10⁻³ Teb - 1,286

2) Equations des Naphtènes.

- Cg = 74,91 d - 0,1312 MM - 0,0601 Teb + 153,5
- Cp = 168,8 d + 0,1444 MM + 0,076 Teb - 120
- Hc = 5306,5 d + 3,6874 MM + 1,9731 Teb - 3558
- RM = 131,15 d + 0,1102 MM + 0,059 Teb - 85,3
- VA = 4,759 d + 3,99 10⁻³ MM + 2,1 10⁻³ Teb - 3,54
- Ri = 0,0463 d + 0,35 10⁻⁴ MM + 1,85 10⁻⁵ Teb + 0,996
- P_c = -92,66 d - 0,0738 MM - 0,0396 Teb + 118,8
- T_c = 895,3 d + 0,727 MM + 0,366 Teb - 494
- V_c = 1588,8 d + 1,330 MM + 0,710 Teb - 1054
- n = 0,2084 d + 1,48 10⁻⁴ MM + 8 10⁻⁵ Teb + 1,2388
- HV = - 157,1 d - 0,129 MM - 0,069 Teb + 220,2
- Ψ = 3,883 d + 2,71 10⁻³ MM + 1,47 10⁻³ Teb - 2,577
- TS = 28,69 d + 0,0239 MM + 0,0125 Teb - 1,75

3) Equations des Aromatiques.

- . Cg = 2437,5 d - 0,999 MM - 0,5185 Teb - 1728
- . Cp = - 474,5 d + 0,1337 MN + 0,0736 Teb + 416,1
- . Hc = - 13068,6 d + 3,7017 MN + 2,0363 Teb + 11697,3
- . RN = - 393,7 d + 0,1122 MM + 0,0617 Teb + 355,2
- . VA = - 5,638 d + 2,27 10^{-3} MM + 1,2 10^{-3} Teb + 5,16

- . TS = - 31,18 d + 5,7 10^{-3} MM + 3,17 10^{-3} Teb + 54,15
- . Ri = 0,1946 d - 3,1 10^{-5} MM - 1,8 10^{-5} Teb + 0,899
- . Pc = 363,9 d - 0,1156 MM - 0,064 Teb - 256
- . Tc = - 1746,3 d + 0,5784 MM + 0,3183 Teb + 1743
- . Vc = - 4195,8 d + 1,4258 MM + 0,7809 Teb + 3740
- . n = 0,1886 d - 6,1 10^{-5} MM - 3,3 10^{-5} Teb + 1,3395
- . HV = 424,9 d - 0,1392 MM - 0,0767 Teb - 260,2
- . γ = - 5,786 d + 2,27 10^{-3} MM + 1,22 10^{-3} Teb + 5,293

4) Applications :

a) Aux corps purs.

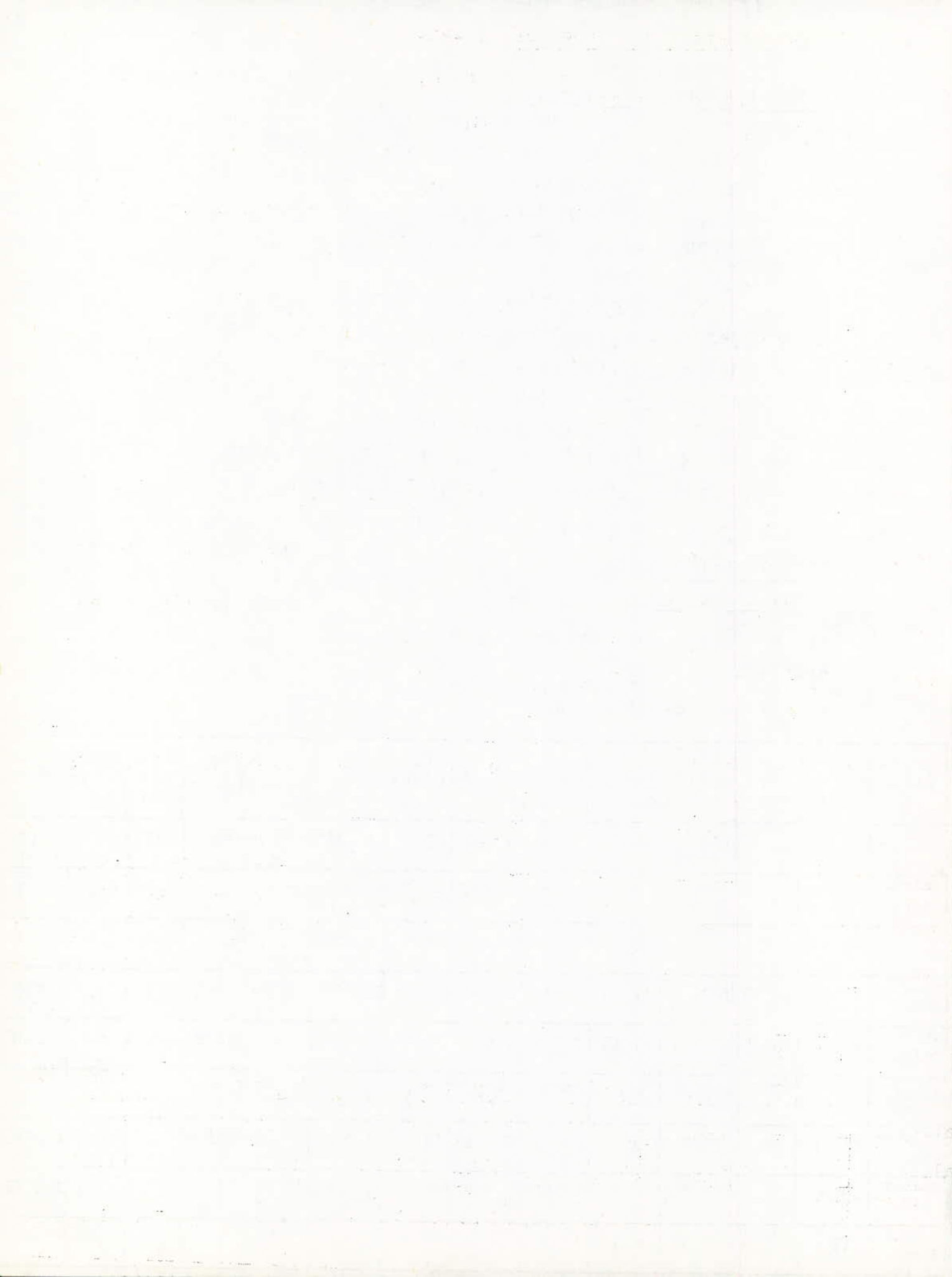
Prenons par exemple les corps purs suivants :

paraffine : n.décane.

naphtène : propylcyclohexane

aromatique : ethylbenzene.

Propriétés	Cg (°K)	Cp cal/ deg/mol.mol	Hc Kcal/ mole	PM	VA	η (cst)	TS (dyn/cm.)	Ri	Pc (atm)	Tc (°C)	Vc cm ³ / mole	HV cal/g	n
valeurs exp.	243,49	56,07	1520,06	48,503	0,8588	1,004	23,37	1,04654	20,70	344,5	603	65,98	1,40967
valeur calc.	242,78	55,05	1593,8	47,6	0,797	0,925	23,67	1,04652	20,55	344,9	596,2	65,72	1,4108
écart	0,3	1,8	1,6	1,8	7,1	7,9	1,3	0,002	0,7	0,1	1,1	0,4	0,08
valeur exp.	178,26	44,03	1404,34	41,69	0,931	1,000	25,85	1,03990	27,70	366	477	68,30	1,43478
valeur calc.	186,6	43,45	1407,6	41,43	1,051	1,062	25,88	1,03988	30	362,2	479,9	69	1,4346
écart (%)	4,7	1,3	0,2	0,6	12,9	6,2	0,1	1,510 ³	8,6	1	0,6	1	0,01
valeur exp.	178,185	30,69	1091,03	35,77	0,6354	0,6428	28,48	1,06188	35,62	344,02	374	80,07	1,49320
valeur calc.	197,9	31	1094,4	35,9	0,701	0,709	28,3	1,06112	36,9	341,4	378,3	81,1	1,4912
écart	11	1	0,3	0,3	10,3	10,3	0,6	0,07	3,6	0,8	1,1	1,3	0,1



b) Aux mélanges de corps purs. -29-

- A un mélange de 3 hydrocarbures C₇, C₈, C₉, de chaque famille (P,N,A) de composition :

$$X_p = X_n = X_A = 0,33$$

Propriétés	C _p (°k)	C _p /mole cal/deg	Hc Kcal/mol	RM ml/mol.	VA c.poise	TS (dyn/cm)
valeurs calculées à partir des données exp.	181,69	37,95	1215,4	37,36	0,6619	24,72
val.calculées à partir des équat.proposées.	197,5	38,3	1229	37,7	0,7237	24,73
écart (%)	8,7	I	I,I	0,9	9,3	0,06

Propriétés	R _i	P _c (atm)	T _c (°C)	V _c (cm ³) / mole.	n	Hv(cal/g.)
Val.cal. à partir données exp.	I,048764	30,427	323,68	433	I,43846	75,08
val.cal. à partir équations proposées.	I,04830	31,43	323,77	434,8	I,4371	75,58
Ecart (%)	0,04	3,3	0,03	0,4	0,09	0,7

- A un mélange de 3 hydrocarbures C₇, C₈, C₉ de chaque famille (P,N,A) de composition : X_p = 0,6 ; X_n = 0,2 ; X_A = 0,2

Propriétés	C _p (°k)	C _p /mol	Hc(kcal/RM(ml/mole))	VA(c. poises)	TS(dyn/cm.)
val.cal à partir don.exp.	I91,48	40,82	I252,3	38,09	0,6074
val.cal à partir équat.prop.	202	41,25	I266,7	38,4	0,6627
écart (%)	5,5	I	I,I	0,9	9,I
					0,3

Propriétés	R _i	P _c (atm)	T _c (°C)	V _c (cm ³ /mole)	n	Hv(cal/g.)
val.cal. à partir don.exp.	I,04757	28,142	312,116	456,06	I,42085	73,9
val.cal. à partir équat.prop.	I,0426	28,79	311,93	458,4	I,41914	74,29
écart (%)	0,03	2,3	0,06	0,5	0,I	0,5

c) Aux fractions pétrolières.

. Prenons la fraction 5 de composition : $x_p = 70,6\%$

$$x_n = 29,4 \%$$

$$x_A = 0$$

et dont les caractéristiques sont :

$$d = 0,693 ; \quad T_{eb} = 76^\circ C ; \quad MM = 90,8$$

Propriétés	Pc(atm)	Tc($^\circ C$)	Vc (cm 3 /mol.)	Cp (cal/ $^\circ C$ mol.)	Δ_{HV} cal/g	η_{cst} $100^\circ F$	n	PM/mol	Ri
valeurs exp.	31,7	249,6	371	33,14	77,92	0,451	1,389	30,98	1,0425
valeurs calc.	32,8	247	362,5	32,9	82	0,505	1,386	29,9	1,0414
écart(%)	3,6	1	2,3	0,7	5,4	12	0,2	3,5	0,1

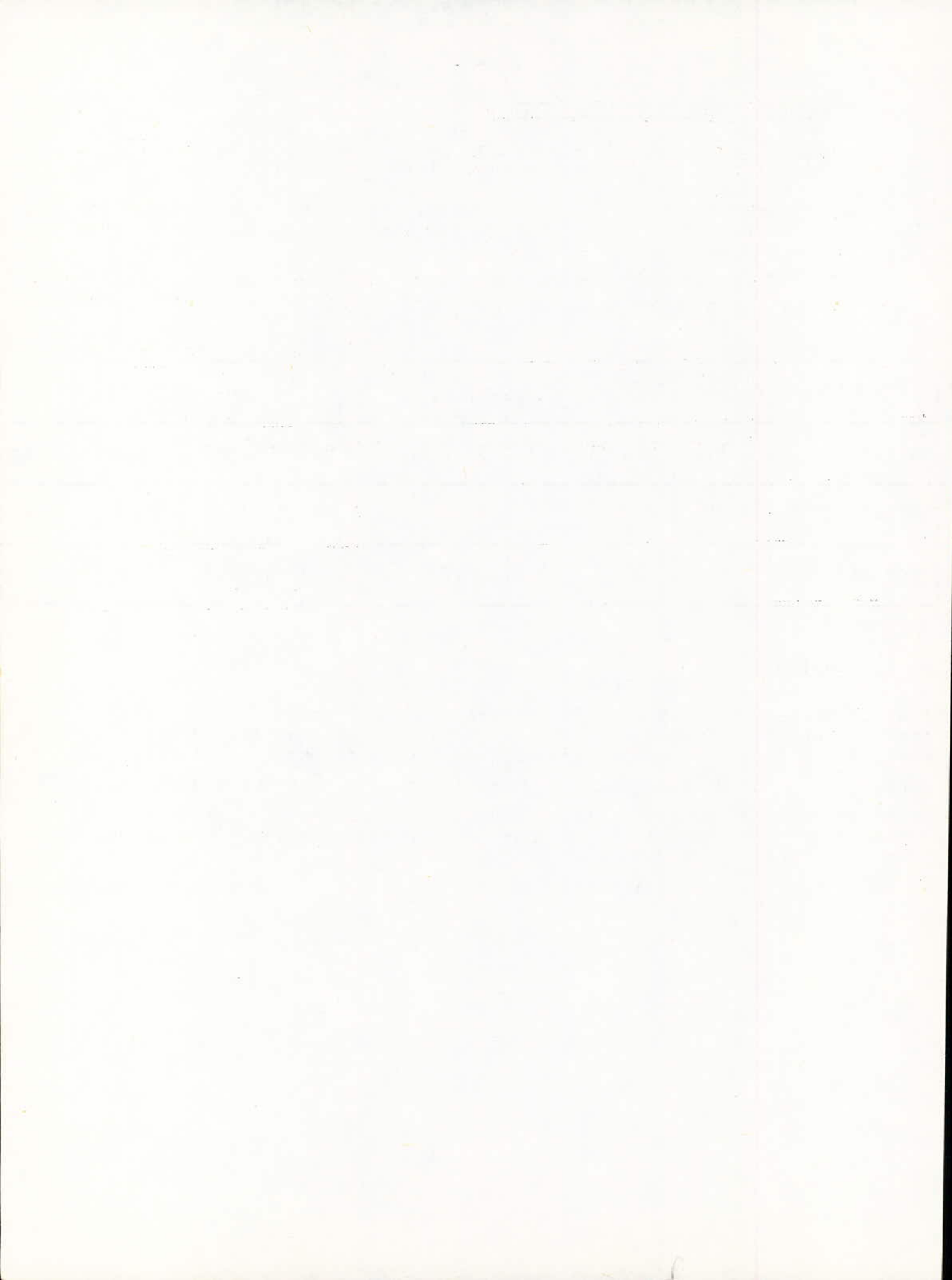
5) Conclusion.

Nous constatons que ces équations donnent des valeurs des propriétés assez proches des valeurs expérimentales aussi bien pour les corps purs, les mélanges de corps purs ou pour les fractions pétrolières.

Seules, le point de congélation et la viscosité donnent de grands écarts.

En effet quand on approche les courbes des paramètres Cn et VA (ou η) à des droites (approximation au sens des moindres carrés), l'erreur que l'on commet est très grande.

Enfin, l'hypothèse d'additivité des propriétés semble correcte.



C. CONSTRUCTION DE NOMOGRAMMES

Un nomogramme sert à déterminer graphiquement les propriétés physiques et chimiques d'un composé dont une seule propriété est connue.

La construction est basée sur la recherche de points qui coupent des axes de propriétés gradués (ces axes pouvant avoir une forme quelconque).

Si les points pivots sont difficiles à trouver pour les paraffines ; pour les naphtènes et aromatiques, la recherche est encore beaucoup plus complexe.

Enfin, l'utilité du nomogramme est qu'il permet un gain formidable de temps, si nous n'avons pas de possibilité de mesurer expérimentalement ces propriétés.

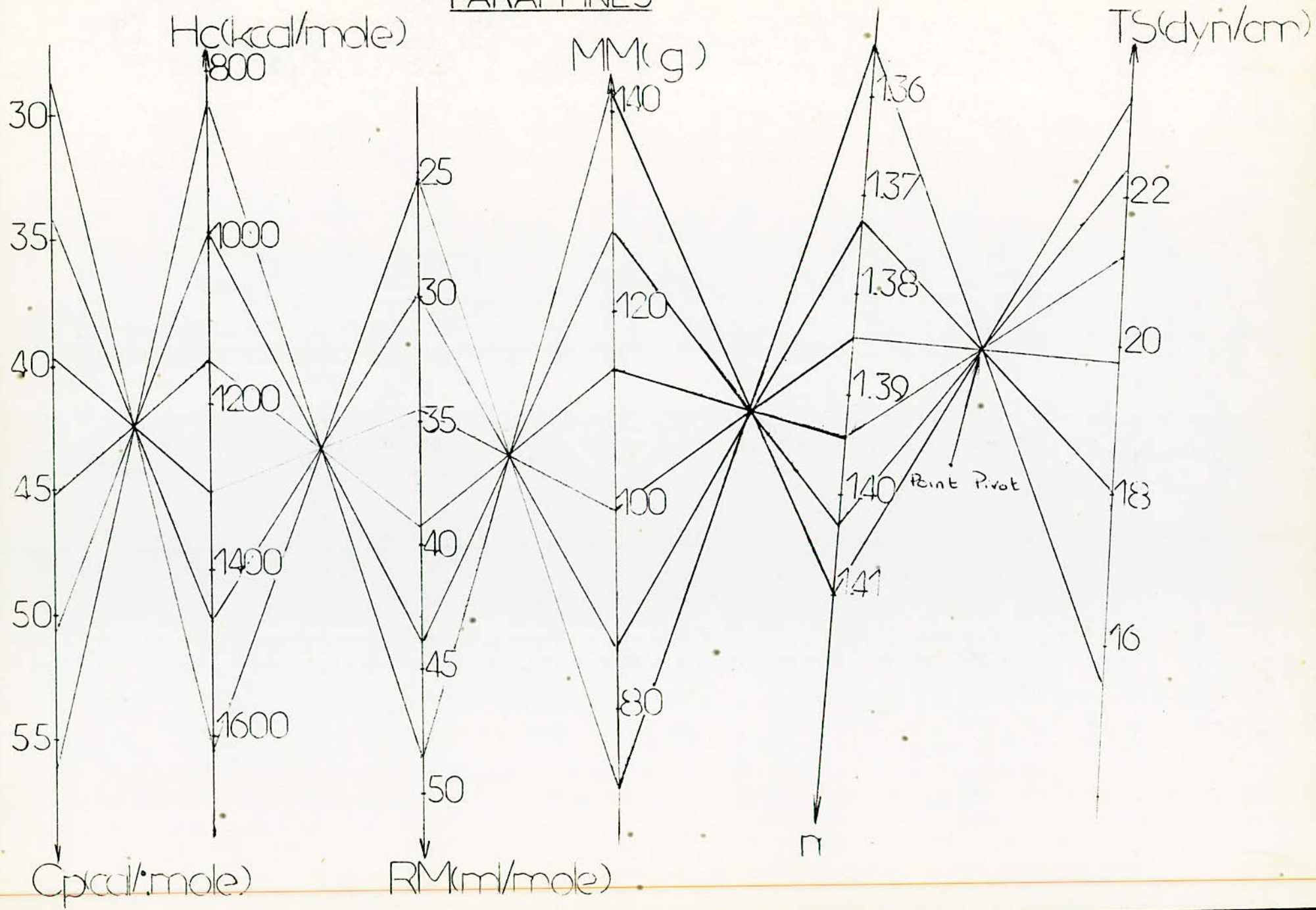
A la précision du graphique près, les valeurs des propriétés lues sur le nomogramme peuvent être d'une grande utilité.

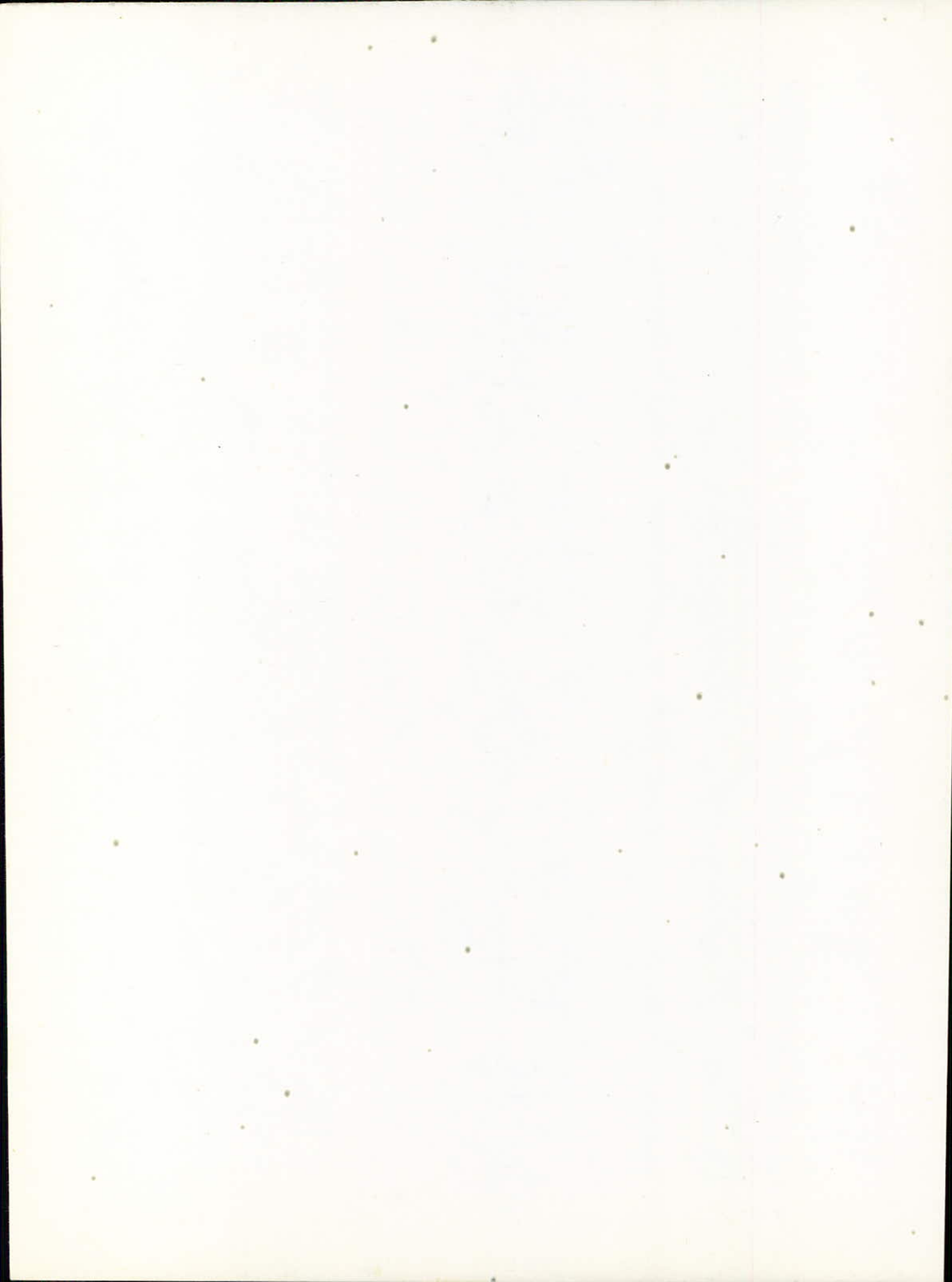
→ pivots par lesquels on fait passer des droites qui

.../...

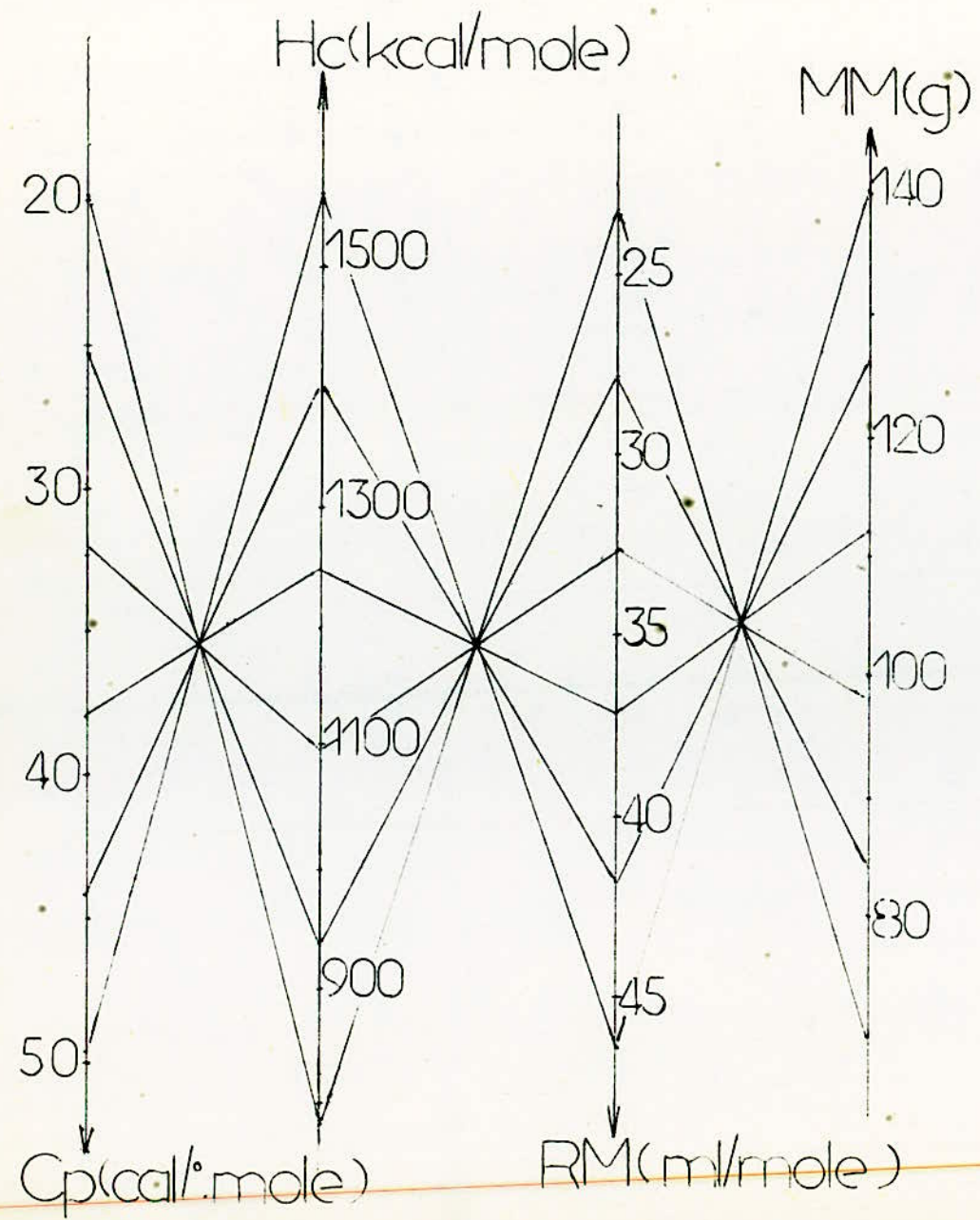


PARAFFINES





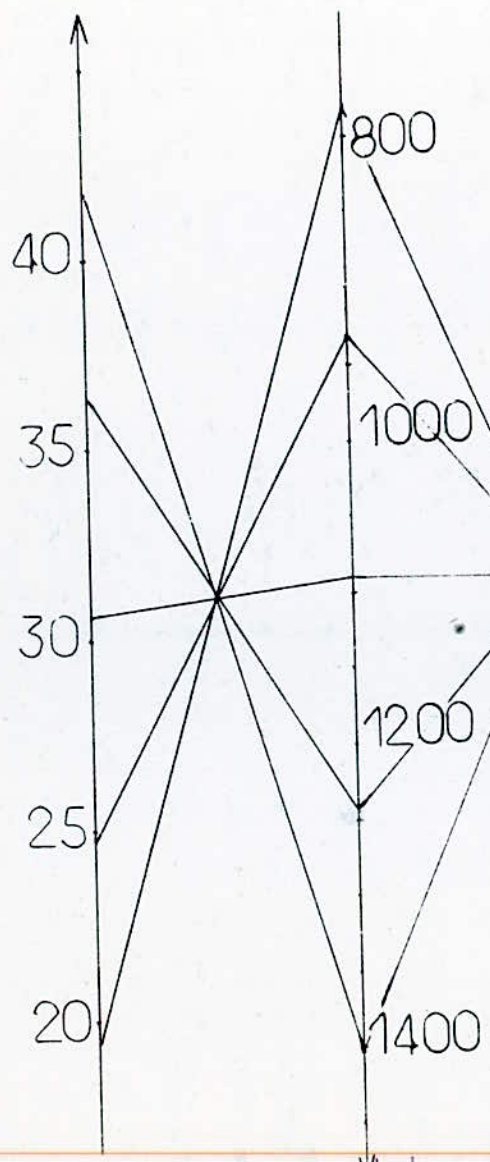
NAPHTENES



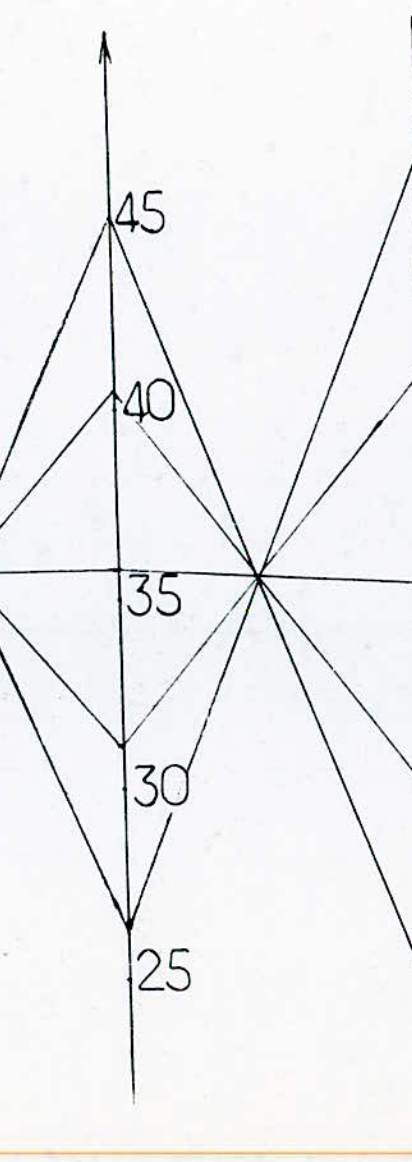


AROMATIQUES

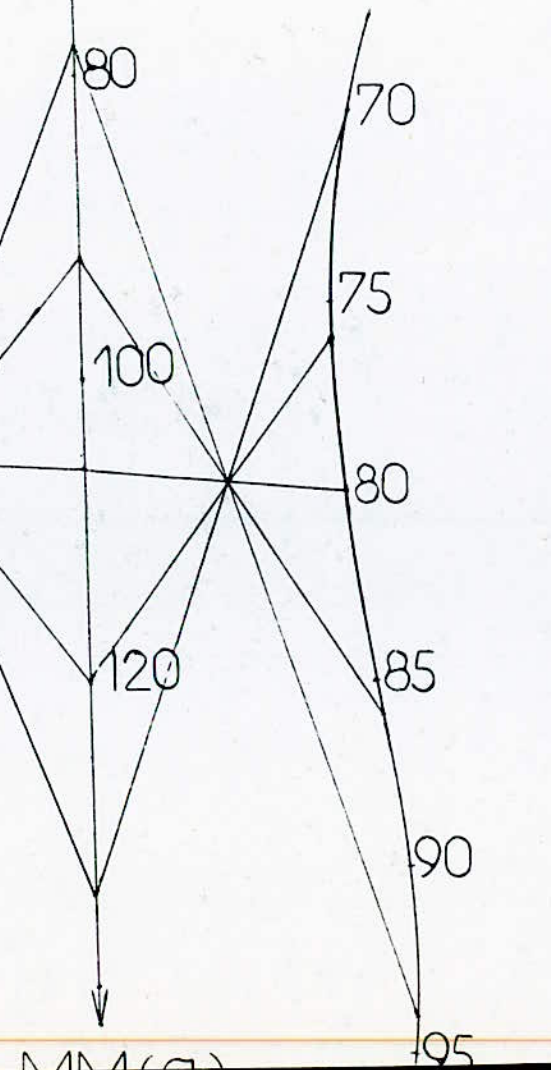
Cp (cal/deg.mole)

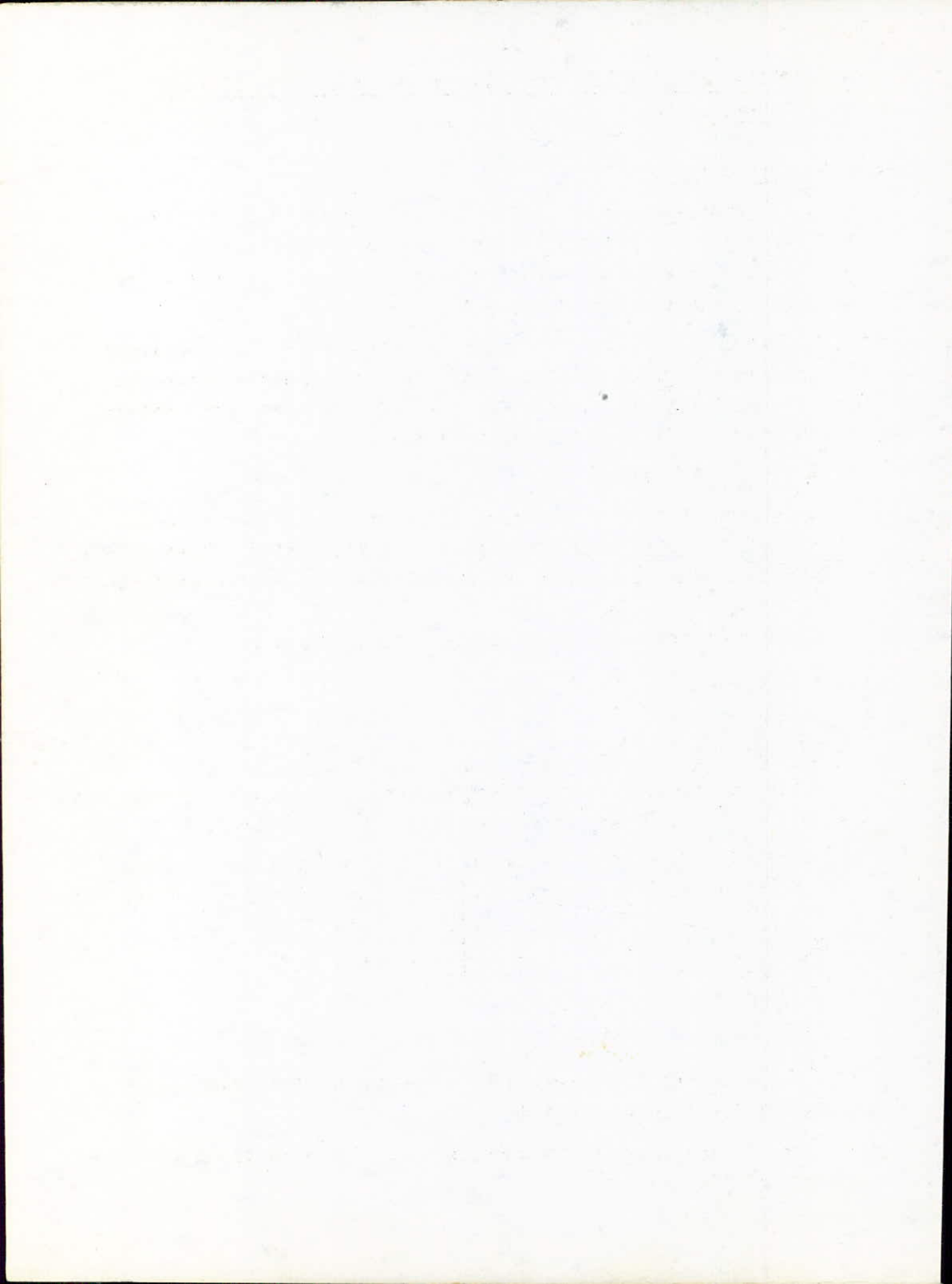


RM (ml mole)



HV (cal/g)





VI CORRELATIONS SUR LES COMPOSITIONS DES FRACTIONS LEGERES DU PETROLE.

I - Introduction.

Dans la prédition des propriétés physiques et thermodynamiques des fractions pétrolières, il est important de déterminer la proportion des hydrocarbures paraffiniques, naphténiques et aromatiques présents dans la fraction.

Puisque la composition des fractions pétrolières n'est habituellement pas déterminée expérimentalement, plusieurs méthodes et corrélations ont été développées pour prévoir cette composition (voir chapitre II de la partie théorique)

2. - Méthode de Calcul.

Il s'agit de trouver 2 paramètres séparant bien les 3 grandes familles d'hydrocarbures qui, associés à l'équation : $X_P + X_N + X_A = 1$, nous permettront de trouver les compositions en différentes familles.

Nous devons alors résoudre le système d'équations :

$$\begin{cases} X_P + X_N + X_A = 1 \\ aX_P + bX_N + cX_A = A \\ a'X_P + b'X_N + c'X_A = B \end{cases}$$

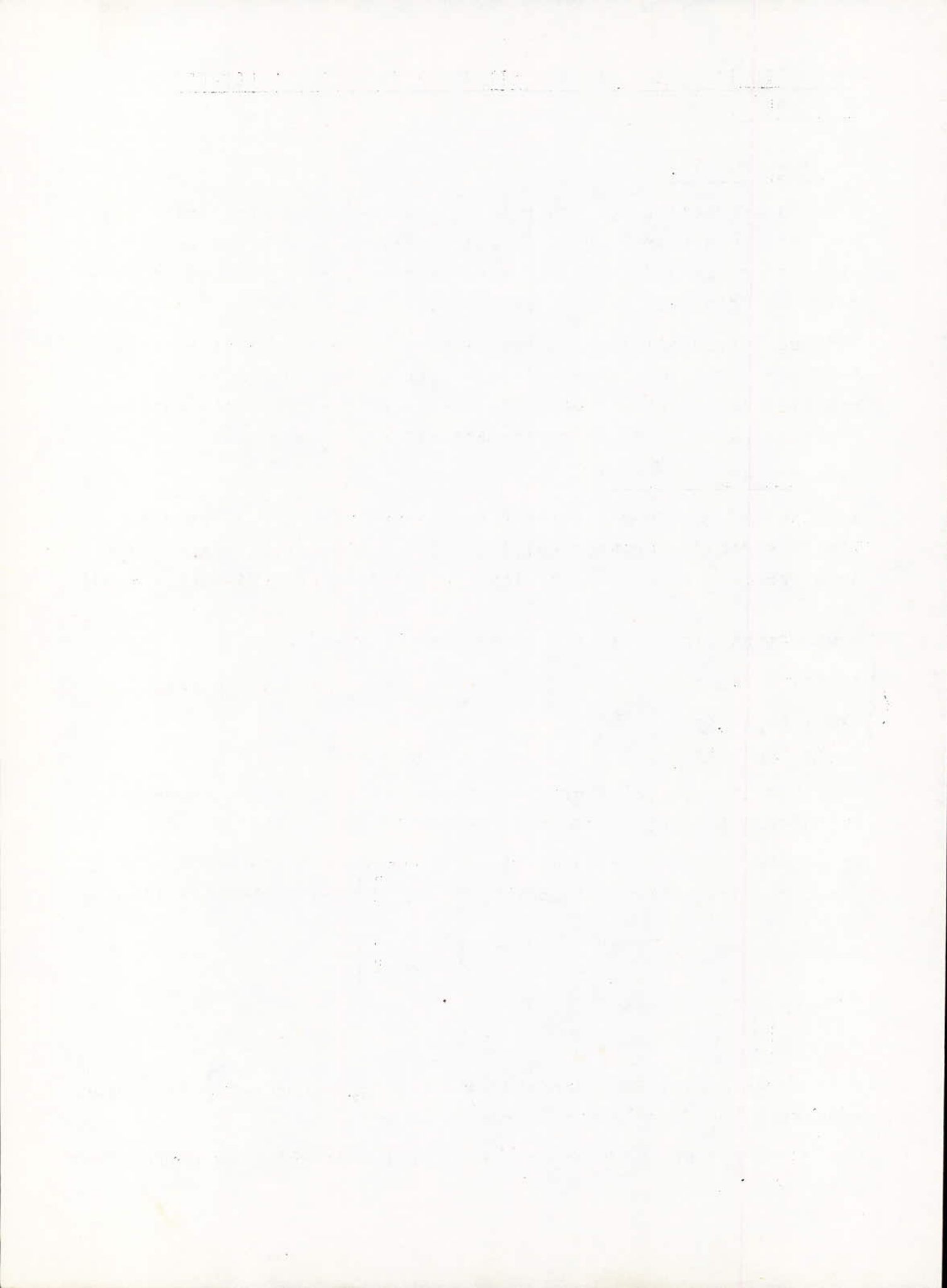
où a, b, c et a', b', c' sont respectivement les valeurs moyennes des paramètres A et B, pour chaque famille d'hydrocarbures.

La résolution se fait en utilisant le système de Cramer, c'est à dire, par inversion de la matrice $\begin{bmatrix} 1 & 1 & 1 \\ a & b & c \\ a' & b' & c' \end{bmatrix}$ et sa multiplication par le vecteur

Colonne $\begin{bmatrix} 1 \\ A \\ B \end{bmatrix}$

Nous avons choisi 5 hydrocarbures : C₆ à C₁₀ de chaque famille pour connaître les fractions molaires X_P , X_N et X_A .

Les corrélations que nous proposons sont donc valables entre 40 et environ 200°C.



3. Corrélations

Corrélation I.

Elle nécessite la connaissance des paramètres : densité indice de réfraction, température d'ébullition.

$$A = \frac{Teb^3}{(d.n)}^{17}$$

$$B = n^{23}$$

Le système d'équations donnant X_p , X_n , X_A est :

$$X_p = 8,276 \cdot 10^{-7} A + 2,0917 \cdot 10^{-5} B - 0,1443$$

$$X_n = - 1,0245 \cdot 10^{-6} A - 2,5454 \cdot 10^{-4} B + 1,6721$$

$$X_A = 1,9696 \cdot 10^{-7} A + 2,3363 \cdot 10^{-4} B - 0,5278$$

Nous avons appliqué cette corrélation aux fractions pétrolières issues de la distillation de coupes nètrelières légères fournie par la raffinerie d'Alger (projets de fin d'études 1984, 1977).

Les valeurs des compositions des fractions sont données sur le listing ci-joint :

Corrélation 2 :

$$A = \frac{d^{10}}{Teb}$$

$$B = n^{22}$$

De la même manière, nous obtenons le système d'équations suivant :

$$X_p = - 3630,946 A + 3,8155 \cdot 10^{-4} B + 1,1908$$

$$X_n = 4531,644 A - 8,2727 \cdot 10^{-4} B + 0,0444$$

$$X_A = - 900,698 A + 4,4572 \cdot 10^{-4} B - 0,2352.$$

Les valeurs des compositions des mêmes fractions sont présentées sur le même listing.

Plusieurs méthodes permettent la détermination de la composition de ces fractions ::

CORRELATION 1

$$A = \text{Teb}^3 / (\text{d.n})^{17}$$

$$B = n^{23}$$

X_P

591262853705
722069588345
892938157452
922539512157
782341959669
610823841443
564398314013
594218014771
666156975451
618395501442
542310647369
592315914545
672906693641
749805602204
651378906961
522457009944
679089735594

X_N

487382339397
285890526128
0411675440966
038448465741
0942726819442
220873077108
22493246094
149512601205
0299551976169
000439220956665
384235558355
284606279243
152438490513
0227363535028
146364532128
219202626608
0474143944735

X_A

0786451931024
00796011447241
0658942984512
115908953584
123385358387
16830308145
210669225047
256269384024
303887826933
381165277602
0734537942767
123077806211
174654815846
227458044293
202256560912
258340363448
273495869933

CORRELATION 2

$$A = d^{10} / \text{Teb}$$

$$B = n^{22}$$

X_P

710807048787
726546882833
763204109821
758553711411
654711165829
582815092751
533007830332
542894513416
588907877229
615434412158
587109022473
592943292787
624586162729
660709964137
504899663908
444862120959
497388107778

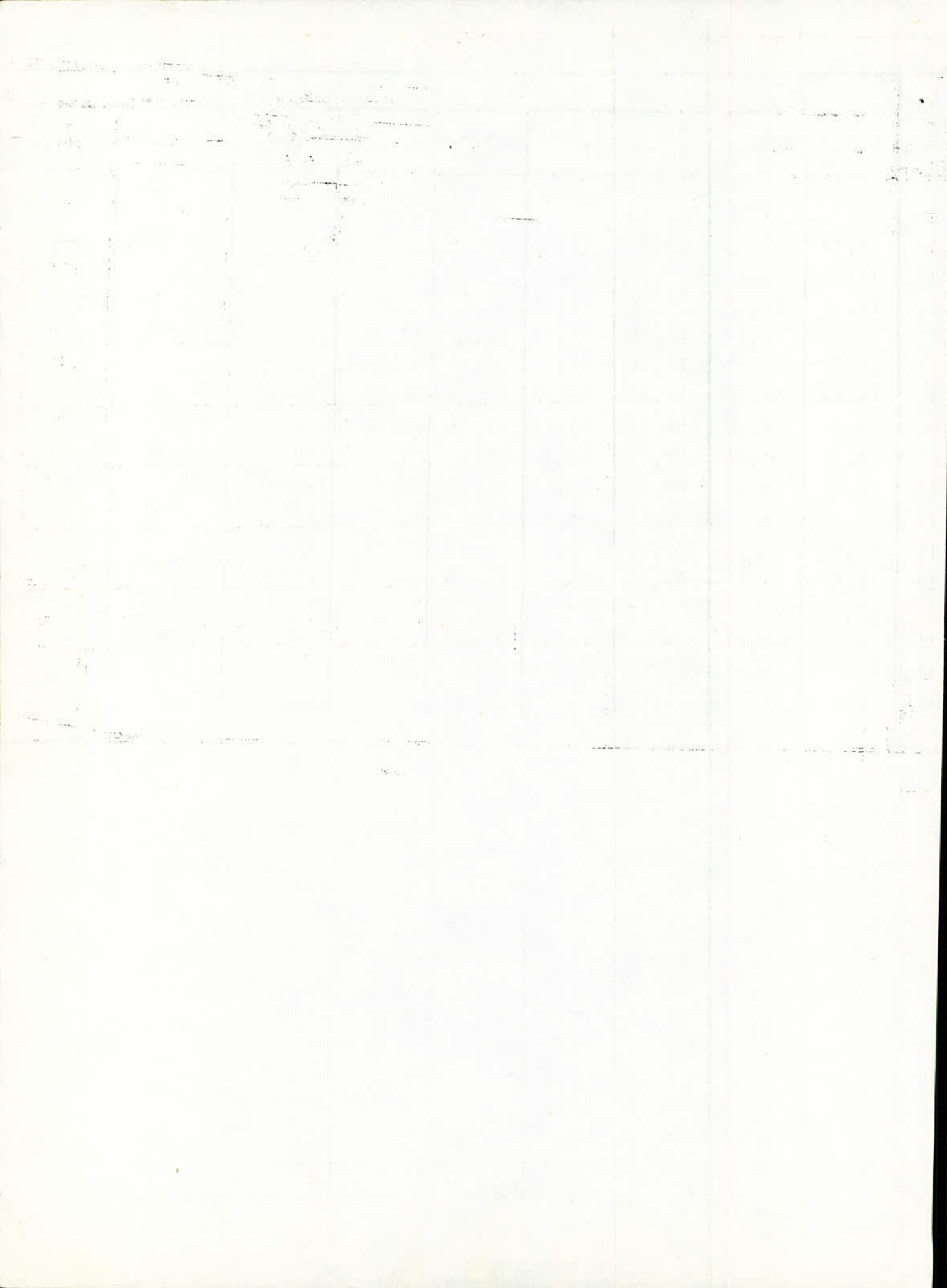
X_N

334313868838
392118988428
190838072287
150865241666
237161090784
23654310729
242754604786
190226447455
101044826768
0239946736144
313924617223
266830084925
193255795841
1119784344
308300932169
292630960201
25011931189

X_A

04512011071098
00133834873948
0459578178919
0905810469231
108127743387
180641799959
224237564882
266879039129
310047296003
408560261457
0989663603039
140226622288
182158041431
227311601464
186799403923
26250691884
252492580332

N° de tract- ion.	xp			xn			xa		
	C.P.G. %	N.D.P.A. %	Piazi- Daubert %	C.P.G. %	N.D.P.A. %	Piazi- Daubert %	C.P.G. %	N.D.P.A. %	Piazi- Daubert %
I	100	-	-	0	-	-	0	-	-
2	85,72	-	-	12,08	-	-	2,20	-	-
3	73,33	-	89,55	15,00	-	3,60	3,34	-	6,85
4	71,26	66,35	83,95	18,10	10,60	8,00	10,64	14,05	7,96
5	70,63	68,69	68,05	29,37	23,08	27,44	0	8,23	4,51
6	70,56	66,30	66,28	29,44	22,47	24,62	0	11,23	9,10
7	63,78	64,94	59,66	28,29	24,43	30,98	7,93	10,53	9,36
8	58,33	64,83	55,72	41,67	25,05	34,52	0	10,12	9,76
9	54,68	63,75	55,05	42,10	25,65	34,90	3,22	10,60	10,05
10	58,23	63,55	59,50	26,22	21,92	24,69	15,55	14,53	15,81
II	90,43	-	76,74	9,57	-	14,79	0	-	8,47
I2	77,26	-	70,83	22,74	-	20,74	0	-	8,43
I3	64,65	-	66,28	35,35	-	24,28	0	-	8,84
I4	59,20	66,20	64,02	21,26	22,43	25,41	10,54	11,28	9,67
I5	-	58,7	-	-	34,8	-	-	6,5	-
I6	-	52,6	-	-	35,5	-	-	11,9	-
I7	-	58,4	-	-	30,2	-	-	11,4	-



Remarques sur les corrélations proposées :

Certes, ces corrélations donnent des résultats différents en comparaison aux méthodes CPG, N.D.P.A. et RIAZI-Daubert, mais permettent tout de même de séparer un grand nombre de fractions.

Nous nous sommes basés, sur la recherche de paramètres A et B, séparant bien les paraffines des naphtènes et des aromatiques.

Le tableau ci-dessous montre cette séparation.

	Corrélation 1		Corrélation 2	
	A	B	A	B
Paraffines	$1,72 \cdot 10^{-3}, 1,6 \cdot 10^6$	1513-2790	$2,26 \cdot 10^{-6}$	$2,47 \cdot 10^{-4}$
Naphtènes	$0,88 \cdot 10^5 - 5,4 \cdot 10^5$	3346-4442	$0,58 \cdot 10^3$	$1,02 \cdot 10^{-3}$
Aromatiques	$0,46 \cdot 10^4 - 9,11 \cdot 10^4$	19591-11412	$1,2 \cdot 10^{-3}$	$3,44 \cdot 10^{-3}$
				6437-7606

.../...



CORRELATION 1

$$A = Teb^3 / (dn)^{17}$$

$$B = n^{23}$$

Ln A

15

14

13

12

11

10

9

8

B

12000

8000

4000

1000

Teb(C)

Ln A = f(Teb)

P

B = f(Teb)

Ln A = f(Teb)

A

Ln A = f(Teb)

B = f(Teb)

A

B = f(Teb)

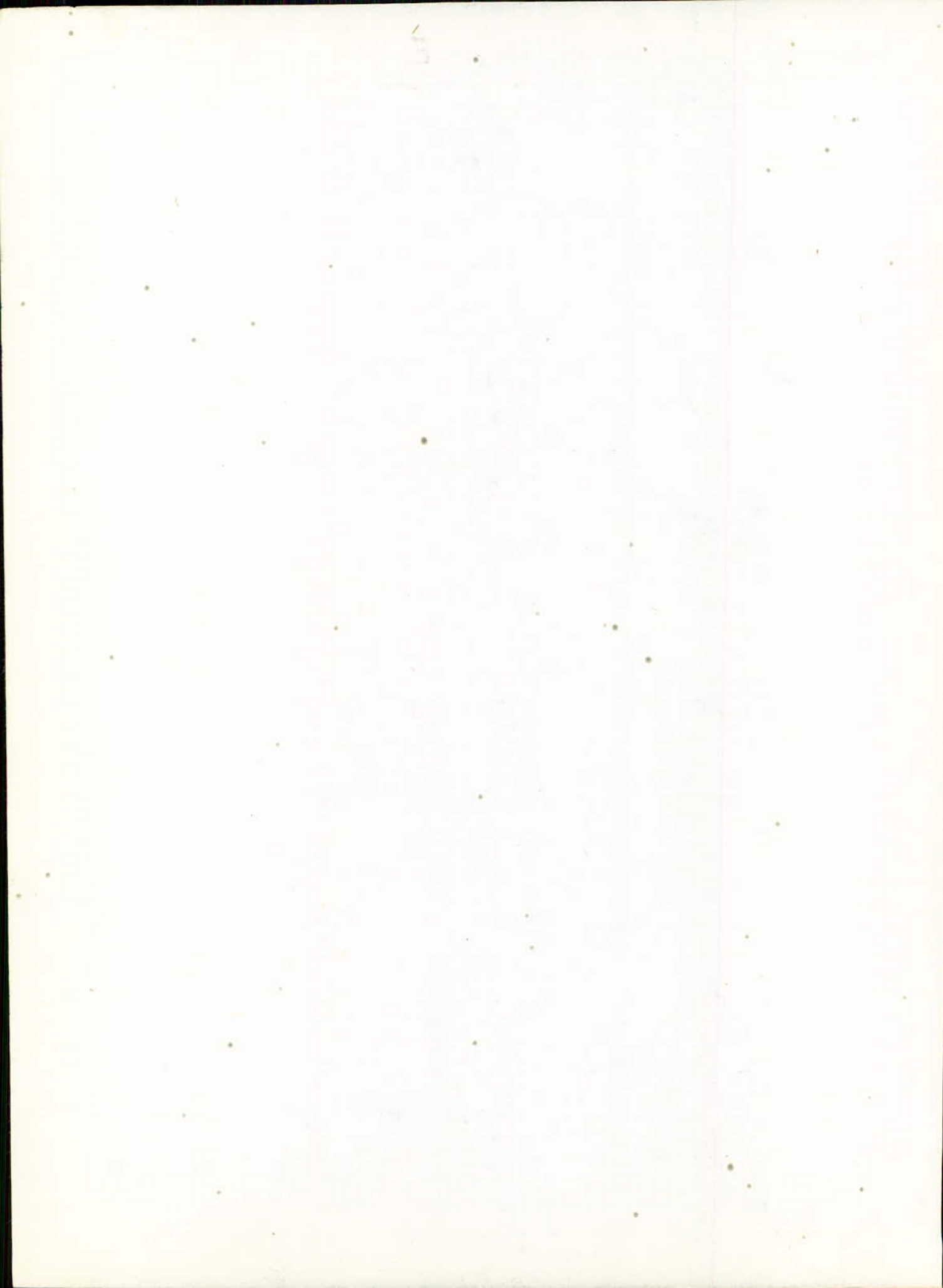
P

60

100

180

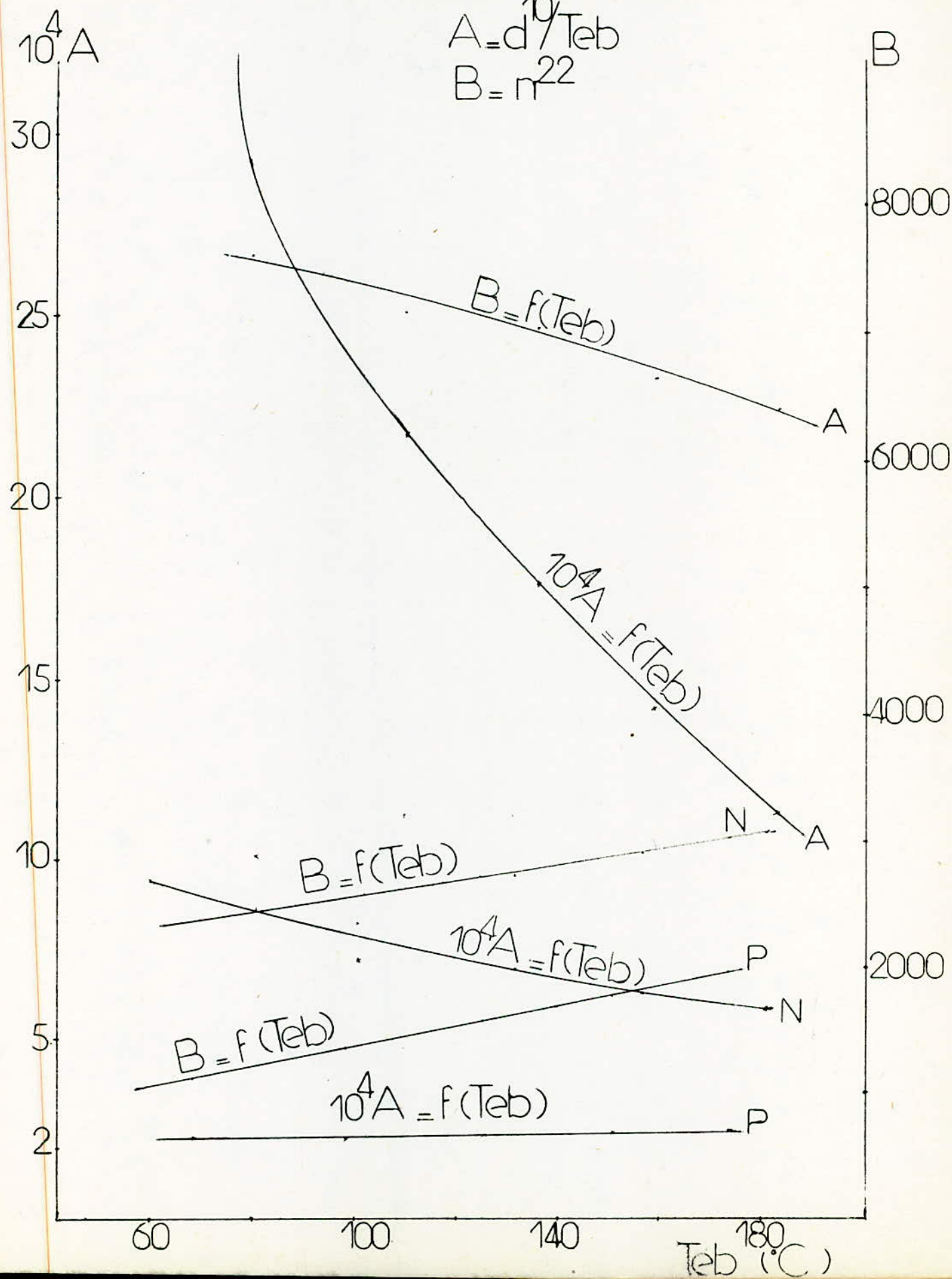
Teb(C)



CORRELATION 2

$$A = d^{10} / T_{eb}$$

$$B = n^{22}$$



CONCLUSION GENERALE

Nous avons proposé des équations représentant la variation de l'enthalpie standard de vaporisation, de quelques hydrocarbures, valables pour toute température.

Puis, à partir des équations obtenues par la méthode d'interpolation du polynôme de Newton, nous avons pu déterminer à partir de la connaissance d'une propriété toutes les autres grandeurs avec une précision acceptable (en général inférieure à 5%). Nous avons présenté également des équations permettant la détermination des propriétés physiques et chimiques des corps purs, des mélanges de corps purs et des fractions pétrolières, à partir de la connaissance de paramètres facilement accessibles expérimentalement.

La construction de nomogrammes par famille d'hydrocarbures reste incomplète ; elle nécessite à mon sens plus de temps de recherche. Même si les corrélations proposées séparent bien les fractions pétrolières, il reste encore à les simplifier d'avantage et à voir comment on pourrait approcher les compositions obtenues par C.P.G ou mieux encore par utilisation et confrontation de plusieurs techniques d'analyse.

ANNEXE



NOTATIONS ET ABREVIATIONS.

C_g : Point de congélation à 1 atm

C_p : Capacité calorifique (pour l'état idéal du gaz) à 25°C en cal/deg.mole

H_c : Chaleur de combustion (du liquide) à 25°C et pression constante en K cal/mole.

R_M : Réfraction molaire à 25°C $\nu = \frac{(n_2 - 1)}{V} \cdot \frac{10^4}{(n_2 + 2)}$
(V: volume molaire) en Ml/mole.

V_A : Viscosité absolue à 1 atm et 25°C en C. poises.

ν : Viscosité cinématique à 1 atm et 100°F en C.Stokes.

T_S : Tension superficielle à 1 atm et 25°C en dyn/cm

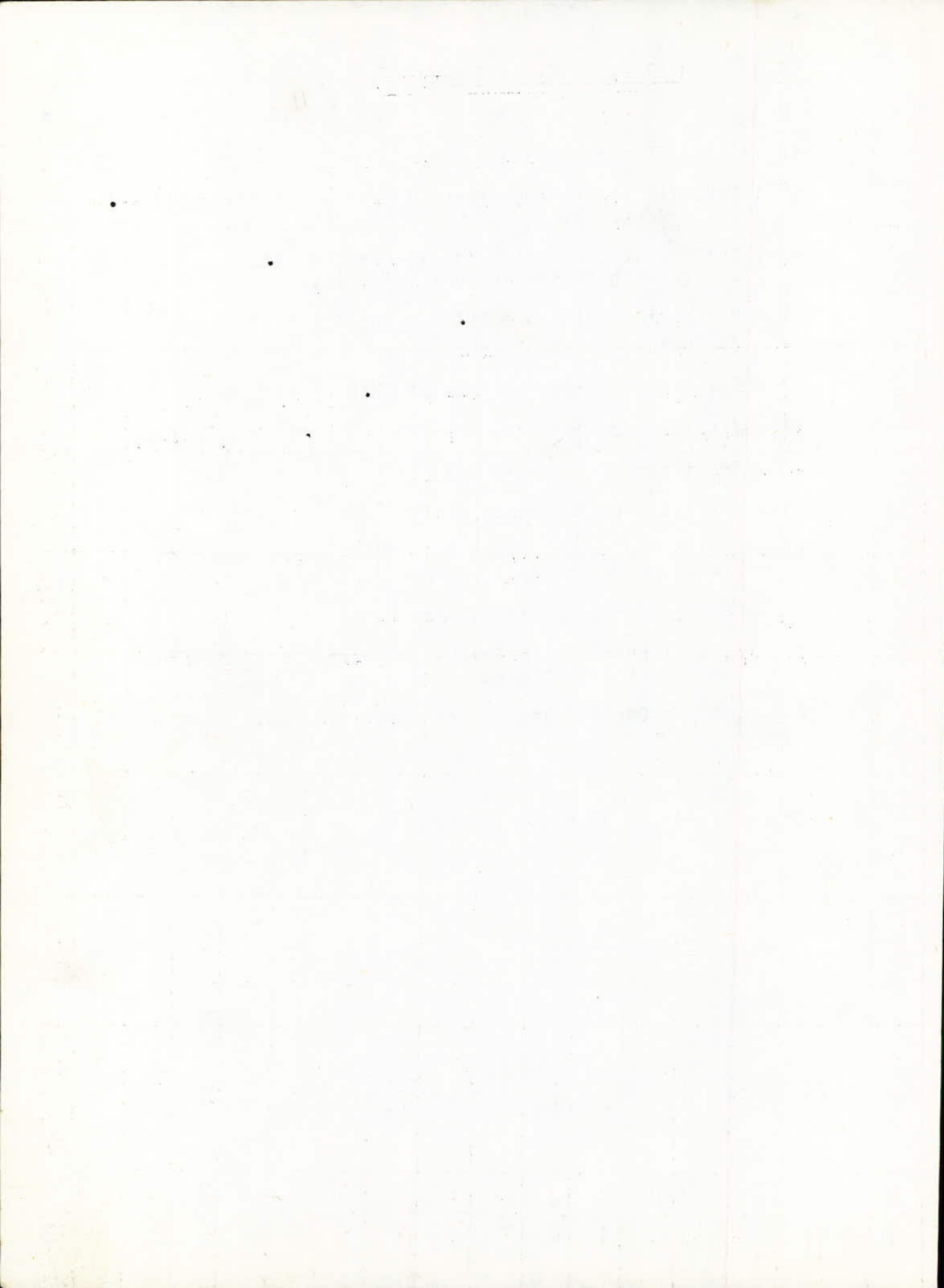
R_i : Refractivité Intercept à 25°C

H_V : Chaleur de vaporisation à la température normale d'ébullition en Cal/g

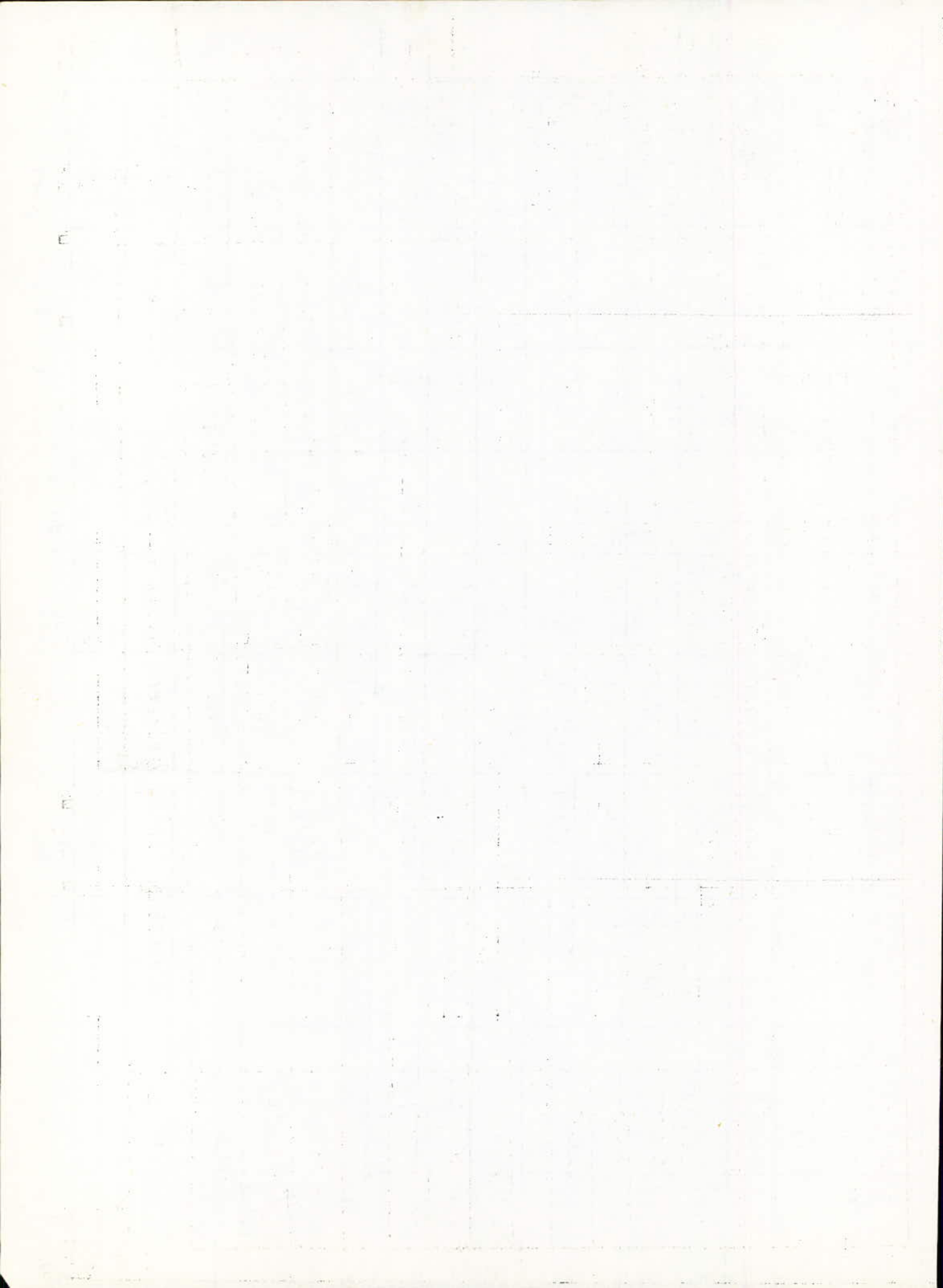
P,M,A : Paraffine, Naphtène, Aromatique

X_P, X_n, X_a : Fractions molaires des paraffines, naphtènes et aromatiques

C.P.G. : Chromatographie en phase gazeuse.



propriétés composés	Pc (atm)	Tc (°C)	$\frac{V_c}{(cm^3/mole)}$	d(g/cm ³ à 25°C)	MM(g)	Teb (°C) à 1 atm	n à 25°C	TV (mm Hg) à 25°C	HV (cal/ à Teb, I atm)	
PENTANES	n.pentane (C5)	33,25	196,50	304	0,62137	72,151	36,064	1,35472	512,48	85,38
	n-hexane(C6)	29,73	234,30	370	0,65479	86,178	68,732	1,37226	151,26	80,03
	n-heptane (C7)	27,00	267,10	432	0,67949	100,205	98,500	1,38511	45,71	75,61
	n.octane (C8)	24,54	295,68	492	0,69847	114,232	125,675	1,39505	14,02	72,01
	n-nonane (C9)	22,60	321,49	548	0,71379	128,259	150,818	1,40311	4,34	68,80
	n-decane (C10)	20,70	344,5	603	0,72623	142,286	174,154	1,40967	1,36	65,98
	cyclopentane (C5)	44,49	238,60	260	0,74043	70,135	49,252	1,40363	317,470	93,03
	cyclohexane (C6)	40,20	280,40	308	0,77387	84,162	80,710	1,42354	97,580	85,08
NAPHTHENES	méthylcyclohexane (C7)	34,26	209,04	368	0,76504	98,189	100,934	1,42052	46,330	75,78
	éthylcyclohexane (C8)	30,0	335,00	450	0,78388	112,216	131,795	1,43073	12,780	73,08
	n-propylcyclohexane (C9)	27,70	366,00	477	0,78975	126,243	156,740	1,43478	4,123	68,30
	n-butylcyclohexane (C10)	31,10	394,00	534	0,79549	140,270	180,981	1,43855	1,520	65,60
AROMATIQUES	benzene (C6)	48,34	289,01	259	0,87368	78,114	80,094	1,49792	95,170	94,13
	toluène (C7)	40,55	318,64	316	0,86231	92,143	110,629	1,49413	28,440	86,08
	éthylbenzene (C8)	35,62	344,02	374	0,86262	106,168	136,200	1,49320	9,580	80,07
	n-propylbenzene (C9)	31,58	365,23	440	0,85778	120,195	150,241	1,48951	3,360	76,00
	n.butylbenzene (C10)	28,49	387,40	497	0,85605	134,222	183,305	1,48742	1,026	69,89



propriétés composés	Cg (°K)	Cp (cal/dez mole). °C	Hc (Kcal/ mole)	RM/ml/mole	VA(c. poises)	TS/dyn/cm	R1
n.pentane (5)	143,439	28,73	838,77	25,286	0,224	15,48	I,04402
n. hexane (6)	177,812	34,20	995,01	29,928	0,2976	17,90	I,04486
n.heptane (7)	182,55	39,67	1151,27	34,565	0,3955	19,80	I,04536
n. octane (8)	216,365	45,14	1307,53	39,209	0,5136	21,26	I,04580
n. nonane(9)	219,641	50,60	1463,80	43,855	0,6676	22,44	I,04620
n. decane(10)	243,499	56,07	1620,06	48,503	0,8588	23,37	I,04654
cyclopentane(5)	179,293	19,82	786,55	23,144	0,415	21,82	I,03341
cyclohexane(6)	279,715	25,40	936,86	27,722	0,895	24,38	I,03660
methylcyclohexane (7)	146,565	32,27	1091,13	32,515	0,683	23,17	I,03805
ethylcyclohexane (8)	161,838	37,96	1248,23	37,032	0,785	25,12	I,03878
n.propylcyclohexane	178,260	44,03	1404,34	41,600	0,931	(25,85)	I,03990
n.butylcyclohexane	198,438	49,50	1560,78	46,334	1,204	(26,35)	I,04080
Benzene (6)	278,693	19,52	780,98	26,201	0,6010	28,18	I,06107
Toluene (7)	178,169	24,80	934,50	31,112	0,5500	27,92	I,06298
ethylbenzene	178,185	30,69	1091,03	35,777	0,6354	28,48	I,06188
n.propylbenzene	173,660	36,41	1247,19	40,474	0,7962	28,45	I,06061
n.butylbenzene(10)	185,190	41,85	1403,46	45,124	0,957	(28,38)	I,05938

PARAFFINES.

NAPHTHENES.

AROMATIQUES.

PROGRAMME "COURBES"

```

10      GINIT
20      GRAPHICS ON
30      PLOTTER IS 805, "HPGL"
40      PEN 2
50      DIM Etiquette$(40)
60      FOR Ii=1 TO 3
70      READ N(Ii)
80      FOR I=1 TO N(Ii)
90      FOR J=1 TO 7
100     READ A(Ii,I,J)
110     NEXT J
120     NEXT I
130     FOR J=1 TO N(Ii)
140     FOR J=1 TO 7
150     PRINT USING "IX,DDDD.DDD";A(Ii,I,J)
160     NEXT J
170     NEXT I
180     !PARAFFINES
190     DATA 6
200     DATA 143.439 ,28.73,838.77,25.286, .224,15.48,1.04402
210     DATA 177.812,34.20,925.01,29.928, .2976,17.90,1.04496
220     DATA 182.550,39.67,1151.27,34.565, .3955,19.80,1.04536
230     DATA 216.365,45.14,1307.53,39.209, .5136,21.26,1.04580
240     DATA 219.641 ,50.60,1463.80,43.855, .6676,22.44,1.04620
250     DATA 243.499,56.07,1620.06,48.503, .8580,23.37,1.04654
270     !NAPHTENES
280     DATA 6
290     DATA 179.293,19.82,786.55,23.144, .415,21.92,1.03344
300     DATA 279.715,25.40,936.86,27.722, .895,24.39,1.03660
310     DATA 146.565 ,32.27,1091.13,32.515, .603,23.17,1.03805
320     DATA 161.838 ,37.96,1248.23,37.032, .785,25.12,1.03870
330     DATA 178.260,44.03,1404.34,41.690, .931,25.85,1.03920
340     DATA 198.438,49.30,1560.78,46.334,1.204,26.35,1.04080
360     !AROMATIQUES
370     DATA 5
380     DATA 278.693,19.52,780.98,26.204, .6010,28.18,1.06107
390     DATA 178.169,24.80,934.50,31.112, .5500,22.92,1.06299
400     DATA 178.185,30.69,1091.03,35.777, .6354,20.48,1.06108
410     DATA 173.660,36.41,1247.19,40.474, .7262,20.45,1.06061
420     DATA 185.190,41.85,1403.46,45.124, .957,20.38,1.05930
440     Xmin=1.03
450     Xmax=1.07
460     Ymin=140
470     Ymax=280
480     Etiquette$=" Cg=f(Ri)"
490     IF Ii>1 THEN 510
500     GOSUB 560

```

```
510 FOR J=1 TO N(Ii)
520 PLOT A(Ii,I,7),A(Ii,I,1)
530 NEXT I
540 MOVE 0,0
550 GOTO 860
560 Dx=(Xmax-Xmin)/.2
570 Dy=(Ymax-Ymin)/2.5
580 Xg=Xmin-2*Dx
590 Xd=Xmax+Dx
600 Yg=Ymin-2*Dy
610 Yd=Ymax+Dy
620 VIEWPORT 0,65,0,100
630 WINDOW Xg,Xd,Yg,Yd
640 Sdx=Xmax/20
650 Sdy=(Ymax-Ymin)/10
660 AXES Sdx,Sdy,Xg+Dx,Yg+Dy,4,4,1
670 CSIZE 2
680 LORG 6
690 Xini=4*Sdx+Xg+Dx
700 FOR J=Xini TO Xmax STEP 4*Sdx
710 MOVE J,Yg+Dy-(Dy/10)
720 LABEL J
730 NEXT J
740 LORG 8
750 Yini=4*Sdy+Yg+Dy
760 FOR J=Yini TO Ymax STEP 4*Sdy
770 MOVE Xg+Dx-Dx/10,J
780 LABEL J
790 NEXT J
800 LORG 5
810 CSIZE 3
820 MOVE Xg+Sdx+((Xd-(Xg+Sdx))/2),Yd-2*Sdy
830 LABEL Etiquette$
840 MOVE 0,0
850 RETURN
860 NEXT Ii
870 END
```

PROGRAMMES EQUATIONS

```

10 DIM X(6),Y(6),U(6),P(6),T(6,6),V(4,6)
20 PRINT "RECUEIL DES POINTS"
30 PRINT "-----"
40 FOR N=1 TO 3
50 READ M(N)
60 FOR I=1 TO M(N)
70 FOR J=1 TO 7
80 READ A(N,I,J)
90 NEXT J
100 NEXT I
110 FOR I=1 TO M(N)
120 X(I)=A(N,I,1)
130 Y(I)=A(N,I,3)
140 PRINT "X(";I,")=";X(I), "Y(";I,")=";Y(I)
150 NEXT I
160 GOSUB 290
170 FOR I=1 TO M(N)
180 NEXT I
190 IF N=3 THEN
200 PRINT "Hc=";P(5); "*Cg^4+";P(4); "*Cg^3+";P(3); "*Cg^2+";P(2); "*Cg+";P(1);
210 PRINT
220 PAUSE
230 END IF
240 PRINT
250 PRINT "Hc=";P(6); "*Cg^5+";P(5); "*Cg^4+";P(4); "*Cg^3+";P(3); "*Cg^2+";P(2); "*Cg+";P(1);
260 PRINT
270 PRINT
280 GOTO 950
290 REM CALCUL DES DIFFERENCES DIVISEES
300 FOR I=1 TO M(N)
310 T(I,1)=Y(I)
320 NEXT I
330 FOR I=2 TO M(N)
340 T(I,2)=(Y(I)-Y(I-1))/(X(I)-X(I-1))
350 NEXT I
360 FOR J=3 TO M(N)
370 FOR I=J TO M(N)
380 T(I,J)=(T(I,J-1)-T(I-1,J-1))/(X(I)-X(I-J+1))
390 NEXT I
400 NEXT J
410 REM CLASSEMENT DES DIFFERENCES DIVISEES DANS LE VECTEUR U(M(N))
420 FOR I=1 TO M(N)
430 U(I)=T(I,I)
440 NEXT I
450 REM IL EST POSSIBLE DE RETIRER LA MATRICE T(M(N) M(N))
460 REM INITIALISATION DE LA MATRICE DE CALCUL DES COEFFICIENTS
470 V(1,1)=-X(1)
480 V(1,2)=1
490 REM INITIALISATION DU PORTEUR DES COEFFICIENTS P(M(N))
500 FOR I=1 TO M(N)
510 P(I)=0
520 NEXT I
530 P(1)=U(2)*(-X(1))+Y(1)
540 P(2)=U(2)
550 REM CALCUL DES COEFFICIENTS DU POLYNOME DE NEWTON
560 FOR J=3 TO M(N)
570 V(2,1)=0
580 FOR I=2 TO M(N)
590 V(2,I)=V(1,I-1)
600 NEXT I
610 FOR I=3 TO M(N)
620 V(3,I)=V(2,I)*(-X(I-1))
630 V(4,I)=V(3,I)+V(2,I)
640 P(I)=P(I)+U(I)*V(4,I)
650 V(1,I)=V(4,I)
660 V(2,I)=0
670 V(3,I)=0
680 V(4,I)=0
690 NEXT I
700 NEXT J
710 RETURN

```

740 !PARAFFINES
750 DATA 6
760 DATA -129.721,26.73,838.77,25.286,224,15.48,i.04402
770 DATA -25.348,34.20,995.01,22.928,2976.17.20,i.04486
780 DATA -90.610,39.67,1151.27,34.565,-3955,19.80,i.04536
790 DATA -56.795,45.14,1307.53,39.209,5136,21.26,i.04580
800 DATA -53.519,50.60,1463.80,43.855,-6676,22.44,i.04620
810 DATA -27.661,56.07,1620.06,48.503,18588,23.37,i.04654
820 !NAPHTENES
830 DATA 6
840 DATA -93.867,19.82,786.55,23.144,-415.21.82,i.03344
850 DATA 6.555,25.40,936.86,27.722,-895,24.38,i.03660
860 DATA -126.595,32.27,1091.13,32.515,-603,23.12,i.03805
870 DATA -111.322,35.96,1248.23,37.032,-785,25.12,i.03876
880 DATA -94.900,44.03,1404.34,41.690,-931,25.85,i.03990
890 DATA -74.722,49.50,1560.78,46.334,i.204,26.35,i.04080
900 !AROMATIQUES
910 DATA 5.533,19.52,780.98,26.201,-6010,28.10,i.06107
920 DATA -94.971,24.00,934.50,31.112,-5500,27.92,i.06298
930 DATA -94.975,30.69,1091.03,35.777,-6354,26.46,i.06486
940 DATA -99.500,36.41,1247.17,40.474,-7962,28.45,i.06531
941 DATA -87.970,41.05,1403.46,45.124,-957,20.36,i.05938
950 NEXT N
960 END

PROGRAMME "CORRELATIONS"

```

10      DIM Tebul(4,2), Dens(4,2), Inrf(4,2)
30      DIM Ract(16,2)
40      DIM A(4,2), B(4,2)
50      DIM C(2,2)
60      FOR I=0 TO 4
70      FOR J=0 TO 2
130     READ Tebul(I,J)
140     NEXT J
150     NEXT I
160     FOR I=0 TO 4
170     FOR J=0 TO 2
180     READ Dens(I,J)
190     NEXT J
200     NEXT I
210     FOR I=0 TO 4
220     FOR J=0 TO 2
230     READ Inrf(I,J)
240     NEXT J
250     NEXT I
460     FOR I=0 TO 16
470     FOR J=0 TO 2
480     READ Ract(I,J)
490     NEXT J
500     NEXT I
510     FOR I=0 TO 2
520     FOR J=0 TO 2
530     B(I,J)=Inrf(I,J)^23
531     IF I=0 AND J=2 THEN 550
540     A(I,J)=Tebul(I,J)^3.0/(Dens(I,J)*Inrf(I,J))^17
550     A(0,2)=0
560     NEXT J
570     NEXT I
580     FOR J=0 TO 2
590     C(0,J)=1
600     C(1,J)=0
610     C(2,J)=0
620     FOR I=0 TO 4
630     C(1,J)=C(1,J)+A(I,J)
640     C(2,J)=C(2,J)+B(I,J)
650     NEXT I
660     C(1,J)=C(1,J)/5
670     C(2,J)=C(2,J)/5
690     NEXT J
700     FOR I=0 TO 2
710     FOR J=0 TO 2
720     NEXT J
730     NEXT I
740     MAT C= INV(C)
750     FOR K=0 TO 16
760     X2=Ract(K,2)^23
770     X1=Ract(K,0)^3.0/(Ract(K,1)*Ract(K,2))^17
780     Xp=C(0,0)+X1*C(0,1)+X2*C(0,2)
790     Xn=C(1,0)+X1*C(1,1)+X2*C(1,2)
800     Xa=C(2,0)+X1*C(2,1)+X2*C(2,2)
801     PRINT Xp,Xn,Xa
810     NEXT K
820     PRINT
830     PRINT "C(0,0)=",C(0,0)
840     PRINT "C(0,1)=",C(0,1)
850     PRINT "C(0,2)=",C(0,2)
860     PRINT
870     PRINT "C(1,0)=",C(1,0)
880     PRINT "C(1,1)=",C(1,1)
890     PRINT "C(1,2)=",C(1,2)
900     PRINT
910     PRINT "C(2,0)=",C(2,0)
920     PRINT "C(2,1)=",C(2,1)
930     PRINT "C(2,2)=",C(2,2)

```

990 DATA 68.732, 30.719, 80.094
1000 DATA 98.500, 100.934, 110.629
1010 DATA 125.675, 131.795, 136.200
1020 DATA 150.818, 156.749, 159.241
1030 DATA 174.154, 180.981, 183.305
1040 DATA .65937, .7786, .87901
1050 DATA .68376, .7694, .86696
1060 DATA .70252, .7879, .86702
1070 DATA .71763, .7936, .86204
1080 DATA .73005, .7992, .86013
1090 DATA 1.374486, 1.42623, 1.50112
1100 DATA 1.38764, 1.42312, 1.49693
1110 DATA 1.39743, 1.43304, 1.49588
1120 DATA 1.40542, 1.43705, 1.49202
1130 DATA 1.41189, 1.44075, 1.48979
1340 DATA 35, .616, 1.361
1350 DATA 45, .634, 1.369
1360 DATA 55, .647, 1.375
1370 DATA 65, .662, 1.382
1380 DATA 75, .682, 1.388
1390 DATA 85, .701, 1.399
1400 DATA 95, .715, 1.405
1410 DATA 105, .724, 1.409
1420 DATA 115, .730, 1.412
1430 DATA 125, .740, 1.42
1440 DATA 65, .677, 1.389
1450 DATA 75, .689, 1.394
1460 DATA 85, .698, 1.398
1470 DATA 95, .706, 1.402
1498 DATA 101.25, .7193, 1.4018
1499 DATA 109.25, .7330, 1.4109
1500 DATA 119.25, .7355, 1.4087
1508 END

B I B L I O G R A P H I E

1. M.H. GUERMOUCHE ET J.M VERGNAUD.
EXTRAIT DU JOURNAL DE CHIMIE PHYSIQUE, 1974-71, n°7-8
2. S.E. CHITOUR ET J.M VERGNAUD.
EXTRAIT DU JOURNAL DE CHIMIE PHYSIQUE, 1975, 72, n°09
3. R.C. REID, J.M PRAUSNITZ ET T.K SHERWOOD,
The Properties of Gases and Liquids, 3 ed,
Mc Graw - Hill, 1977.
4. S.E CHITOUR, Corrélations sur le pétrole Brut et les Fractions
Pétrolières,
O.P.U, 1983.
5. S.E CHITOUR, Chimie des surfaces. Introduction à la Catalyse
2 ed, O.P.U, 1981, P: 6,9
6. P. WUITHIER, le pétrole - Raffinage et Génie Chimique, Ed.
Technip, Tome I, 1972.
7. J.C. LARRECHE, le Basic. Une Introduction à la programmation
Ed. Eyrolles, 1978.
8. Selected Values of Properties Of Hydrocarbons
And Related Compounds.
AMERICAN Petroleum Institute Research Project 44
9. Projet de fin d'études de Y. BOUMGHAR,
proposé par S.E CHITOUR. Promotion Juin 1984.
10. Projet de fin d'études de O. DERMOUNE;
proposé par S.E CHITOUR. Promotion Janvier 1985.

